

GEOTEKNISK RAPPORT



Rapport nr.: 1	Vår 040.18H/mw		Dato: 15.2.2019	Rev: 2
Til:	Ringerike kommune		NVE	
Oppdragsnavn:	Geoteknisk utredning kvikkleiresone 867 «Støaveien» (nytt navn: «Støalandet»)			
Emne:	Prosjektrapport – utredning av områdestabilitet			
Revisjon:	1	6.3.19	Innspill fra 3.p. kontroll (NGI), hoveds. kap. 6.2, 7, vedlegg og tegn.	
	2	25.3.19	Innspill fra Ringerike kommune (endring kap. 5 og 7, ny tegning V11) Oppdatering av referanser mht. av NGI tilsendte rapporter	
Tiltaksklasse:	-			Sign.
Oppdragsgiver:	Ringerike kommune			
Utarbeidet av:	Marco Wendt v/ØRP	Siv. ing./ geotekniker		<i>MW</i>
Kontrollert av:	Ismail Aricigil v/ØRP	Siv. Ing./M.Sc./geotekniker		<i>IA</i>



Fig. 1: Bilde tatt ved Gartnerveien i retning vest/sørvest (kilde: Google Earth, 2018)

Sammendrag:

Det har blitt utført geotekniske grunnundersøkelser i av NVE registrert kvikkleiresone nr. 867 «Støaveien» på Hønefoss i Ringerike kommune.

Grunnen i området er hovedsakelig klassifisert som elveavsetninger av NGU. Utførte grunnundersøkelser viser lagdelt, terrassert grunn, hovedsakelig bestående av leire, silt og sand. Mektigheten på løsmasseavsetningen er ukjent, dypeste boring gikk til ca. kote -7 m.o.h. (80 m under terrenget) uten at fjellgrunn ble påtruffet.

Det ble oppdaget/påvist kvikkleirelag i grunnen ved 9 av 10 borpunkter.

Foreliggende rapport beskriver gjennomført detaljert utredning av faresonen, samt ny klassifisering av faregrad, stabilitetsberegninger, ny avgrensning av løsneområde, avgrensning av utløpsområde og anbefalinger av tiltak.

Etter ønske fra kommunen endres navnet på kvikkleiresone til «Støalandet» (tidl. «Støaveien»).

Innholdsfortegnelse

1	Innledning	3
2	Grunnlag.....	3
2.1	Tidligere utførte utredninger	3
2.2	Grunnundersøkelser.....	4
3	Terreng- og grunnforhold	4
3.1	Topografi	4
3.2	Stratigrafi.....	4
3.3	Poretrykk	5
4	Soneavgrensning og klassifisering.....	6
4.1	Avgrensning av løsneområde	6
4.2	Faregradsklassifisering	6
5	Sikkerhetskrav for fremtidige tiltak	7
6	Grunnlag for stabilitetsvurderinger	8
6.1	Tolkning av materialparametere.....	8
6.1.1	Generelt.....	8
6.1.2	Prøve-/forsøkskvalitet	8
6.1.3	Udrenert skjærstyrke.....	9
6.1.4	Anisotropi	10
6.1.5	Drenerte styrkeparametere	10
6.1.6	Materialparametere	10
6.2	Poretrykksvurdering	11
6.3	Tolkning av lagdeling	12
6.4	Erosjon.....	12
6.5	Kritiske snitt og vurdering av skredmekanismer	13
7	Stabilitetsvurderinger	14
7.1	Generelt.....	14
7.2	Utførte beregninger	15
7.3	Sikringsbehov	17
8	Avgrensning av utløpsområde	17
9	Konklusjon og anbefalinger.....	18
10	Tegninger og vedlegg	19
11	Referanser	20

1 Innledning

I forbindelse med ønske av Ringerike kommune om utredning av områdestabilitet for boligfeltet øst for veien «Støalandet» har det blitt utført geotekniske grunnundersøkelser. Feltet ligger på Hønefoss og grenser til Storelva i vest, ca. på høyde med Petersøya. Området ligger innenfor av NVE registrert kvikkleiresone nr. 867 «Støaveien» og er forholdsvis tett bebygd med ca. 70 stk. eneboliger samt tilhørende infrastruktur. Kvikkleiresonen omfatter et areal på ca. 160 daa.

Det ble oppdaget/påvist kvikkleirelag i grunnen ved 9 av 10 punkter som ble boret ifm. utført oppdrag. Det ble tidligere indikert og påvist kvikkleireforekomster enkelte steder i området, jfr. /17/, /19/, /21/.

Grunnundersøkelsene ble utført av Romerike Grunnboring AS i oppdrag av Ringerike kommune. Formål med undersøkelsene var fremskaffelse av grunnlag for en detaljert utredning av kvikkleiresonen. Resultatene av grunnundersøkelsene fra felt og lab er presentert i /14/.

Foreliggende rapport beskriver utredning av områdestabilitet for kvikkleiresonen. Det ble dessuten foretatt en mer nøyaktig avgrensning av faresonen for kvikkleireskred samt utløpsområder og foreslått stabilitetsforbedrende tiltak.

Etter kommunens ønske endres navnet på kvikkleiresonen til «Støalandet». Dette pga. at betegnelse «Støaveien» kan føre til misforståelser/forveksling av geografisk beliggenhet med flere andre steder i Norge. Ny sonebetegnelse brukes i det følgende.

2 Grunnlag

2.1 Tidligere utførte utredninger

Ifm. nasjonal kvikkleirekartleggingen ble området klassifisert som kvikkleiresone av NGI i 1988, jfr. /20/ og /18/. Vurderingsgrunnlag for avgrensning av sonen ble utført ved hjelp av kvartærgeologisk og topografisk kart samt befaring. /20/ henviser bl.a. til NGI-rapport nr. 77035 for mer informasjon om kartlegging av sonen. Under utarbeidelse av foreliggende rapport var det kun delrapport nr. 77035-08 vi hadde tilgang til. Ifm. rev.2 av rapporten fikk vi tilsendt 17 stk. geotekniske rapporter fra området av NGI. To av disse omtalte grunn- og stabilitetsforhold i undersøkt området, jfr. /22/ og /23/. Disse ble gjennomgått og det ble vurdert at innholdet i rapportene ikke gir nye opplysninger som ville endre allerede foretatte vurderinger og beregninger.

Soneavgrensningen i /20/ ble mest sannsynlig utført på grunnlag av topografi, dvs. bunn ravine i øst og sør, vassdrag Storelva i vest og forholdsvis flatt, lavereliggende terrenget i nord.

Sonen ble i 2004 og 2006 evaluert av NGI mtp. skredfaregrad, konsekvens- og risikoklasse, jfr. /15/ og /16/. Sonen ble tildelt:

- Faregradklasse: *Lav*
- Konsekvensklasse: *Meget alvorlig*
- Risikoklasse: 3

Det ble i 2009 utført grunnundersøkelser av NGI i 5 stk. borpunkter med påfølgende stabilitetsberegninger i skråningen mot Storelva, jfr. /15/. Konklusjonen var at terrengstabilitet delvis er bekymringsverdig lavt og at det bør utføres mer detaljerte undersøkelser.

Samtlige tidligere utførte grunnundersøkelser og utredninger av relevans er tatt med i foreliggende rapport.

2.2 Grunnundersøkelser

Data fra utførte grunnundersøkelser er gjengitt i /14/. Plassering av borpunktene, metoder og dybder er vist i vedlagt tegning V03 og tegning V01 fra /14/.

Følgende felt- og laboratoriearbeider ble utført i tidsperioden mellom 3.9.18 og 14.2.19:

- 17 stk. totalsonderinger. Sonderingsdybder ml. 30 og 80m under terren (u.t.).
- 5 stk. CPTU sonderinger. Sonderingsdybder ml. 14 og 29m u.t., intervaller ml. 7 og 21m.
- 9 stk. prøveserier, bestående av totalt 24 stk. 54mm og 18 stk. 72mm sylinderprøver, prøvetakingsdybder mellom 5 og 42m.
- 7 stk. hydrauliske poretrykks-/grunnvannsmålere, fordelt på 3 lokasjoner, måledybder mellom 7 og 18m.
- Rutineanalyse av 42 stk. sylinderprøver med stedlige jordmasser på laboratorium hos NGI.
- 8 stk. CRS ødometerforsøk på laboratorium.

Det bemerkes at 3 stk. opprinnelig planlagte borpunkter i ravinen i sør av økonomiske grunner ikke kom til utførelse, med derav resulterende usikkerhet rundt grunnforhold ved ravinebunn.

3 Terreng- og grunnforhold

3.1 Topografi

Terrengkoter i undersøkt område ligger mellom ca. +60 m.o.h. ved bunn Storelva og ca. +120 m.o.h. på de høyest liggende platåene nordøst på området. Bunn på ravinen i sør/sørøst ligger på mellom koter +85 og +70 m.o.h.

Eksisterende bebyggelse ligger hovedsakelig på en leirrygg som begrenses av sterkt hellende terreng, dvs. ravineskråninger i øst og sør og elveskråning mot Storelva i vest. Skråningene er svært bratte og høye, med helning på opptil 1:1,5 og høydeforskjell på opptil 40 m. I nord begrenses området av fylkesvei «Vesternbakken» som ble anlagt i skjæring/fylling i mot nord skrånende terreng, høydeforskjell opptil 15m, helning opptil 1:1,5.

De øvre delene av området er preget av 3 til 4 stk. platåer/terrasser med mellomliggende skråninger på ca. 5 til 15 m høyde og helning på ca. 1:2 til 1:3.

3.2 Stratigrafi

Løsmassene i området er av NGU klassifisert som elveavsetninger, samt avsetning av marin leire i ravineskråningene i sør/sørøst.

Grunnen i skråningen er preget av terrasserte elvesedimenter i ulike nivåer, imellom havavsatte blandingslag av siltig, sandig leire med varierende andel av fraksjonene. Stratigrafien har bakgrunn i meandrerende elveløp, vekselvis fluvial og marin sedimentasjon som følge av landheving, endringer i elve- og flomløp, dannelse av kroksjøer og elvedeltaer. Fluvial nedskjæring/erosjon i tidligere elveskråninger utløste lokale ras og utglidninger som førte til stedvis blanding av marin- og elvesediment. Oven nevnte forhold er bakgrunn for noe «rotete» fremstående stratigrafi, dvs. delvis utsynlig horisontal lagdeling og variasjon i massefraksjoner.

Det er tilsynelatende høy lagringstetthet i elvesedimentet slik at det måtte brukes økt rotasjon, delvis slag og spyling under utførelse av totalsonderingene. Høy tetthet skyldes mest sannsynlig at elveavsetningene var utsatt for lengre uttørkingsprosesser etter terrassering/endring av elveleiet, før disse ble igjen dekket over av marin leire og andre sedimenter.

Mektigheten på løsmasseavsetningen er ukjent, dypeste boring (borpkt. 3) gikk til ca. kote -7 m.o.h., dvs. ca. 50 m under bunne på Storelva uten at fjellgrunn ble påtruffet.

3.3 Poretrykk

Installerte hydrauliske poretrykksmålere viste relativt poreundertrykk (dvs. mindre enn hydrostatisk trykk mellom to måledybder) øverst på området og midt i skråningen mot Storelva, og relativt hydrostatisk poretrykk nederst ved elvebredden. I 2009 av NGI utførte poretrykksmålinger på platået i sør (borpkt. 1_NGI-09, jfr. tegn. V01og V03) viste relativt hydrostatisk poretrykk.

Det bemerkes at målingene kun ble utført i høyereleggende leirelag. Dypeste måling ble utført 18 m under terrenget. Av økonomiske grunner ble det valgt å ikke installere poretrykksmålere i lag av elveavsetninger eller i bunnen av ravinen. Dermed ble det altså ikke kartlagt evt. hengende grunnvann, dvs. om lag av elveavsetningene virker drenerende eller ikke.



Fig. 2: Oversikt topografi, løsmasser, avgrensning kvikkleiresone før utredning (kilder: geo.ngu.no, atlas.nve.no)

4 Soneavgrensning og klassifisering

4.1 Avgrensning av løsneområde

Følgende forhold ble tatt hensyn til ved vurdering av ny avgrensning av mulige løsneområder for kvikkleireskred:

- Topografiske forhold.
- Sannsynlig utbredelse av kvikkleire på grunnlag av utførte/foreliggende grunnundersøkelser.
- Sannsynlige, mulige skredmekanismer, vurdert vha. empiriske prinsipper fra /13/.
- Stabilitetsberegninger.

Avgrensning i sør og øst: Grensen følger bunnen av ravineskråningen som før. Dette pga. at et mulig skred på naturlig vis stoppes der terrenget flater ut/begynner å stige på motsatt side. Sannsynlig skredtype er rotasjonsskred. Kritisk glideflate med sikkerhet på 1,4 fra udrenert beregning vil strekke seg ca. 50m bak skråningskant innover på platået.

Avgrensning i nord: Det ble lagt vekt på geoteknisk rapport FD513A-2 av Statens vegvesen hvor det bl.a. ble påvist kvikkleire i skråningen over Nansenveien 31, jfr. /19/, samt vurdering av sannsynlig skredmekanisme, jfr. kap. 6. Sannsynlig skredtype er rotasjonsskred med begrensning i løsneområde ved Ivar Aasens vei nederst og ca. 20m bak skråningskanten øverst mtp. kritisk glideflate gjennom kvikkleire med sikkerhet > 1,4.

Avgrensning i vest: Grensen følger bunnen av skråningen ved elvebredden som før, se begrunnelse over. Mtp. beliggenheten av kritisk glideflate kan det diskuteres om grensen evt. bør utvides et stykke ned i elveleiet.

Avgrensning midt/nord: Det ble trukket en ny grense innerst/nord på området. Bakgrunnen for at denne sonen ble unntatt skredfare er at det ikke er indikasjon på kvikkleire ved borpunkt 5, ved sondering fra /19/ i kryss Vesternbakken - Oddliveien, samt dreitetrykksøndering nr. 44 fra /18/, utført ved Vesternbakken 13. Denne delen av området ligger dessuten i såpass lang avstand fra skråningskantene i øst, sør og vest at den ikke vil kunne bli påvirket av mulige rotasjonsskred.

Det gjøres oppmerksom på at det også ble påvist kvikkleire i grunnen på eiendom Ole Thorkelsens vei 13, ca. 100m nord for dagens grense, jfr. /21/. Mest sannsynlig foreligger det kvikkleire i store deler av skråningene langs Storelva. I motsetning til Støalandet er topografiens i bakkant av disse forholdsvis flat og jevnt. Derfor ble det valgt å ikke utvide sonen nord-/sørover.

Ny avgrensning for løsneområde er vist på tegning V04.

4.2 Faregradsklassifisering

Det ble utført en ny evaluering av skredfaregrad på bakgrunn av utførte grunnundersøkelser, se fig. 3. Faregradsevalueringen i /15/ var basert på flere antakelser (forkonsolidering, sensitivitet, poretrykk). Faregrad for kvikkleireskred blir vurdert som «lav».

Faktorene som påvirker konsekvens- og risikoklasse er uendret.

Evaluering av skredfaregrad for kvikkleiresone nr. 867 «Støalandet»				
Faktorer	Vekttall	Score	Poeng*	Beskrivelse
Tidligere skredaktivitet	1	3	3	Flere registrerte skred i 0,5 til 2 km omkrets. Nærmeste topografi tyder på flere mindre og større historiske skred.
Skråningshøyde, meter	2	3	6	Opp til 40m.
Tidligere/nåværende terrengnivå (OCR)	2	1	2	Ved elvebredden er OCR > 2 i øverste kvikkleirelag, men < 2 de fleste andre steder. På bakgrunn av utførte ødometerforsøk.
Poreover/-undertrykk	3/-3	-1	-1	Delvis høyt undertrykk øverst, målt ca. hydrostatisk trykk/ noe under nederst. Ikke målt i ravinebunn.
Kvikkleiremektighet	2	1	2	Mektighet > H/2, men mesteparten av kvikkleire dypere enn skråningsfot.
Sensitivitet	1	3	3	Opp til 280.
Erosjon	3	0	0	Erosjonssikring i Storelva i yttersving ved pumpestasjon (se fig. 11), bred og flat strandsone ved ravinebekken.
Inngrep: forbedring/forverring	3/-3	0 (-1)	0 (-3)	Score -1 etter utførelse av anbefalt motfylling mellom snitt 2-2 og 3-3.
SUM			15 (12)	

Fig. 3: Faregradsevaluering

*Poeng = vekttall x score

5 Sikkerhetskrav for fremtidige tiltak

Fortetning av eksisterende bebyggelse, større utbygging innenfor kvikkleiresonen frarådes. Slike tiltak hører til tiltakskategori K4 iht. kvikkleireveileder /4/ (større tilflytting/personopphold), og dersom det skal bygges ut for dette i sonen må sikringstiltakene beskrevet i kap. 7.3 utføres først.

Tiltak iht. tiltakskategori K0-K3 kan gjennomføres så fremt tilfredsstillende sikkerhet iht. /4/ kan påvises. Siden kvikkleiresone «Støalandet» har lav faregrad, vil dette si at tiltak kan utføres dersom de ikke medfører forverring av stabiliteten, jfr. tab. 5.1 og 5.2 i /4/. I randsone bak skråningene må slike tiltak utføres kompensert ('vekt av tilførte laster' < 'vekt av fjerne eller erstattete masser') pga. at det er lav sikkerhet ift. overflateskred, og delvis dyperegående utglidninger i disse områdene. Dette gjelder også mindre, ikke søknadspliktige tiltak iht. SAK10 §4-1, bokstav a), b), c), e) nr. 6, e) nr. 7, dvs. oppføring av støttemurer, fyllinger, tilbygg og frittliggende bygg. **Hva som defineres som «randsone» er vist på tegn. V11.**

Det skal ikke utføres tiltak i skråningene (bygging, utfylling, avgraving, fjerning av større trær etc.) så fremt det ikke foreligger en vurdering ift. påvirkning på skredfare av en kvalifisert fagperson. Evt. fremtidige utfyllinger/endringer ifm. erosjonssikring i elveskråningene på Storelva må prosjekteres og utføres av kvalifiserte fagpersoner slik at lokal- og områdestabilitet forbedres, både i anleggsfasen og etter avsluttet tiltak.

Prosjektering og utførelse av fremtidige tiltak på Støalandet skal følge sikkerhetskrav fra gjeldende NVE kvikkleireveileder, byggesaks-/byggtekniske forskrift og øvrig relevant regelverk pga. at tiltakets virkning ift. skredfare alltid må vurderes av kvalifisert fagperson, jfr. SAK10 §5-4 og TEK17 §7-3. Utbygging på området innerst på Støalandet som er tatt ut av faresonen for kvikkleireskred skal også følge gjeldende regelverk, men her er det ikke fare for kvikkleireskred.

6 Grunnlag for stabilitetsvurderinger

6.1 Tolkning av materialparametere

6.1.1 Generelt

Materialparametere som ble tolket:

- Overconsolidation ratio «OCR» (fra ødometerforsøk og CPTU korrelasjoner).
- Forkonsolideringsspenning « p'_c » (fra ødometerforsøk).
- Udrenerert aktiv skjærstyrke « s_{uA} » (se kap. under).
- Anisotropiforhold «ADP» (fra rutine labforsøk og korrelasjoner fra NIFS rapport 2014/4).

Parametere «OCR» og « p'_c » ble brukt ifm. tolkning av udrenert skjærstyrke og er ikke direkte inputparametere for stabilitetsberegningene.

6.1.2 Prøve-/forsøkskvalitet

En noenlunde pålitelig tolkning av materialparametere fra jordprøver forutsetter god/brukbar prøve- og forsøkskvalitet. Prøvekvalitet bedømmes vha. parametere fra utførte ødometerforsøk.

Uforstyrrede Prøve		OCR [-]	Ødometerforsøk			Prøve-/forsøkskvalitet			Kval.- klasse (NVE)
Pkt.	Dybde [m]		M_0/M_L [-]	$\Delta e/e_0$ [-]	ϵ_a [%]	NVE (/6/)	SVV (/7/)	NGI (/11/, /12/)	
3	16,27	ca. 2,2	< 1	0,11	4,65	Forstyrret	Dårlig	Dårlig/ veldig dårlig	2
3	16,35	ca. 2,2	1,70	0,08	3,25	Akseptabel/ forstyrret	Akseptabel	Brukbar/ dårlig	1
8	9,28	ca. 1,9	1,20	0,06	2,65	Akseptabel	Akseptabel	Brukbar/ dårlig	1
8	9,50	ca. 1,9	< 1	0,07	3,10	Akseptabel	Akseptabel	Dårlig/ veldig dårlig	1
8	15,50	ca. 1,8	1,10	0,10	4,50	Forstyrret	Dårlig	Dårlig/ veldig dårlig	2
10	29,50	ca. 1,6	1,20	0,09	4,00	Forstyrret	Akseptabel/ forstyrret	Dårlig/ veldig dårlig	2
10	29,50	ca. 1,6	1,10	0,09	3,70	Forstyrret	Akseptabel	Dårlig/ veldig dårlig	2
13	9,45	?	< 1	?	?	Forstyrret	Dårlig	Veldig dårlig	2

Fig. 4: Kvalitet jordprøver etter /6/, /7/, /11/, /12/

Bruddeformasjon på enaksialforsøkene lå på ca. ml. 5 og 15 %. Ifølge /7/ indikerer deformasjoner over 5 % forstyrrete prøver for lite sensitiv leire. Sensitive prøver viser tendensielt mindre deformasjoner ved brudd, dvs. en lavere tøyningsnivå ift. prøveforstyrrelse.

Tabell nedenfor gir en oversikt over kvalitet på foreliggende CPTU data. Klassifiseringen gjelder kun nullpunktsavvik, helning og poretrykksrespons. CPTU sonderingsdata som ligger i anvendelseskasse 1-2 vurderes som godt egnet til tolkning av jordparametere og jordart/lagdeling. Årsak og betydning av stor stanghelning (anvendelseskasser 3 og 4) er usikker.

Sondering		Anvendelsesklasse (kun nullpunktavvik)				Kommentar
Pkt.	Dybde-intervall [m]	Spiss-motstand	Friksjon	Poretrykk	Helning	
4_U	6,0 – 14,2	1	1 (2 til 4 i få, korte distanser)	1	4 (14°)	Veldig god poretrykksrespons. Bq 0,5 til 0,9 under 10m, ellers rundt 0,4. Delvis sug øverst.
5_U	10,0 – 20,0	1	1 (5 ml. 10 og 11,5m).	1	4 (5°)	«Merkelig» poretrykk, glatt kurve i store deler. Ukjent årsak.
11_U	8,0 – 15,0	1	1	1	3 (3°)	Veldig god poretrykksrespons. Bq 0,4 – 0,9 under 12m og ml. 8 og 11m. Ellers < 0,4.
12_U	4,0 – 19,5	1	1 (2 i få, korte distanser)	1	4 (7°)	Veldig god poretrykksrespons. Sug ml. 4 og 7,7m. Bq 0,4 - 1,1 under 8m. Ellers < 0,4
13_U	8,0 – 29,1	1	1 (1 til 5 ml. 19 og 25m)	1	4 (14°)	Veldig god poretrykksrespons. Bq «hopper» ml. 0 og 0,9 under 14m, ellers rundt 0,4.

Fig. 5: Anvendelsesklasser CPTU etter /9/

6.1.3 Udrenerert skjærstyrke

Udrenerert skjærstyrke ble hovedsakelig tolket ved hjelp av korrelasjoner på CPTU felldata, jfr. /8/. Tolkningen av samtlige CPTU sonderinger viste en god overenstemmelse med empirisk SHANSEP formel for *udrenert aktiv skjærstyrke* $s_{uA} = \alpha \cdot p'_0 \cdot OCR^\beta$, med $\alpha = 0,30$ og $\beta = 0,80$, se også vedlegg 1. Skjærstyrkeprofilene ble tilpasset ulike terrengnivåer vha. oven nevnt SHANSEP prinsipp. Tilpassete profiler er eksempelvis vist for terregnsnitt 2-2 i vedlegg 5.

Hovedutfordringen for riktig bruk av oven nevnt sammenheng var korrekt vurdering av poretrykk « u_0 » i grunnen pga. at denne påvirker effektivspenningene « p'_0 » direkte iht. kjent sammenheng $p'_0 = p_0 - u_0$, se kap. under.

Det ble i mindre grad tatt hensyn til skjærstyrke målt fra konus- og enaksialforsøk, hovedsakelig pga. betydning av poretrykk i prøvene under disse forsøkene avviker sterkt fra in-situ forhold, se bl.a. kommentarer i vedlegg 3.

For å ta høyde for sprøbrudd-/tidseffekter ble udrenert skjærstyrke redusert iht. anbefalingen i /8/. Reduksjonen ble «slått sammen» med ADP-faktorene i stabilitetsberegningene, se kap. 6.1.6.

Udrenerert skjærstyrke	Sensitivitet $S_t > 15$	Sensitivitet $S_t < 15$
s_{uD}	12,5 %	5 %
s_{uP}	7,5 %	2,5 %
s_{uP}	2,5 %	0 %

Fig. 6: Reduksjon av udrenert skjærstyrke iht. /8/

6.1.4 Anisotropi

For å ta høyde for anisotropiforhold ved ulik belastning av jordmassene rundt kritisk glideflate ble det valgt følgende ADP forhold mellom aktiv, direkte og passiv udrenert skjærstyrke iht. NIFS rapport 2014/14 (/12/):

Plastisitetsindeks « I_p »	S_{uD}/S_{uA}	S_{uP}/S_{uA}
≤ 10 %	0,63	0,35
> 10 %	$0,63 + 0,00425 \cdot (I_p - 10)$	$0,63 + 0,00375 \cdot (I_p - 10)$

Fig. 7: ADP faktorer bruk i stabilitetsberegningene iht. /12/

6.1.5 Drenerte styrkeparametere

Friksjonsvinkel og attraksjon i leiremassene ble hovedsakelig tolket fra CPTU data. Tolkning av attraksjonen vha. korrelasjon ml. effektivspenninger og spissmotstand, og tolkning av friksjonsvinkel vha. NTH-metoden (jfr. /11/) viste god konsistens ved 4 av 5 sonderinger, se også vedlegg 1.

Tolkete drenerte parameter fra CPTU data ble sammenlignet/kontrollert mot erfaringsverdier for foreliggende jordmassetyper. Valgte design-parametere ligger i nedre del av erfaringsskala.

6.1.6 Materialparametere

Nr.	Jordlag	Romvekt ρ [kN/m ³]	Drenert skjærstyrke		Aktiv skjærstyrke s_{uA} [kPa]	Anisotropi inkl. tidseffekter		
			Friksjons- vinkel φ [°]	Attraksjon a [kPa]		A [/]	D [/]	P [/]
1	Topplag/skorpe	21,0	32	4,8	SHANSEP $\alpha = 0,30$ $\beta = 0,80$ <i>(gjelder jordlag 4, 6, 7, 9, 10, se vedlegg 5)</i>	-	-	-
2	Forvittringslag	20,0	28	9,4		-	-	-
3	Elveavsetning 1	19,0	30	1,7		-	-	-
4	Leire 1	19,5	27	7,9		0,95	0,62	0,30
5	Elveavsetning 2	19,0	32	1,6		-	-	-
6	Leire 2	20,0	27	7,9		0,95	0,62	0,30
7	Leire, kvikk 1	19,0	27	7,9		0,87	0,59	0,29
8	Elveavsetning 3	19,0	34	1,5		-	-	-
9	Leire, kvikk 2	19,0	27	7,9		0,87	0,59	0,29
10	Leire 3	20,0	27	7,9		0,95	0,62	0,30

Fig. 7: Materialparametere bruk i stabilitetsberegningene

Forkonsolidering av jordmassene er tolket fra ødometerforsøk og CPTU data. Pga. at det mest sannsynlig forelå ikke-hydrostatisk poretrykkforhold også i tidligere, erodert grunn over dagens terreng er det vanskelig å angi et tidligere terrengh-/havbunnsnivå for området.

Ødometerforsøkene tyder på at dagens elvedal har hatt ca. samme beliggenhet i postglacial tid. Dette pga. at forsøkene indikerer ca. samme tidligere overdekning/forbelastning av terrenget øverst og nederst i skråningen mot Storelva, se fig. under.

Borpunkt	Kote terrenge [-]	Kote jordprøve [-]	Forbelastning « p'_c » [kPa]	«OCR» [-]	Forbelastning terrenge « p'_c , terrenge» [kPa]
3_U	+76,46	+57,11	700	2,2	320
8_U	+98,30	+89,02	550	1,9	290
10_U	+95,80	+66,3	810	1,6	310

Fig. 8: Forkonsolidering tolket fra ødometerforsøk

6.2 Poretrykksvurdering

Poretrykksforholdene ble vurdert på grunnlag av:

- **Poretrykksmålinger:** in-situ målinger vha. hydrauliske målere, jfr. kap. 3.3.
- **Ødometerforsøk:** vurdering av poretrykk « u_0 » ut ifra tolket effektivspenningsnivå ($p'_0 = p_0 - u_0 \rightarrow u_0 = p_0 - p'_0$).
- **Rutineforsøk:** hvordan målt styrke ligger ift. CPTU korrelasjoner. Stor avvike kan evt. tyde på in-situ over-/undertrykk pga. at dette trykket ikke vil kunne holde seg stabilt i prøven slik at materiale vil være løsere/fastere under rutine styrkemålingene enn i reelle in-situ forhold («unconfined/confined» tilstand).
- **CPTU data:** sammenligning av OCR-korrelasjon med OCR fra ødometer. OCR-tolkning fra CPTU data påvirkes av poretrykk som legges inn i tolkningen.
- **Stratigrafi, topografi:** fritt drenerende lag kan motvirke oppbygging av over-/undertrykk. Poreovertrykk oppstår ofte i lavere liggende deler av skråninger, undertrykk i høyere liggende områder.

Målte in-situ poretrykksforholdene er grafisk fremstilt i vedlegg 4. Følgende in-situ poretrykksmålinger ble utført:

Måler/borpkt.	Terrenge [moh]	Måler [moh]	Vannspeil [moh]		Poretrykk [kPa]		Kommentar
			1. måling*	4.1.19	1. måling*	4.1.19	
8P_10M	+98,27	+88,27	-	<88,27	-	0	Måler 8P_10M tørr. Poreundertrykk (relativt) antas.
8P_18M	+98,27	+80,27	-	+81,12	-	8,5	
11P_9M	+78,39	+69,39	+75,39	+73,15	60,0	37,6	Poreundertrykk (relativt).
11P_14M	+78,39	+64,39	+74,84	+69,59	104,5	52,0	
12P_7M	+68,55	+61,55	+67,91	+67,67	63,6	61,2	Hydrostatisk poretrykk (relativt).
12P_13M	68,55	+55,55	+67,32	+67,12	117,7	115,7	
12P_17M	68,55	+51,55	+67,78	+66,87	162,3	153,2	

Fig. 9: Poretrykksmålinger

*umiddelbart etter installasjon

Forsøk på «tilbakeregning» vha. indikert effektivspenningsnivå på jordprøver fra ødometerforsøk ga indikasjon på muligens hengende grunnvann i de øvre elveavsetningene. Dette vises i poretrykksprofil for borpkt. 10, jfr. vedlegg 4. For å estimere sensitivitet av denne effekten på skråningsstabilitet ble det utført beregninger med og uten hengende grunnvann, jfr. kap. 7.

Samlet vurdering av poretrykksforholdene er gjengitt i vedlegg 3. På dette grunnlaget ble det bestemt design-poretrykksprofiler som er vist i vedlegg 4. Profilene ble brukt til å tilpasse udrenert skjærstyrke til ulike terrengnivåer vha. SHANSEP prinsippet. Profilene ble også brukt som input i utførte stabilitetsberegninger.

6.3 Tolkning av lagdeling

Stratigrafien i undersøkt området viser antydning til lagdeling, jfr. også kap. 3.2. Det foreligger elveavsetninger (Ea.) til stor dybde. Lag av elvesedimenter har en tykkelse mellom ca. 3 til 6m og ble hovedsakelig tolket fra totalsonderingsdata.

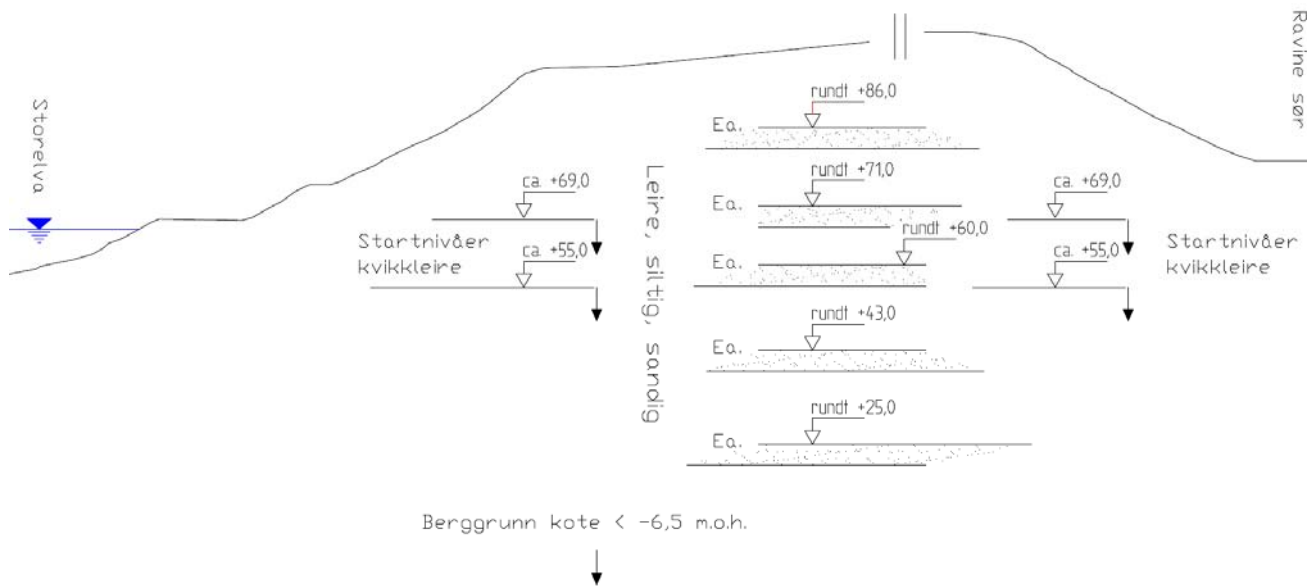


Fig. 10: Tolkning av stratigrafi på Støalandet (snitt øst – vest)

Det bemerkes at startnivåene på kvikkkleirelag i skråningen i nord mot Vesternbakken og Ivar Aasens vei er en del høyere. Der ble det oppdaget kvikkkleirelag allerede på koter +85 og +80, jfr. /19/. Kvikkkleirefunnene på eiendommen Ole Thorkelsens vei 13 (nord for sonen) viser derimot samme nivåene, jfr. /21/.

6.4 Erosjon

Erosjonsforholdene i Storelva ble vurdert vha. elvebunnsmålinger fra 1999 og 2016. Dataene er offentlig tilgjengelige på NVE og Statens Kartverket sine nettsider («atlas.nve.no» og «hoydedata.no»).

Dataene fra 2016 ble generert fra laserskanning. I foreliggende utredning ble punktskyen for elvebunnen ekstrahert og sammenlignet med 2 stk. profiler som ble målt med ekkolodd i 1999. Sammenligningen viste at det ikke er tegn til aktiv erosjon i Storelva vest for Støalandet. Bunnprofilene fra 1999 og 2016 er vist på tegning V06.

Det bemerkes at yttersvingen på Storelva langs bebyggelse ved strandsonene i Ole Thorkelsens vei og forbi pumpestasjonen i sør ble erosjonssikret i 1988, samt forlengelse og vedlikehold i 2005, se fig. under. Oppbygging av deltaene ved Tyrifjorden tyder derimot generelt på pågående erosjon/transport av elvesediment fra bunnen/skråningene på Storelva.



Fig. 11: Erosjonssikring i Storelva langs Støalandet ([kilde: atlas.nve.no](#))

Bekkeleiet i ravinedalen i sør er ca. 1m dyp med masks helning på ca. 1:35, dvs. ca. $1,6^\circ$ fall. Skråningen mot boligfeltet ligger hovedsakelig i innersvingen på bekken. Rennende vassdrag eroderer sideterrenget hovedsakelig i yttersvinger. Strandsonene på begge sider av bekken er forholdsvis brede med lite tverrfall, dvs. evt. aktiv erosjon vil ikke berøre de bratte skråningene umiddelbart.

6.5 Kritiske snitt og vurdering av skredmekanismer

Det ble totalt vurdert og beregnet 5 stk. kritiske snitt, snitt 1-1 til 5-5. Beliggenheten av disse er vist på tegning V05 og figur under. Snitt 1-1 og 2-2 er ca. identiske med snittene beregnet av NGI i 2009, jfr. /17/. Snittene ble valgt slik at alle kritiske skråninger og skråningsdeler rundt leirryggen på Støalandet er representert. Innmålte bunnprofiler ble tatt med i beregningene. Beregningene ble utført med hensyn til normalvannstand i Storelva på +66,70, jfr. NVE rapport nr. 2003/7: «Flomsonekart – delprosjekt Hønefoss» (okt. 2003).

Vurdering av sannsynlige skredmekanismer er utført på grunnlag av beregnede kritiske glideflater og empirisk metode fra NIFS rapport 2016/14, jfr. /13/. Geometriske forhold som ligger til grunn for disse vurderingene er gjengitt på tegningene V07a til V07e. Pga. at kvikkleirelag ligger forholdsvis

dypt under skråningsbunn er mest sannsynlig skredmekanisme rotasjonsskred for 4 av de 5 undersøkte snitt. En samlet oversikt er gitt i fig. 13.

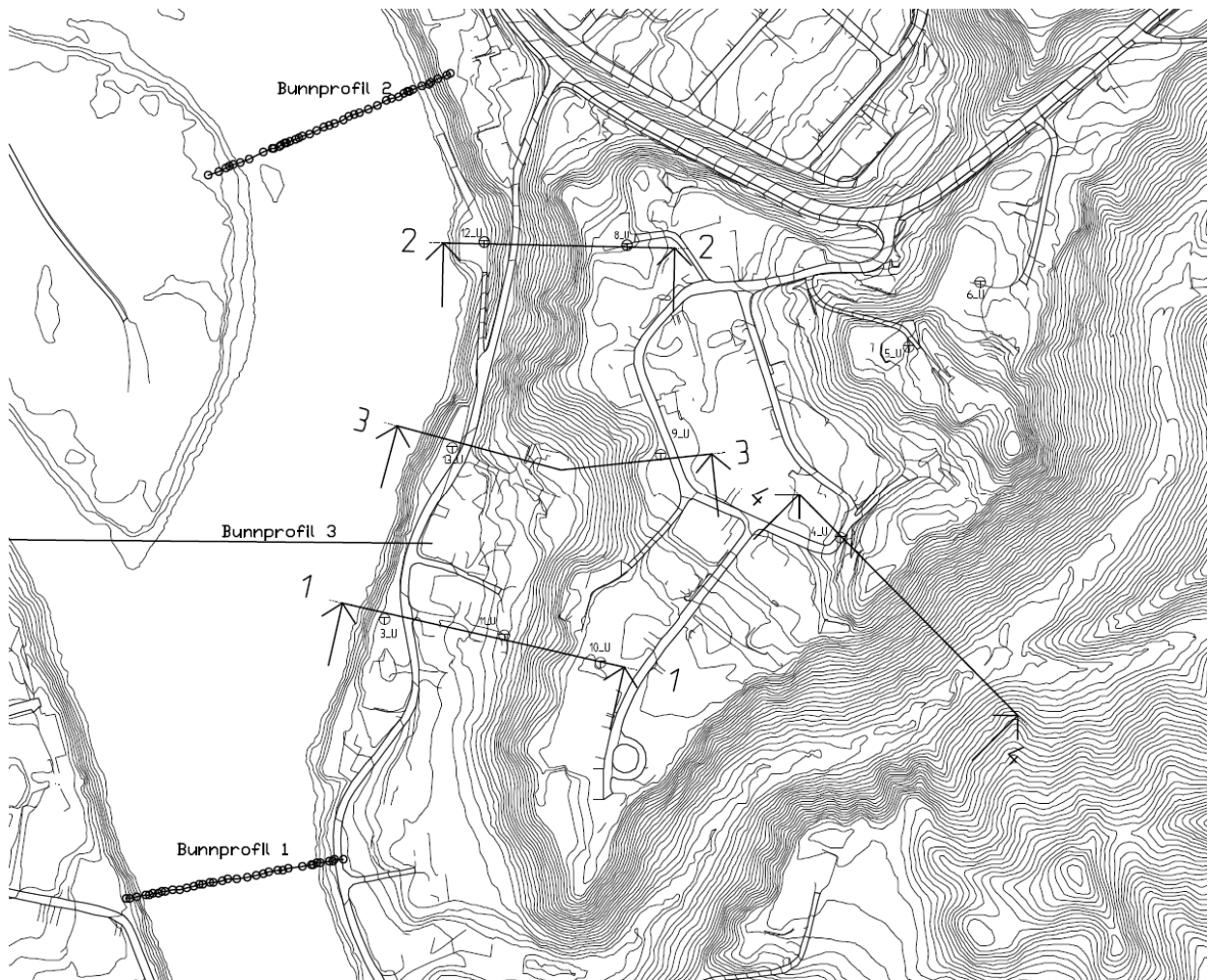


Fig. 12: Oversikt beregningssnitt 1 til 5 og bunnpropfiler

7 Stabilitetsvurderinger

7.1 Generelt

Det bemerkes innledningsvis at den mest sannsynlige skredmekanismen i skråningene er rotasjonsskred, dvs. ikke kvikkleiretypisk skred, hverken bak- eller forover rettet, jfr. figur under. Mulig retrogradasjon foreligger kun for snitt 3-3. Pga. begrenset utstrekning av leirryggen bakover og «omslutning» av dette snittet mellom to snitt som ikke har samme skredmekanisme vil det i realiteten ikke oppstå et kvikkleiretypisk områdeskred.

En har derimot likevel valgt å opprettholde klassifisering av området som kvikkleiresone med definert faregrad. Dette pga. at området er forholdsvis tett bebygd og vurderingene rundt skredmekanismene er basert på empiriske metoder som vil være under stadig utvikling i mange år fremover.

7.2 Utførte beregninger

Det ble utført:

- Udrenerte a_p-analyser av terrengstabilitet, dvs. beregninger med drenerte parametere for leirelag i kombinasjon med poretrykksprofiler.
- Udrenerte s_u-ADP analyser, dvs. beregninger med udrenerte parametere for leirelag.

Sistnevnte beregningene kan anses som en blandet analyse, pga. at det ble brukt drenerte parametere for topplag og lag med elveavsetninger.

Dagens skråninger vurderes å foreligge i drenert tilstand. Med «drenert tilstand» menes at det kun foreligger «utkonsoliderte» spenningstilstander i leirelag med udrenert lastrespons. Med hensyn til sikkerhetskonseptet i gjeldende TEK17/NS-EN 1997 vil en beregnet sikkerhetsfaktor på 1,25 i dagens skråninger kunne anses som tilstrekkelig stabilt.

Ved belastningsendringer som følge av f.eks. ny bebyggelse, fyllinger, stenging av drensveier vil leirelag under topplag respondere med oppbygging av poretrykk slik at tilstand i skråningene vil endres fra drenert til udrenert. For udrenert tilstand vil det kreves en beregnet sikkerhetsfaktor på 1,40 mht. tilstrekkelig stabile forhold.

I mest kritisk snitt 2-2 viser utførte drenerte beregningene mobilisering av kritiske glideflater opptil 90%. Dagens skråninger har altså en viss robusthet ved en evt. plutselig opptrædende, udrenert tilstand forårsakende belastningsendring.

Stabilitetsberegnene ble utført vha. program Geosuite Stability versjon 15.4.0.0 med beregningsmotor BEAST 2003 (likevektsmetode). Programmet anses som vel egnet for foreiggende utredninger pga. mulighet for beregning med ikke-lineare poretrykks- og skjærstyrkeprofiler.

For 2 av 5 beregnede snitt ble det lagt inn forsiktig antatte faktorer for (ensidig) sidefriksjon for å ta høyde for romlige effekter som elliptisk utforming av 3D-glideflater i lengderetning og begrenset utstrekning av skråningene (stabiliserende effekt i endene av glidelegeme), se tabell under.

Beregningene med sidefriksjon viser i underkant av 5% høyere stabilitet. Dette anses som konservativt ift. i bransjen ofte brukt 10% «påslag» ved utpreget uregelmessig «romlig topografi».
Geometrien og beliggenheten på kritisk glideflate påvirkes i lite grad av valgte 3D faktorer, jfr. tegn V10a til h.

Det ble lagt inn bygnings- og trafikklaster hvor dette ble ansett som realistisk (f.eks. boliger uten kjeller).

Tabell med beregningsresultater viser at det kun er snitt 2-2 som har kritisk lav sikkerhet. Dette snittet ble også ansett som mest kritisk i NGI sine utredninger i 2009, jfr. /17/. Beregnet sikkerhet ligger noe høyere enn beregningene fra 2009. I dette snittet ble det også utført en beregning med hengende grunnvannsnivå i det øverste laget med elveavsetninger. Hengende grunnvann/ «drenering» av poretrykk er antydet i dette laget, jfr. kap. 6.2 og vedlegg 4. Beregningen ga ca. 4% høyere sikkerhet.

Delvis lav sikkerhet mot lokale glideflater nederst og øverst i skråningene samt snitt 4-4 skyldes konservativt valgte verdier for attraksjon i tørrskorpe- og forvitlingslag, se også fig. 7. Dette slår ut for lokale glideflater som kun går gjennom disse lagene. Reell sikkerhet vurderes som en god del høyere. Erfaringstall viser verdier for attraksjon i slike lag på opptil 100 kPa, jfr. f.eks. /9/ og /10/.

Resultatene på stabilitetsberegnene er på tegning V10a til V10h.

Snitt	3D side friction (GS)	Sikkerhetsfaktor kritisk glideflate udrenert (drenert) beregning						Sannsynl. skredtype iflg. NIFS 2014/16	Kommentar beregningsgrunnlag		
		Glideflate nederst ⁽³⁾		Glideflate øverst ⁽³⁾		Lang glideflate					
		I kvikkleirelag		I kvikkleirelag		I kvikkleirelag					
		Ja	Nei	Ja	Nei	Ja	Nei				
1	0,000	1,78	1,71	/	1,56	1,72	/	Rotasjons-skred	2D-beregning uten romlige effekter. Konservative poretrykksforhold. Best dokumentert snitt mht. grunnforhold (4 sonderinger, 3 prøveserier)		
2	0,007	2,52 (1,47) ⁽¹⁾	/	/	1,24 (1,07) ⁽¹⁾	1,19 1,22 ⁽²⁾ (1,12) ⁽¹⁾ (1,31) ⁽²⁾	/	Rotasjons-skred	Poreundertrykk i toppen. Ingen hengende grunnvann, hydr. trykk nederst. Bygnings- og trafikklaster på toppen/midten. Best dokumentert snitt mht. poretrykk (5 stk. målere, 2 stk. gode ødometerforsøk).		
	0,000	2,42 (1,50) ⁽¹⁾	/	/	1,17 (1,05) ⁽¹⁾	1,13 (1,08) ⁽¹⁾	/				
3	0,000	1,44	1,31 ⁽⁴⁾	/	1,47	1,48 (1,48) ⁽¹⁾	/	Retrogressivt skred ⁽⁵⁾	2D-beregning uten romlige effekt. Konservative poretrykksforhold (ingen negativt trykk, ingen hengende grunnvann, overtrykk nederst).		
4	0,004	/	/	/	/	1,30 ⁽⁴⁾ (1,28) ^(4,4)	1,07 ⁽⁴⁾	Rotasjons-skred	Kvikkleireforekomst i nedre del av skråningen usikker (ingen boring i ravinen). Konservative poretrykksforhold (ingen negativt trykk, ingen hengende grunnvann, overtrykk nederst). Bygnings- og trafikklaster på toppen.		
	0,000	/	/	/	/	1,24 ⁽⁴⁾ (1,24) ^(4,4)	1,04 ⁽⁴⁾				
5	0,000	/	1,80	/	1,34 ⁽⁴⁾	1,55	/	Rotasjons-skred	2D-beregning uten romlige effekter. Bygnings- og trafikklaster på toppen.		

⁽¹⁾ Drenerte beregninger.

⁽²⁾ Beregning utført med hengende grunnvannshorisont på kote +68,5 m.o.h. (lag «Elveavsetning 1»). Poretrykks- og skjærstyrkeprofilene ble tilpasset.

⁽³⁾ Pga. usikkerhet/konservative antakelser ift. attraksjon i topplag ble det ikke tatt hensyn til veldig grunne glideflater (< 1m dybde).

⁽⁴⁾ Trolig en del høyere i realiteten pga. stor betydning av konservativt valg av attraksjon i øvre lag samt stabiliserende virkning av rotssystem til høye trær.

⁽⁵⁾ Kun teoretisk, se kap. 7.1.

Fig. 13: Oversikt resultater fra stabilitetsberegningene

7.3 Sikringsbehov

Nedenfor omtalt krav om sikringstiltak gjelder kun ifm. evt. ny utbygging på Støalandet som vil medføre tilflytting av personer eller økt personopphold. Situasjonen er ikke utpreget prekært pga. at det er beregnet nesten en 12% margin i forhold til dyperegående terregbrudd for dagens skråning uten ytterligere belastning (drenert tilstand). Pga. høyt antall av eksisterende bebyggelse/person-opphold kan utførelse av sikringstiltak vurderes selv om det ikke legges opp til ytterligere utbygging.

Beregnet sikkerhet i nordre del av skråningen mot Storelva (snitt 2-2) ligger en del under omforent sikkerhetsnivå. Med bakgrunn i krav fra NVE sin kvikkleireveileder for utbygging i kvikkleiresoner ble det vurdert tiltak for økning av stabilitet, tilsvarende krav om prosentvis forbedring, jfr. fig. 5.1 i /4/. Dette betyr at sikkerhet etter utført stabiliseringe tiltak skal ligge 6% høyere ift. beregnet sikkerhet fra udrenert analyse på 1,19.

Tradisjonelle tiltak for forbedring av skråningsstabilitet er:

- 1) Avlasting/planering av arealer på skråningstopp.
- 2) Motfylling i skråningsbunn.
- 3) Grunnforsterkning vha. kalk-sement peler.
- 4) Avskjæring av kritiske glideflater vha. bakforankret spunt e.l.
- 5) Jordnagling.
- 6) Dreneringstiltak ved høyt poreovertrykk eller høy grunnvannsnivå.

Mulighetene diskuteres ikke i detalj pga. at det er åpenbart at forholdsvis tett bebyggelse gjør det vanskelig å utføre andre tiltak enn tiltak nr. 2). Det bemerkes også at forholdsvis høy fasthet i gruntliggende jordlag over kvikkleira og stor dybde til fjell utelukker tiltak nr. 3) og 4).

Nødvendig fyllingsvolumen for å øke stabiliteten i snitt 2-2 med 6% ble overslagsmessig beregnet til 16.000m^3 fast volum. Geometri på motfyllingen ble forsøkt tilpasset slik at det blir minst mulig inngrisen i dagens elveleie. En evt. mer optimal plassering og utforming av motfyllingen vil være gjenstand for detaljprosjektering.

Foreslått plassering av fylling og snitt er vist i tegningene V08 og V09.

Det bemerkes at sikkerhet mot forholdsvis dypt gående glideflater (ikke gjennom kvikkleire) i snitt 4-4 er veldig lav, også ved bruk av høyere verdier for attraksjon i leirmassene. Grunnforholdene i bunnen av ravinen ble av økonomiske grunner ikke kartlagt ifm. foreliggende utredning. Vi anbefaler at dette gjøres til et senere tidspunkt. Muligens bør en da vurdere tiltak for stabilisering av (deler av) ravineskråningene i øst/sørøst også. Dette blir særlig aktuelt ifm. evt. større utbygging/fortetning innenfor østre/sørøstre del av kvikkleiresonen.

8 Avgrensning av utløpsområde

NIFS rapport 2016/14 angir maksimal utløpsdistanse for rotasjonsskred i alle type terreg til $utløpsdistanse \ll L_u \gg = 0,5 \cdot løsnedistanse \ll L \gg$.

Dette ville for snitt 1-1 og 3-3 gir utløpsdistanser på ca. 120m, og ca. 60m for snitt 2-2 og 4-4. I praksis vil skredutløpet bli begrenset av stigende terreg på andre siden av elve- og ravinedalen. Et skred i skråningen i nord vil kunne ha en utløpsdistanse på 25m.

Avgrensning av utløpsområde på grunnlag av disse betraktingene er vist i tegning V04.

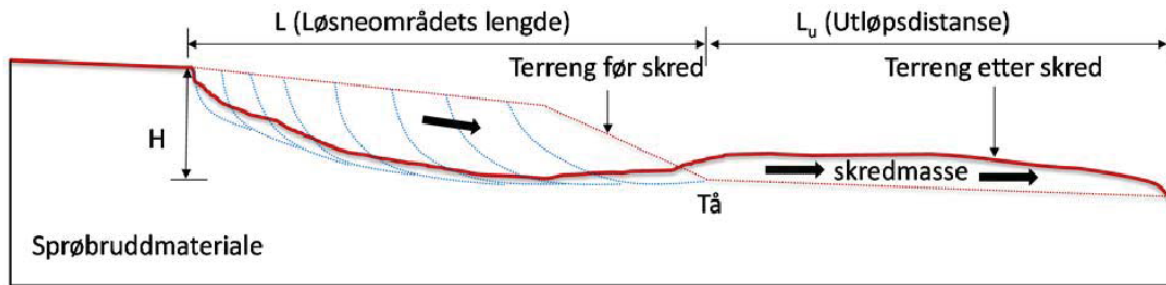


Fig. 14: Forklaring av terminologien (kilde: NIFS rapport 2016/14, fig. 2.1)

9 Konklusjon og anbefalinger

Stabilitet i skråningene i undersøkt området/kvikkleiresone «Støalandet» er noe bedre enn vurdert i NGI rapport fra 2009, jfr. /17/. Ny avgrensning av sonen er omtrent som før, med mindre endringer midt/nord på området. Faregrad, konsekvensklasse og risikoklasse er uendret.

Typisk frem-/bakoverrettet kvikkleire skredutbredelse ved mulige kvikkleireskred vurderes som usannsynlig. Sannsynlig skredmekanisme er rotasjonsskred i alle skråninger.

Det anbefales:

- At sikringstiltak som beskrevet i kap. 7.3 og tegninger V08, V09 vurderes (strengt tatt ikke nødvendig etter gjeldende regelverk hvis området ikke skal utbygges ytterligere).
- Utføring av jevnlige målinger av elvebunnen i Storelva samt elveskråninger i 3 til 5 profiler. Målingene utføres minst hvert 5 år, og/eller etter flomhendelser av større omfang. Målingene sammenlignes med tidligere målinger og evt. pågående erosjon/behov for utvidelse av erosjonssikring vurderes.
- Mer nøyaktig utredning av erosjonsforholdene i ravinebekken samt kartlegging av grunnforhold i bunnen av ravinen.
- Utarbeidelse av system/rutiner for overvåking og registrering av evt. mindre overflateglidninger eller synlige bevegelser (sprekker, skjeve trær, gjerder e.l.) i alle skråninger, samt skråning i Storelva. Ved større avvik bør geotekniker kontaktes.
- At fjerning av større trær i skråningene/avskoging unngås. Eksisterende vegetasjon i skråningene, særlig i ravineskråningene i øst/sørøst bidrar til stabilitet i disse. Dette gjelder spesielt høye trær.

10 Tegninger og vedlegg

Tegning V01, V02: *se geoteknisk datarapport (/14/)*

- Tegning V03: Oversikt lokasjoner m/påvist eller indikert kvikkleireforekomst
Tegning V04: Oversikt ny avgrensning kvikkleiresone (løsne- og utløpsområder)
Tegning V05: Beregningssnitt 1-1 til 5-5
Tegning V06: Bunnprofiler 1 til 3, Storelva
Tegning V07a: Beregningssnitt 1-1 m/kritiske glideflater, vurderinger iht. NIFS 2014/16
Tegning V07b: Beregningssnitt 2-2 m/kritiske glideflater, vurderinger iht. NIFS 2014/16
Tegning V07c: Beregningssnitt 3-3 m/kritiske glideflater, vurderinger iht. NIFS 2014/16
Tegning V07d: Beregningssnitt 4-4 m/kritiske glideflater, vurderinger iht. NIFS 2014/16
Tegning V07e: Beregningssnitt 5-5 m/kritiske glideflater, vurderinger iht. NIFS 2014/16
Tegning V08: Oversikt motfylling 6% forbedring
Tegning V09: Snitt A-A motfylling 6% forbedring
Tegning V10a: Beregningsresultat snitt 1-1 fra GeoSuite Stability
Tegning V10b: Beregningsresultat snitt 2-2 (udrenert) fra GeoSuite Stability
Tegning V10c: Beregningsresultat snitt 2-2 (drenert) fra GeoSuite Stability
Tegning V10d: Beregningsresultat snitt 2-2 (hengende gv) fra GeoSuite Stability
Tegning V10e: Beregningsresultat snitt 2-2 (motfylling) fra GeoSuite Stability
Tegning V10f: Beregningsresultat snitt 3-3 fra GeoSuite Stability
Tegning V10g: Beregningsresultat snitt 4-4 fra GeoSuite Stability
Tegning V10h: Beregningsresultat snitt 5-5 fra GeoSuite Stability
Tegning V11: Oversikt avgrensning randsone med krav om kompensert fundamentering

Vedlegg 1: Tolkning CPTU felldata.

Vedlegg 2: Tolkning ødometerforsøk.

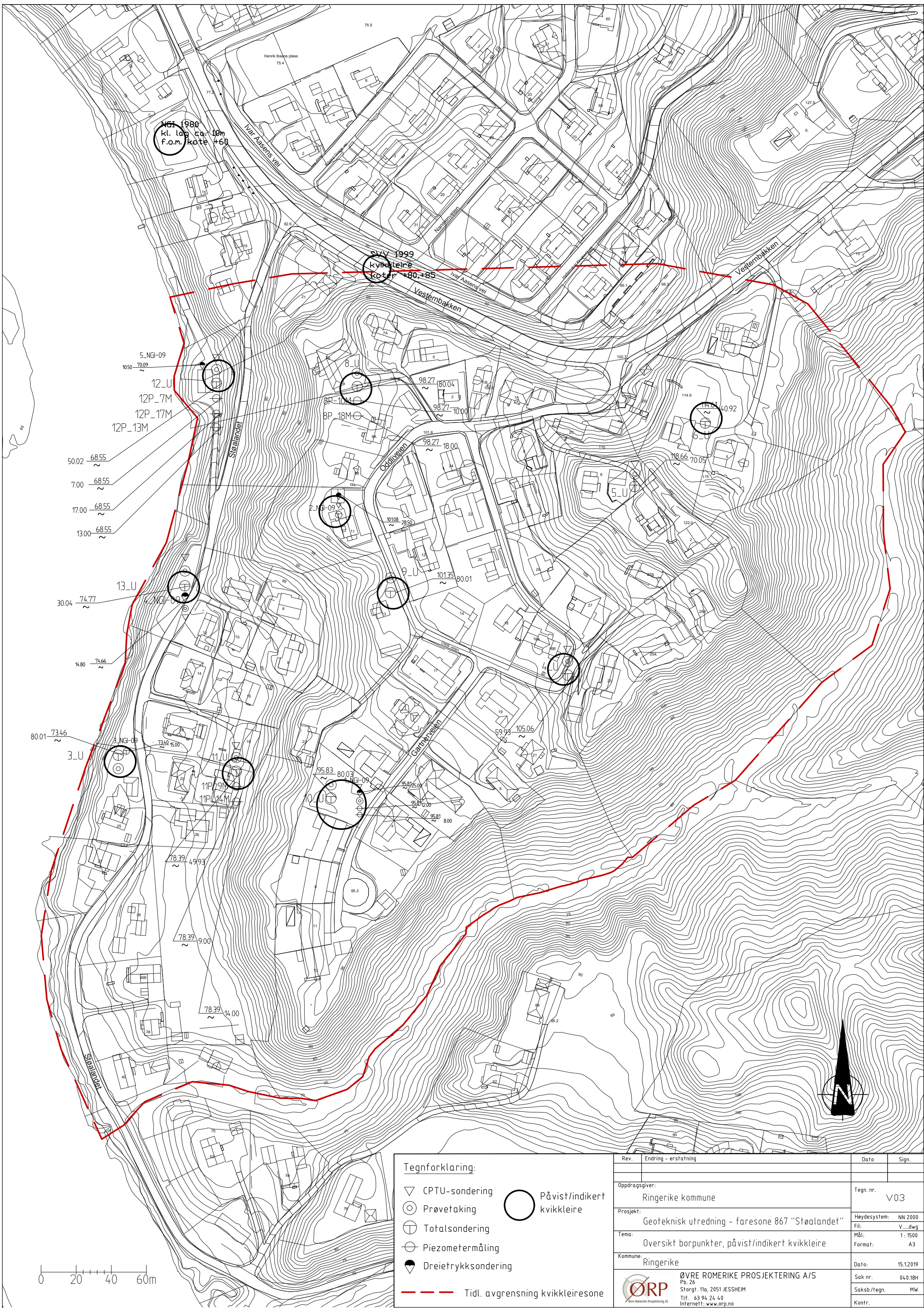
Vedlegg 3: Vurdering/evaluering poretrykksforhold.

Vedlegg 4: Design-poretrykksprofiler snitt 1-1 til 3-3.

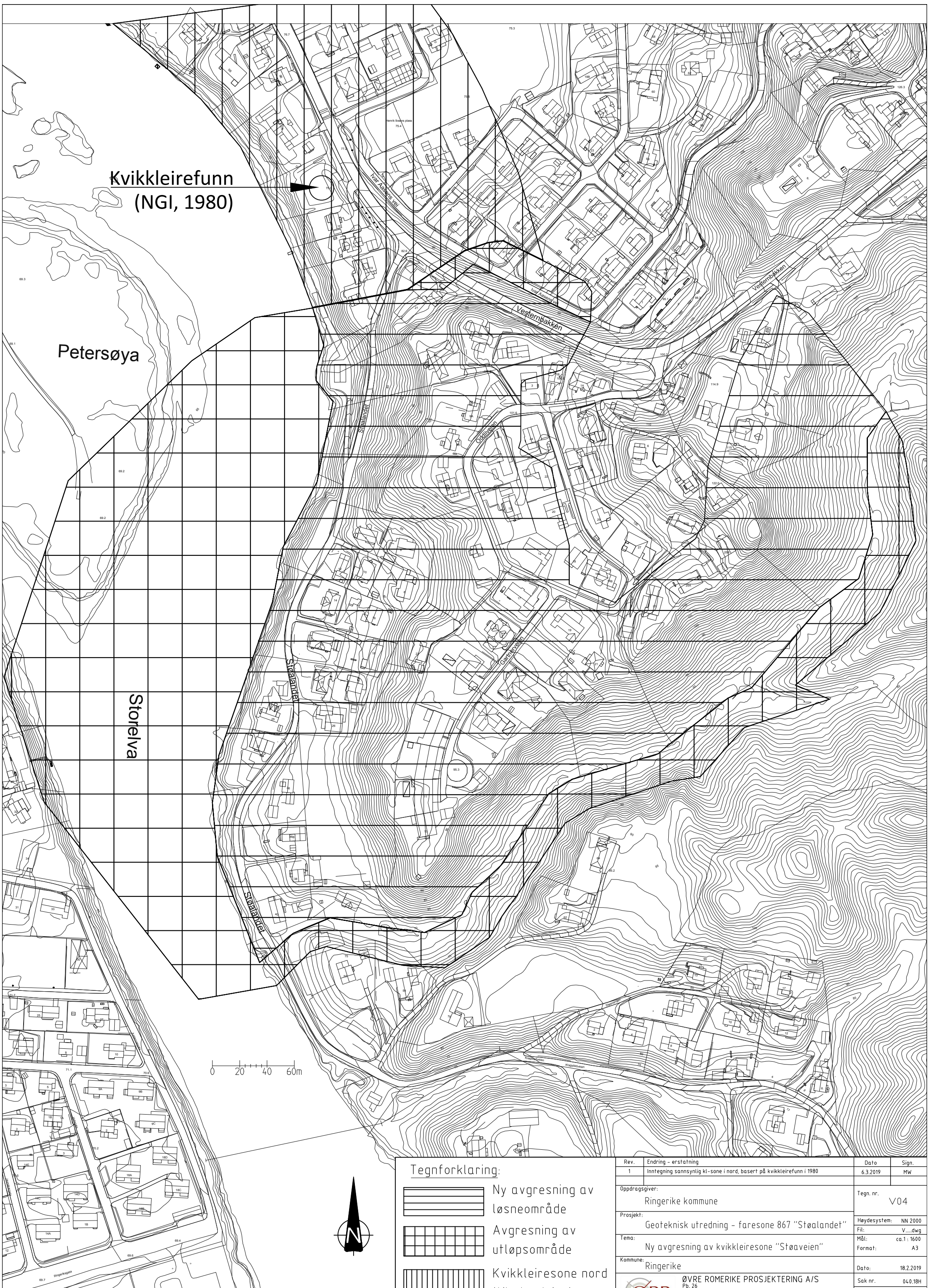
Vedlegg 5: Design-skjærstyrkeprofiler (aktiv udrenert), SHANSEP-terrengtilpasset.

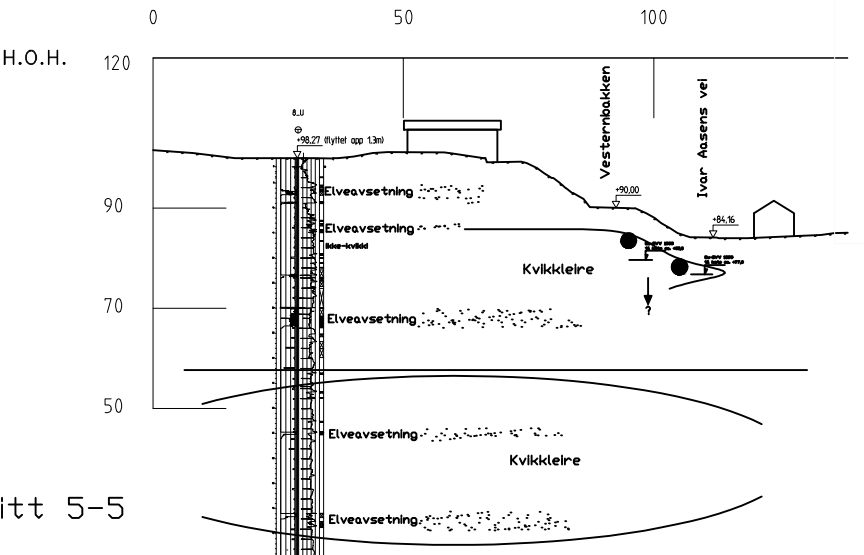
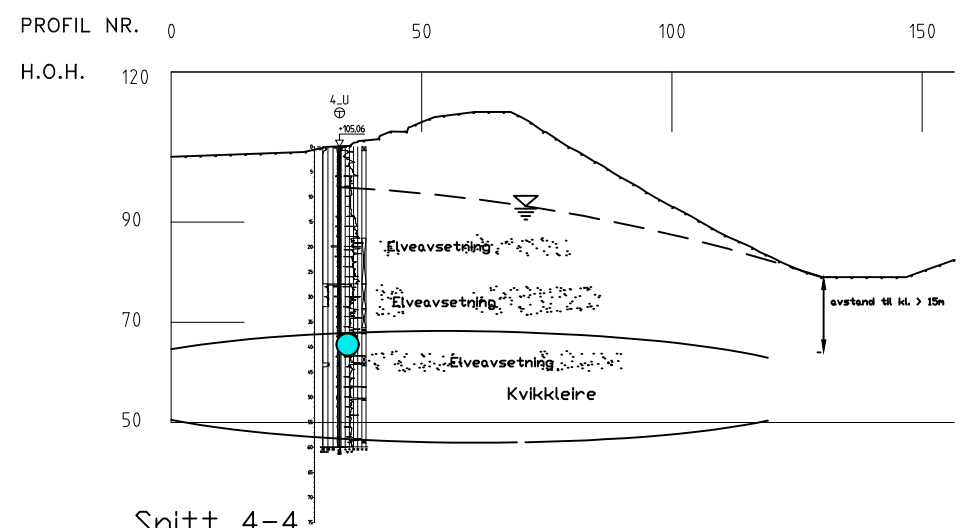
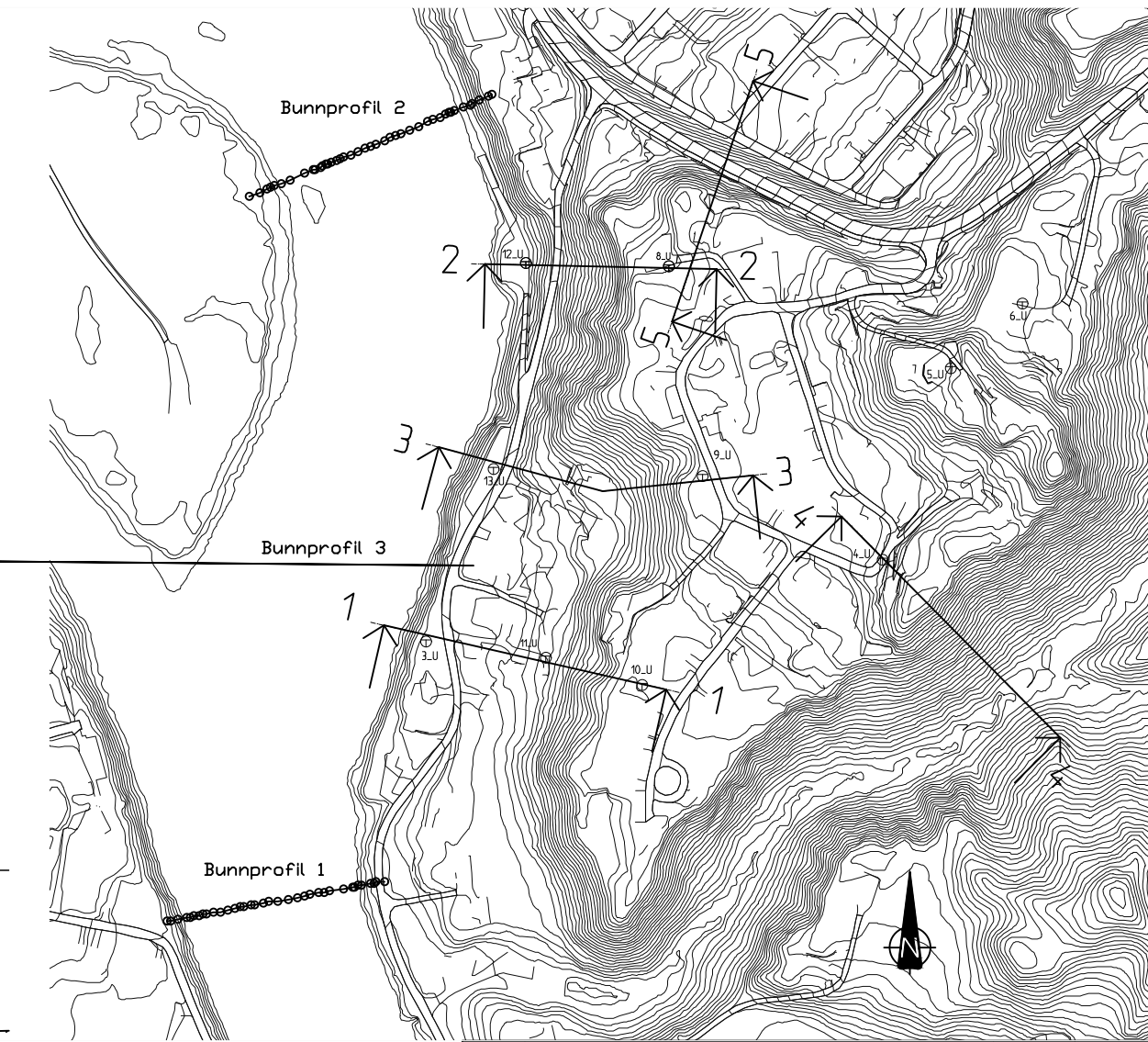
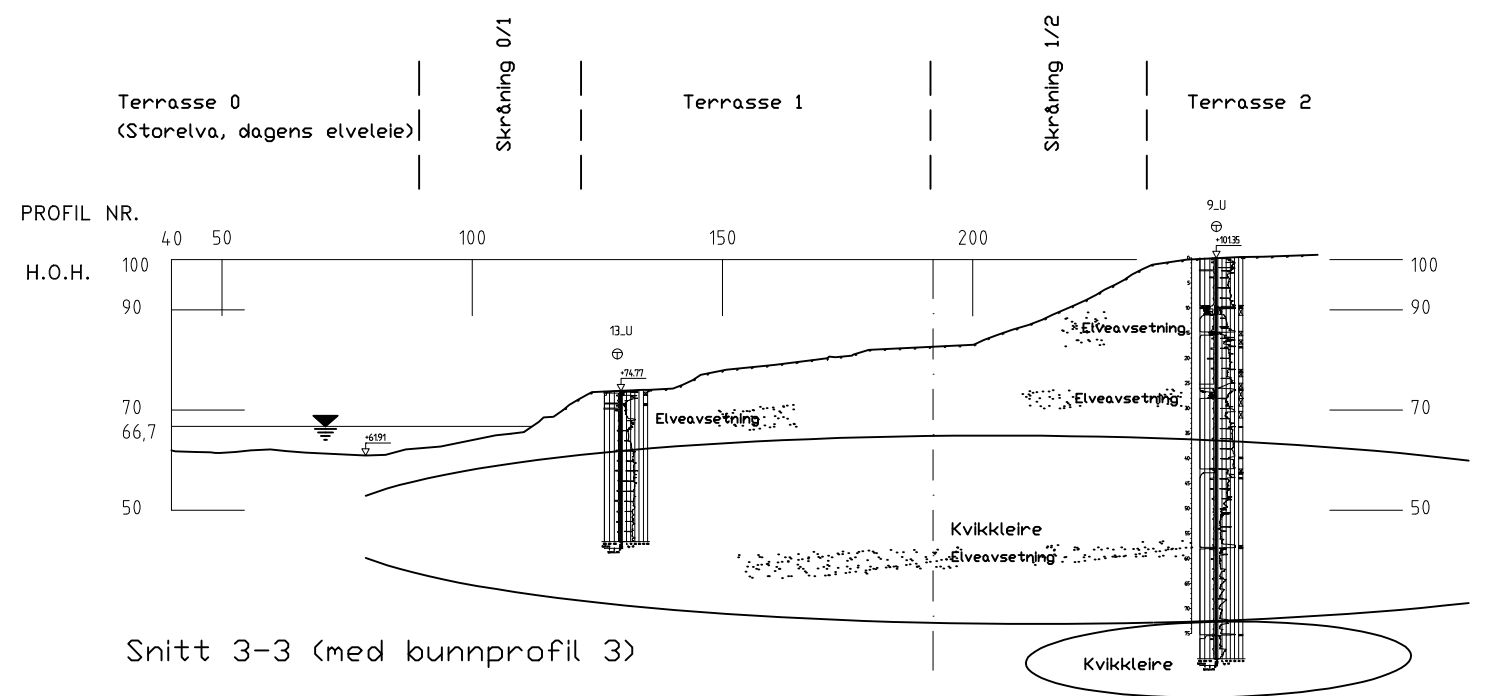
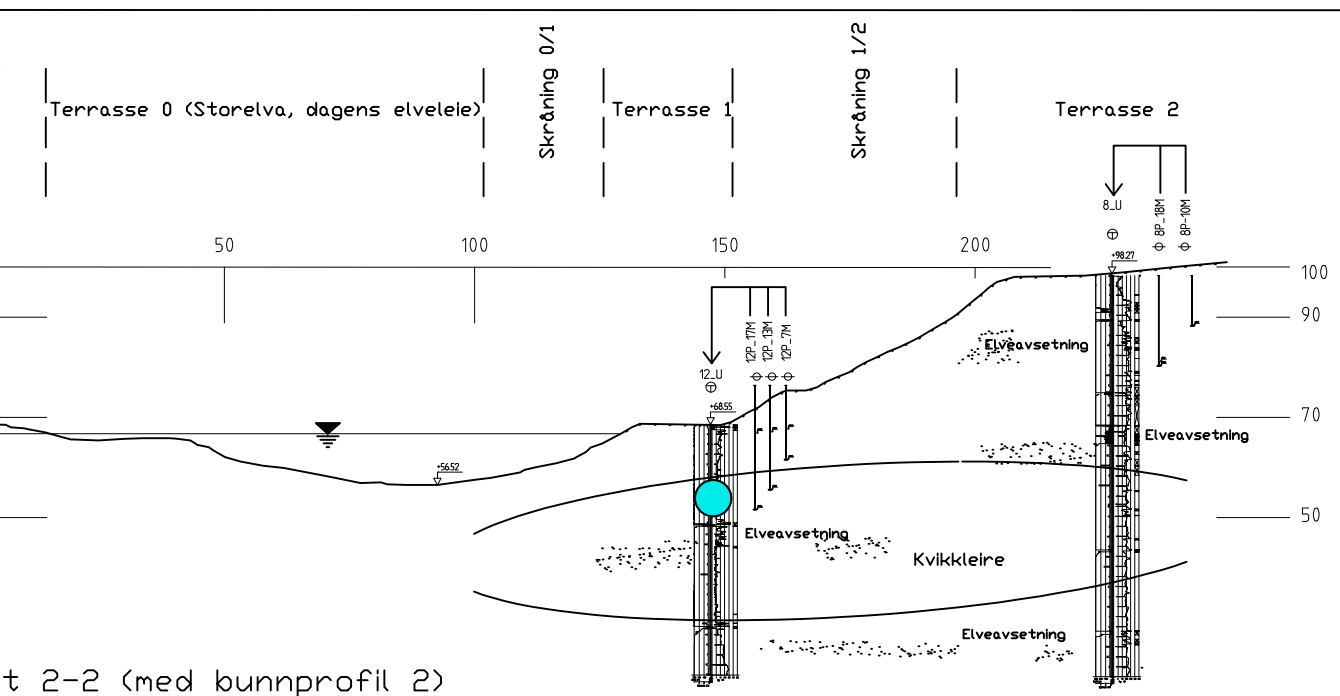
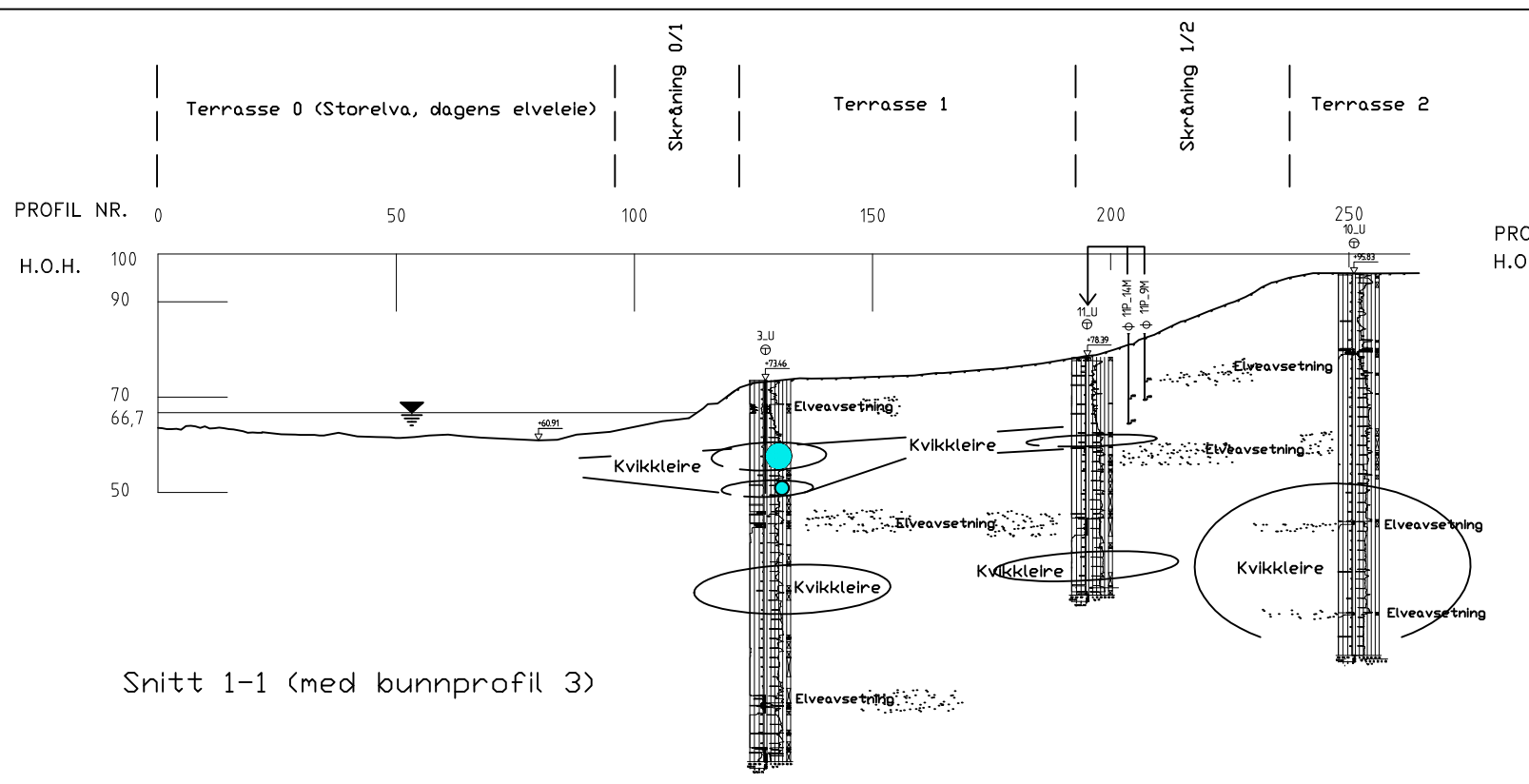
11 Referanser

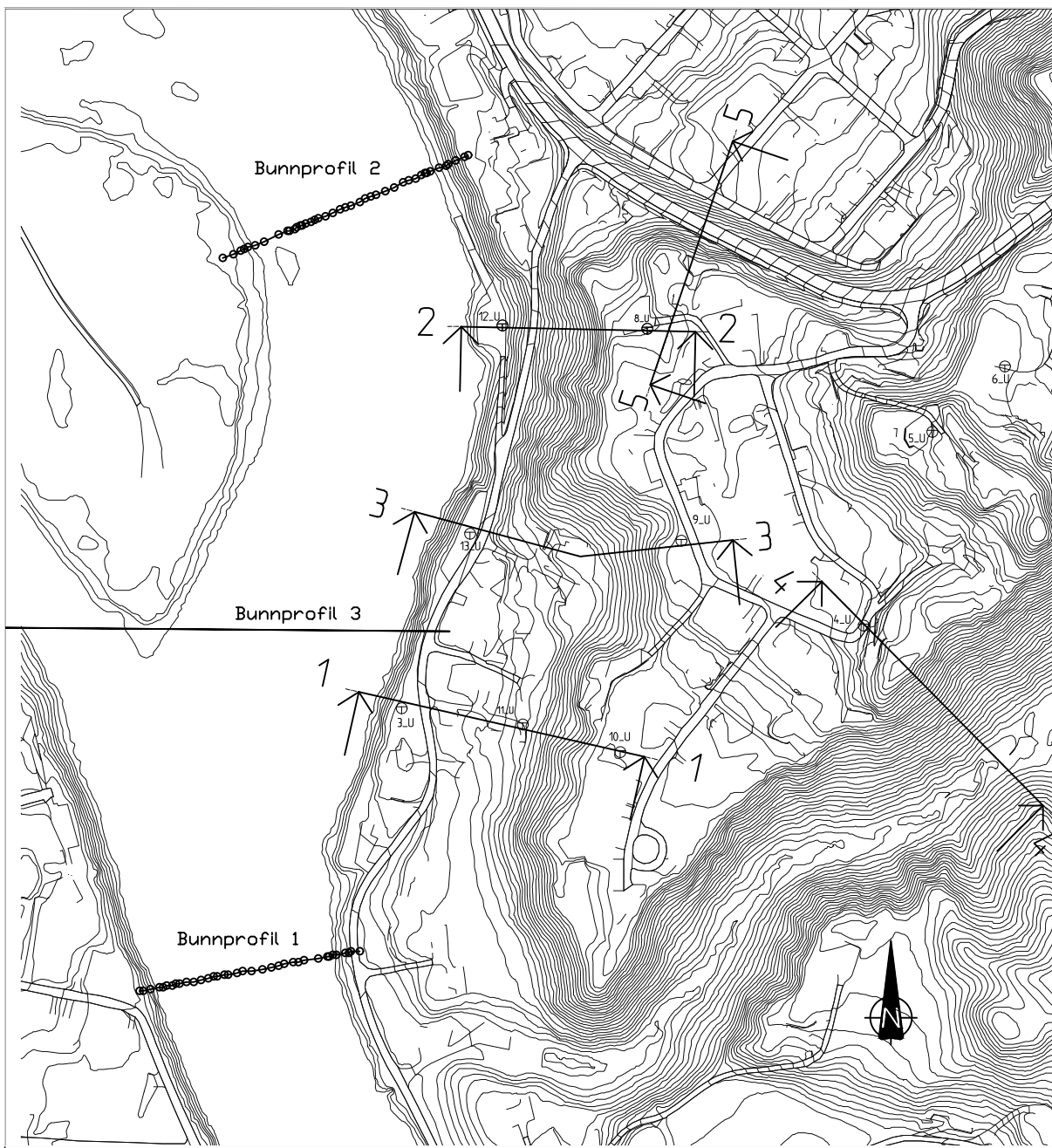
- /1/ Norsk-/ Europeisk Standard, NS-EN 1997-1:2004+A1:2013+NA:2016: «Geoteknisk prosjektering – Del1: Allmenne regler».
- /2/ Direktoratet for byggkvalitet, Byggesaksforskriften: SAK10.
- /3/ Direktoratet for byggkvalitet, Byggeteknisk forskrift: TEK17.
- /4/ NVE, veileder: «Sikkerhet mot kvikkleireskred - Vurdering av områdestabilitet ved arealplanlegging og utbygging i områder med kvikkleire og andre jordarter med sprøbruddegenskaper» (2014).
- /5/ Statens vegvesen, Veiledning: Håndbok V220 «Geoteknikk i vegbygging» (2010).
- /6/ Norsk Geoteknisk Forening (NGF), veileder: "Veiledning for utførelse av trykksondering" (1982, rev. nr. 3, 2010).
- /7/ T. Lunne et. al, publikasjon: «Sample disturbance effects in soft low plastic norwegian clay» (1997).
- /8/ NGF, publikasjon, Laurits Bjerrums Minnefond, Bjerrums foredrag nr. 23: «Strength and Deformation properties of Norwegian clays from laboratory tests on high quality block samples» (2014).
- /9/ NTNU, kompendium til studieemne: "TBA4110 – Geoteknikk, felt- og labundersøkelser" (2006).
- /10/ Olav R. Aarhaug, lærebok ISBN 9788256222094: "Geoteknikk" (1993).
- /11/ R. Sandven, doktoravhandling: «Strength and deformation properties of fine grained soils obtained from piezocone test» (1990).
- /12/ Naturfareprosjekt Dp. 6 Kvikkleire, rapport nr. 2014/14: «En omforent anbefaling for bruk av anisotropifaktor i prosjektering i norske leire», datert 30.1.2014.
- /13/ Naturfareprosjekt Dp. 6 Kvikkleire, rapport nr. 2016/14: «Metode for vurdering av løsne- og utløpsområder for områdeskred» (2016).
- /14/ ØRP, geoteknisk datarapport oppdragsnr. 040.18H/MW: «Geoteknisk utredning kvikkleiresone 867 «Støaveien» - grunnundersøkelser – datarapport», datert 15.1.2019.
- /15/ NVE, faktaark: «Kvikkleiresone 867: Støaveien – kommune: Ringerike», datert 16.11.2004, oppdatert: 23.10.2015.
- /16/ NGI, rapport oppdragsnr. 2001008-43: «Program for økt sikkerhet mot leirskred – Evaluering av risiko for kvikkleireskred Ringerike kommune», datert 27.4.2006.
- /17/ NGI, rapport oppdragsnr. 20091249-00-3-R: «Stabilitetsvurderinger faresone Støaveien – Grunnundersøkelser og stabilitetsvurdering», datert 24.11.2009.
- /18/ NGI, rapport oppdragsnr. 810040-2: «Kartlegging av områder med potensiell fare for kvikkleireskred – Rapporten omfatter kartbladet Hønefoss, M=1:50000 – Boreresultater», datert 16.3.1994.
- /19/ Statens vegvesen, geoteknisk rapport, oppdrag Fd 513A, rapport nr. 2: «FV 163 HP: 01 Vetserngate/NygateX35 – Klekken K241 – Parsell: Nansenveien – Slettveien», datert 24.1.2000.
- /20/ NGI, rapport oppdragsnr. 81040-1: «Kartlegging av områder med potensiell fare for kvikkleireskred – Rapporten omfatter kartbladet Hønefoss, M=1:50000», datert 1.9.1988.
- /21/ NGI, oppdragsnr. 77035-8: «Kloakkering Hønefoss sentrum. Vurdering av fundamenteringsforhold for pumpestasjon Støa», datert 26.2.1980.
- /22/ NGI, oppdragsnr. 77035-10: «Kloakkering Hønefoss sentrum. Vurdering av fundamenteringsforhold for pumpestasjon Støa, plasseringssted Støaveien», datert 27.11.1980.
- /23/ NGI, oppdragsnr. 70037: «Stabilitetsundersøkelse av skråningen mot Støaveien, Hønefoss», datert 8.6.1971.



<u>Tegnforklaring:</u>	Rev.	Endring - erstatning	Dato	Sign.
<input type="checkbox"/> CPTU-sondering				
<input checked="" type="radio"/> Prøvetaking				
<input type="checkbox"/> Totalsondering				
<input type="radio"/> Piezometermåling				
<input type="checkbox"/> Dreietrykksondering				
 Påvist/indikert kvikkleire	Oppdragsgiver:	Ringerike kommune	Tegn. nr.	V03
	Prosjekt:	Geoteknisk utredning - faresone 867 "Støalandet"	Høydesystem:	NN 2000
	Tema:	Oversikt borpunkter, påvist/indikert kvikkleire	Mål:	1: 1500
	Kommune:	Ringerike	Format:	A3
	ØVRE ROMERIKE PROSJEKTERING A/S Pb. 26 Storgt. 11a, 2051 JESSHEIM Tlf. 63 94 24 40 Internett: www.orp.no	Sak nr.	040.18H	
		Saksb./tegn.	MW	
		Kontr.		







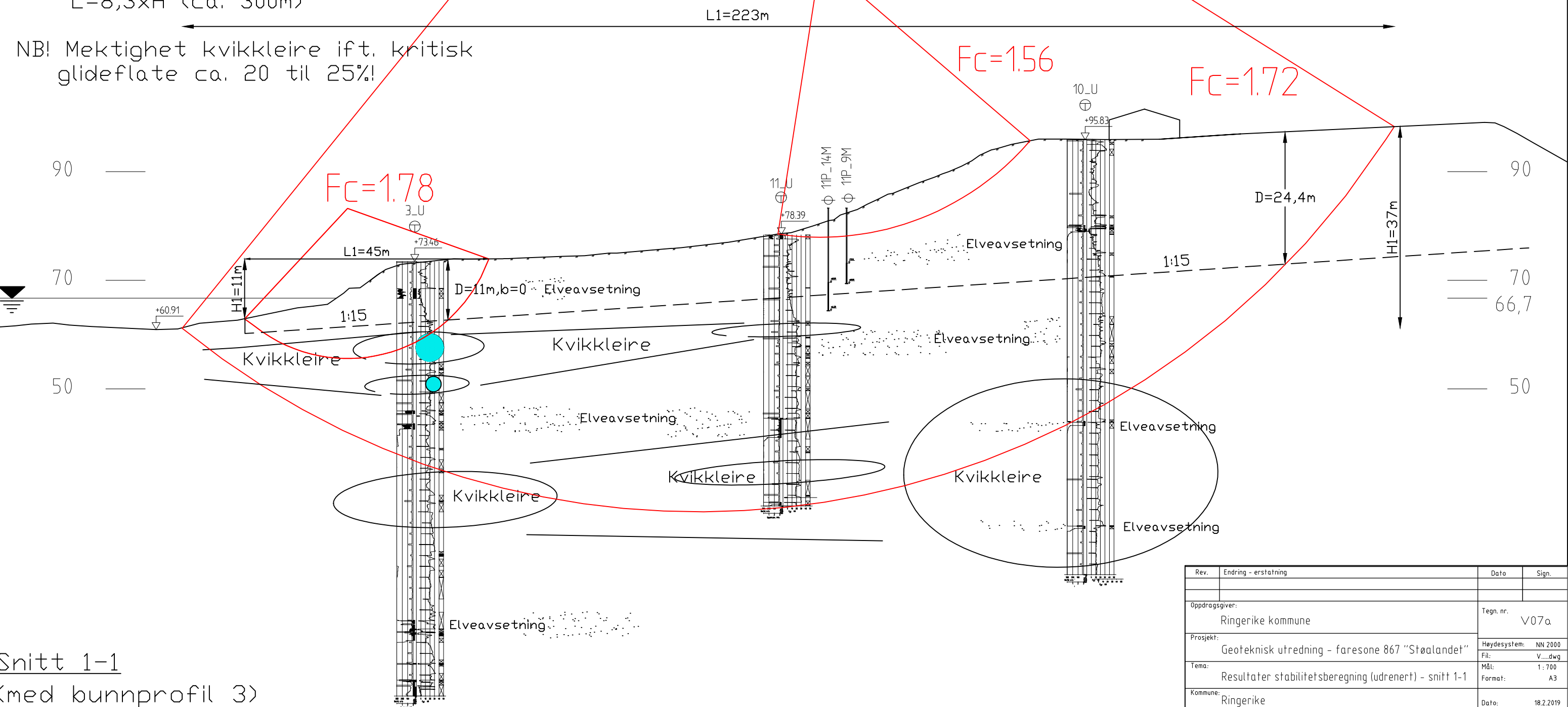
F_c=1,74: NIFS 2016/14:

- b/D=0
- b/D ved 2L1 el. 3L1=0
- x1<L1
- Stor elv
- Tidl. skred L/H>10
- su/gammaxD=105/20x24,4=0,22

SUM (vekttall, score)= 14
dvs. skredutbredelse maks L=8,3xH (ca. 300m)

F_c=1,78: NIFS 2016/14:
SUM (vekttall, score)= 14
dvs. skredutbredelse maks
L=8,3xH (ca. 300m)

NB! Mektighet kvikkleire ift. kritisk glideflate ca. 20 til 25%!



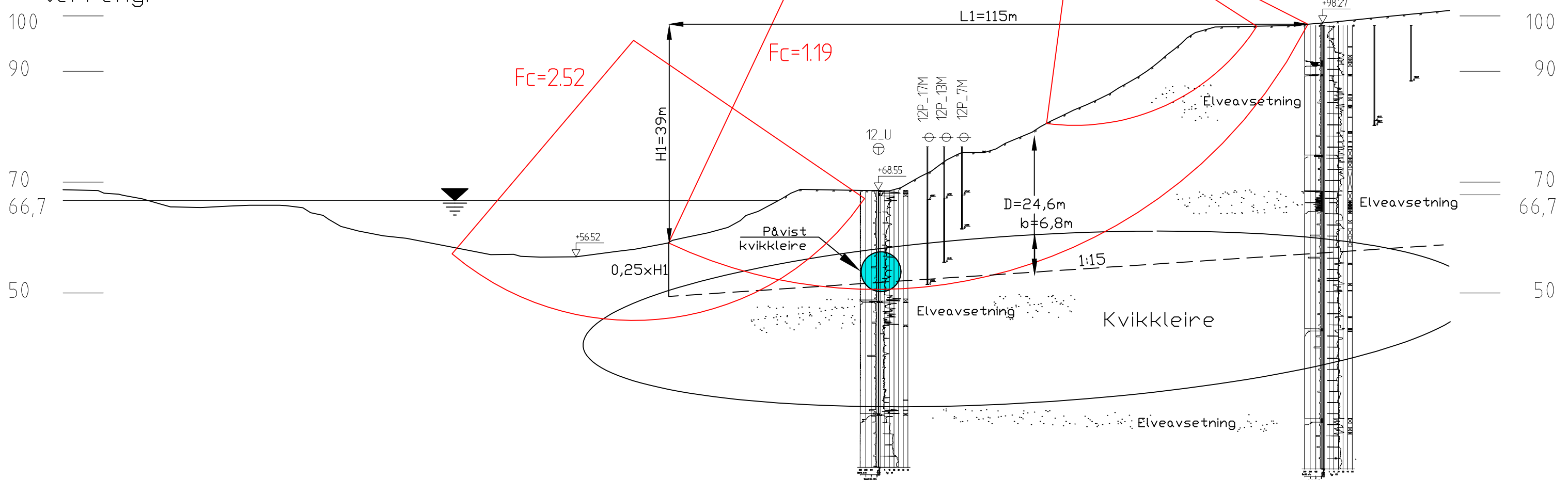
Rev.	Endring - erstatning	Date	Sign.
Oppdragsgiver:	Ringerike kommune	Tegn. nr.	V07a
Prosjekt:	Geoteknisk utredning - faresone 867 "Støalandet"	Høydesystem:	NN 2000
Tema:	Resultater stabilitetsberegning (udrenert) - snitt 1-1	Fil:	V....dwg
Kommune:	Ringerike	Mål:	1:700
		Format:	A3
		Dato:	18.2.2019
ØVRE ROMERIKE PROSJEKTING A/S		Sak nr.	040.18H
Pb. 26		Saksb./tegn.	MW
Storgt. 11a, 2051 JESSHEIM		Internett:	www.orp.no
Tlf. 63 94 24 40		Kontr.	

Fc=1,17: NIFS 2016/14:

- $b/D=0,27$
- b/D ved 2L1 el. 3L1=0
- $x_1 < L_1$
- Stor elv
- Tidl. skred $L/H > 10$
- $s_u/\gamma \times D = 110/20 \times 24,6 = 0,22$

→ SUM (vekttall, score)= 16
dvs. skredutbredelse maks $L=10,6 \times H$ (ca. 450m)

NBI! Mektighet kvikkleire ift. kritisk glideflate ca. 25 til 30%,
dvs. retrogresivt skredutvikling usannsynlig. Flakskred
usannsynlig pga. at kvikkleirelag ikke parallelt med
terrenget.



Snitt 2-2

(med bunnprofil 2)

Rev.	Endring - erstatning	Date	Sign.
Oppdragsgiver:	Ringerike kommune	Tegn. nr.	V07b
Prosjekt:	Geoteknisk utredning - faresone 867 "Støalandet"	Høydesystem:	NN 2000
Tema:	Resultater stabilitetsberegning (udrenert) - snitt 2-2	Fil:	V....dwg
Kommune:	Ringerike	Mål:	1:700
		Format:	A3
		Dato:	18.2.2019
ØVRE ROMERIKE PROSJEKTERING A/S		Sak nr.:	040.18H
Pb. 26		Saksb./tegn.	MW
Storgt. 11a, 2051 JESSHEIM		Internett:	www.orp.no
Tlf. 63 94 24 40		Kontr.	
ØRP			
Øvre Romerike Prosjektering AS			

$F_c=1,32$ og $1,44$: NIFS 2016/14:

- $b/D=0$
- b/D ved $2L_1$ el. $3L_1=0$
- $x_1 < L_1$
- Stor elv
- Tidl. skred $L/H > 10$
- $\sigma_u/\gamma \times D = 48/20 \times 10,5 = 0,23$

→ SUM (vekttall, score) = 14
dvs. skredutbredelse maks
 $L=8,3 \times H$ (ca. 350m)

NB! Mektighet kvikkleire ift. kritisk
glideflate maks 14%!

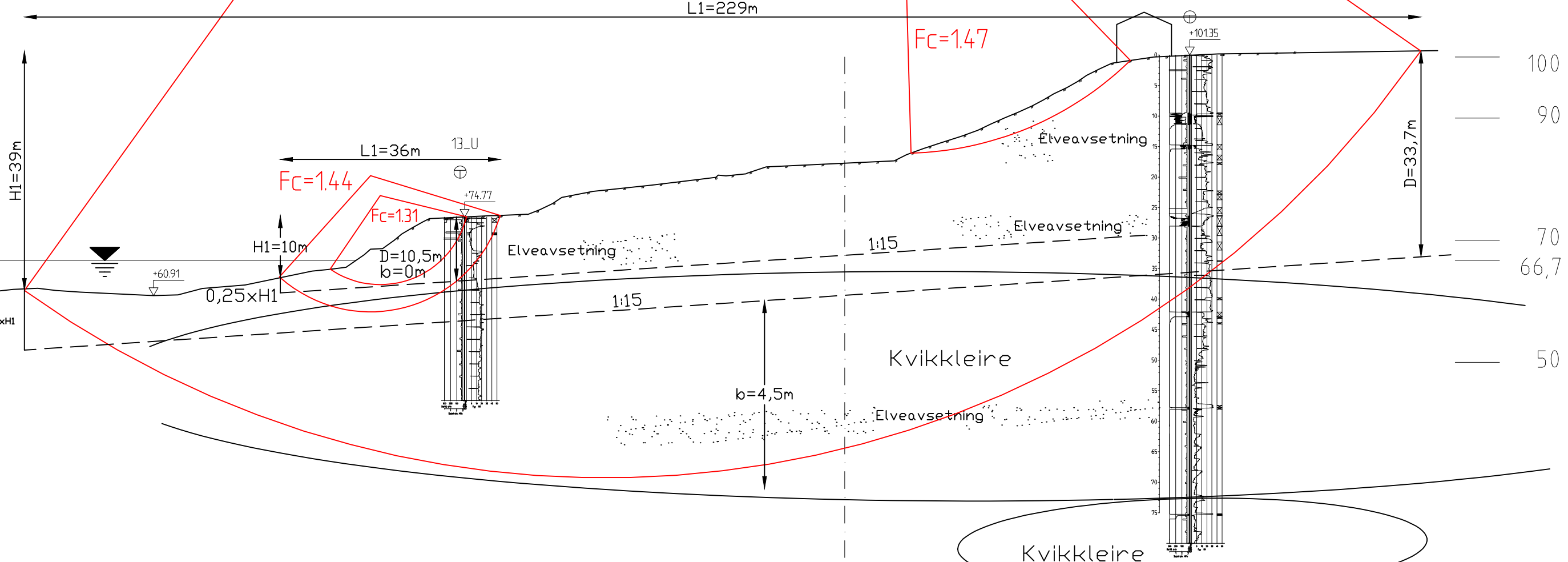
$F_c=1,48$: NIFS 2016/14:

- $b/D=0,13$
- b/D ved $2L_1$ el. $3L_1=0$
- $x_1 < L_1$
- Stor elv
- Tidl. skred $L/H > 10$
- $\sigma_u/\gamma \times D = 135/20 \times 33,7 = 0,20$

→ SUM (vekttall, score) = 15
dvs. skredutbredelse maks $L=10 \times H$ (ca. 400m)

NB! Mektighet kvikkleire ift. kritisk glideflate ca. 40 til 45%!

$F_c=1,48$



Snitt 3-3

(med bunnprofil 3)

Fc=1,07: NIFS 2016/14:

- $b/D=0$
- b/D ved $2L_1$ el. $3L_1=0$
- $x_1 < L_1$
- Ravinedal
- Tidl. skred $L/H > 10$
- $s_u/\gamma \times D = 130/20 \times 36 = 0,18$

SUM (vekttall, score) = 12 dvs. skredutbredelse maks $L = 7,5 \times H$ (ca. 250m)

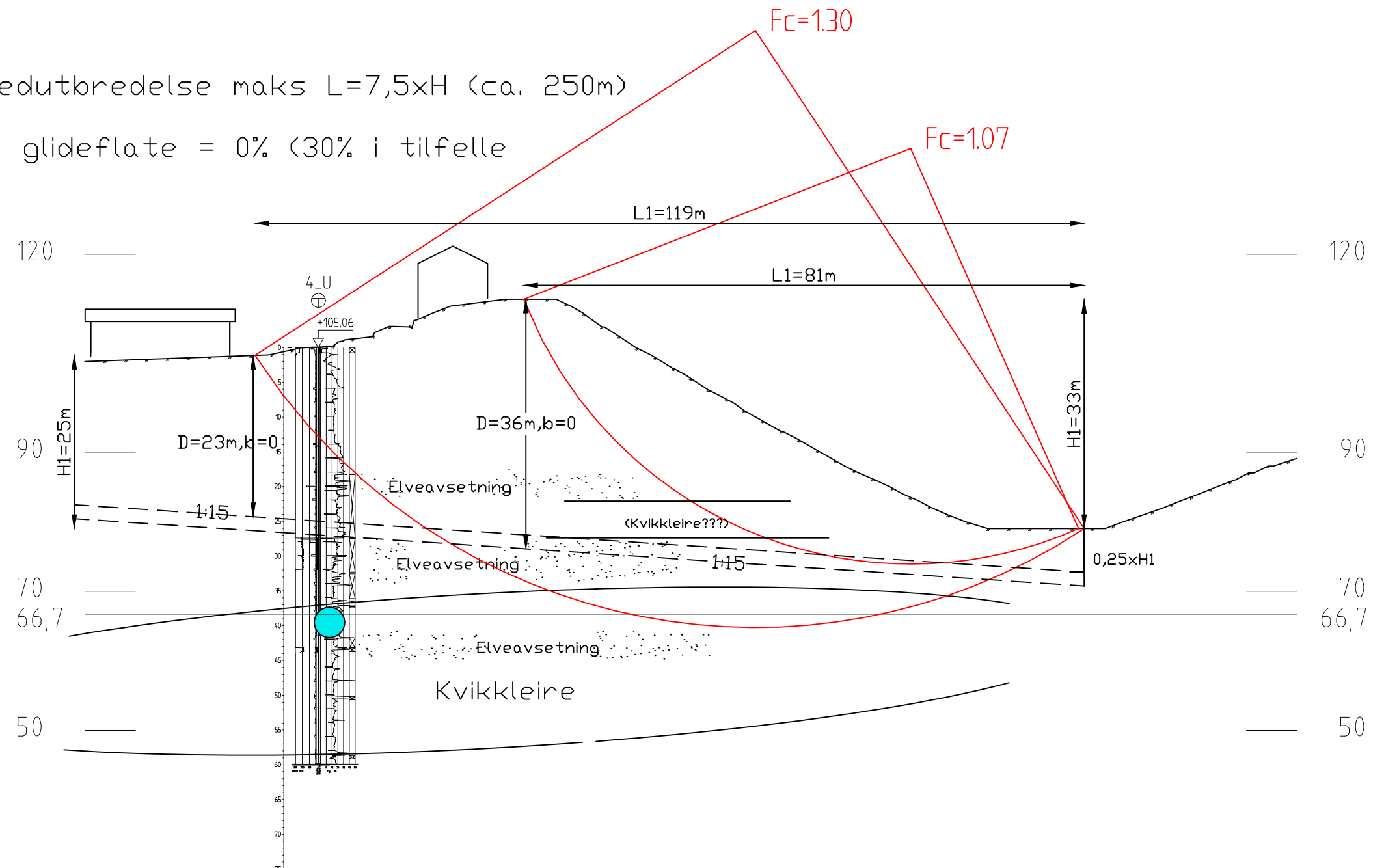
NB! Mektighet kvikkleire ift. kritisk glideflate = 0% (30% i tilfelle høyereleggende kvikkleirelag)!

Fc=1,40: NIFS 2016/14:

- $b/D=0$
- b/D ved $2L_1$ el. $3L_1=0$
- $x_1 < L_1$
- Ravinedal
- Tidl. skred $L/H > 10$
- $s_u/\gamma \times D = 105/20 \times 25 = 0,18$

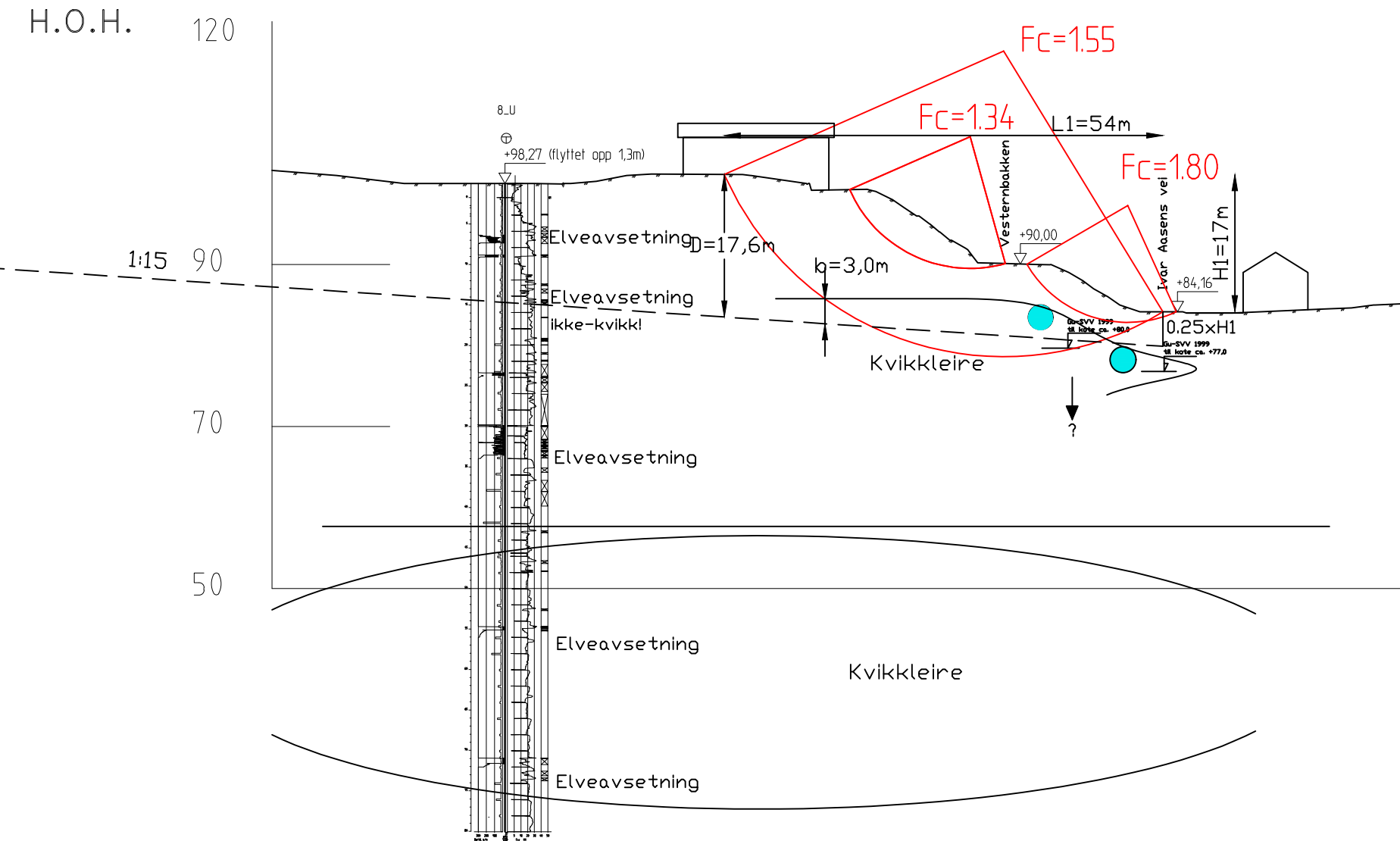
SUM (vekttall, score) = 12 dvs. skredutbredelse maks $L = 7,5 \times H$ (ca. 250m)

NB! Mektighet kvikkleire ift. kritisk glideflate 10 til 15%, dvs. retrogresivt skredutvikling usannsynlig. Flakskred usannsynlig pga. at kvikkleirelag ikke parallelt med terreng.



Snitt 4-4

Rev.	Endring - erstatning	Date	Sign.
Oppdragsgiver:			Tegn. nr. V07b
Ringerike kommune			
Prosjekt:			Geoteknisk utredning - faresone 867 "Støalandet"
Tema:			Mål: 1:700
Kommune:			Format: A3
ØVRE ROMERIKE PROSJEKTERING A/S			Dato: 18.2.2019
			Sak nr. 04018H
Storgt. 11a, 2051 JESSHEIM			Saksb./tegn. MW
Tlf. 63 94 24 40			Internett: www.orp.no
			Kontr.



$F_c=1,55$: NIFS 2016/14:

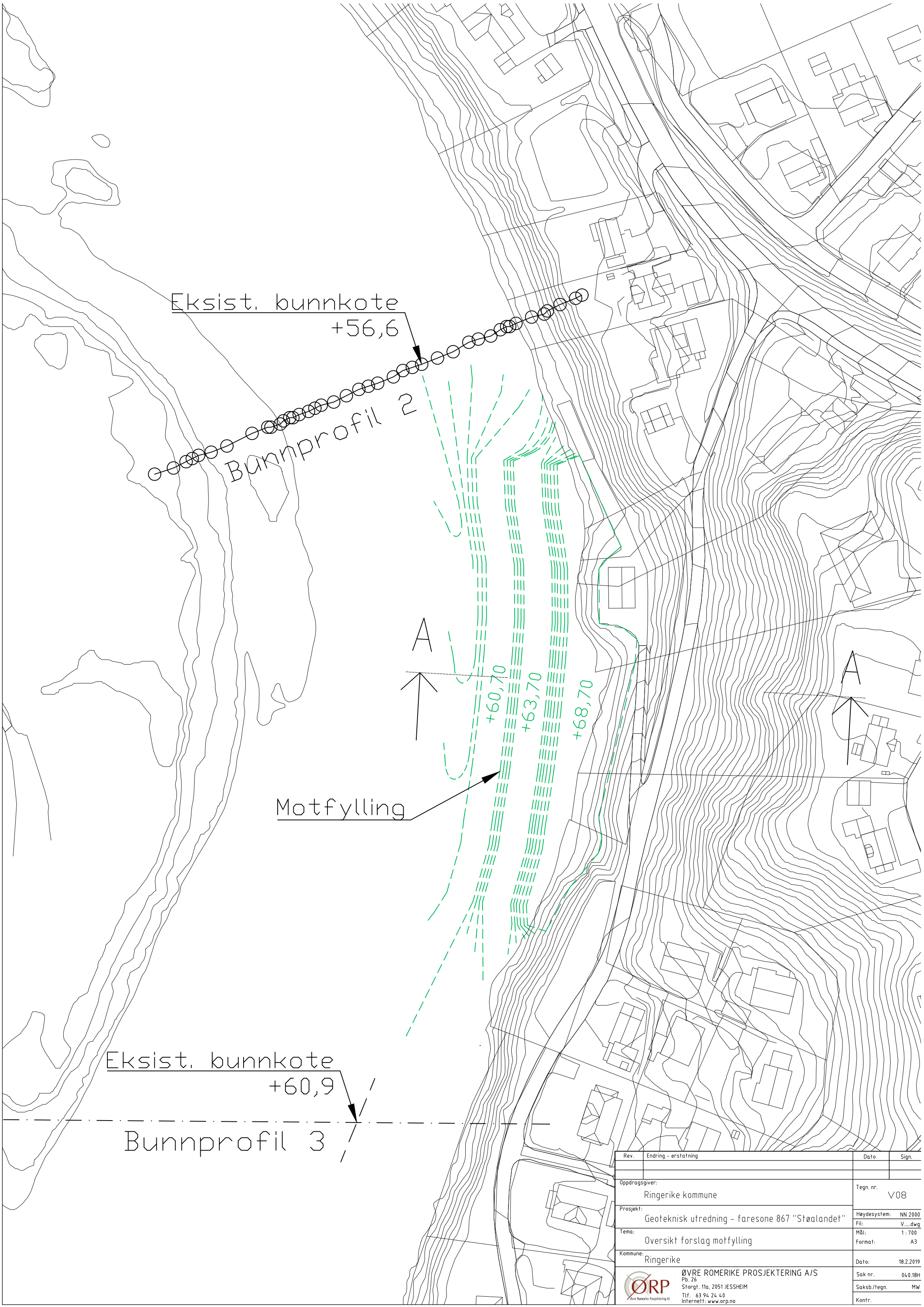
- $b/D=0,17$
- b/D ved 2L1 el. 3L1=0
- $x_1 < L_1$
- Fritt utløp
- Tidl. skred $L/H > 10$
- $s_u/\gamma \max D = 96/20 \times 17,6 = 0,27$

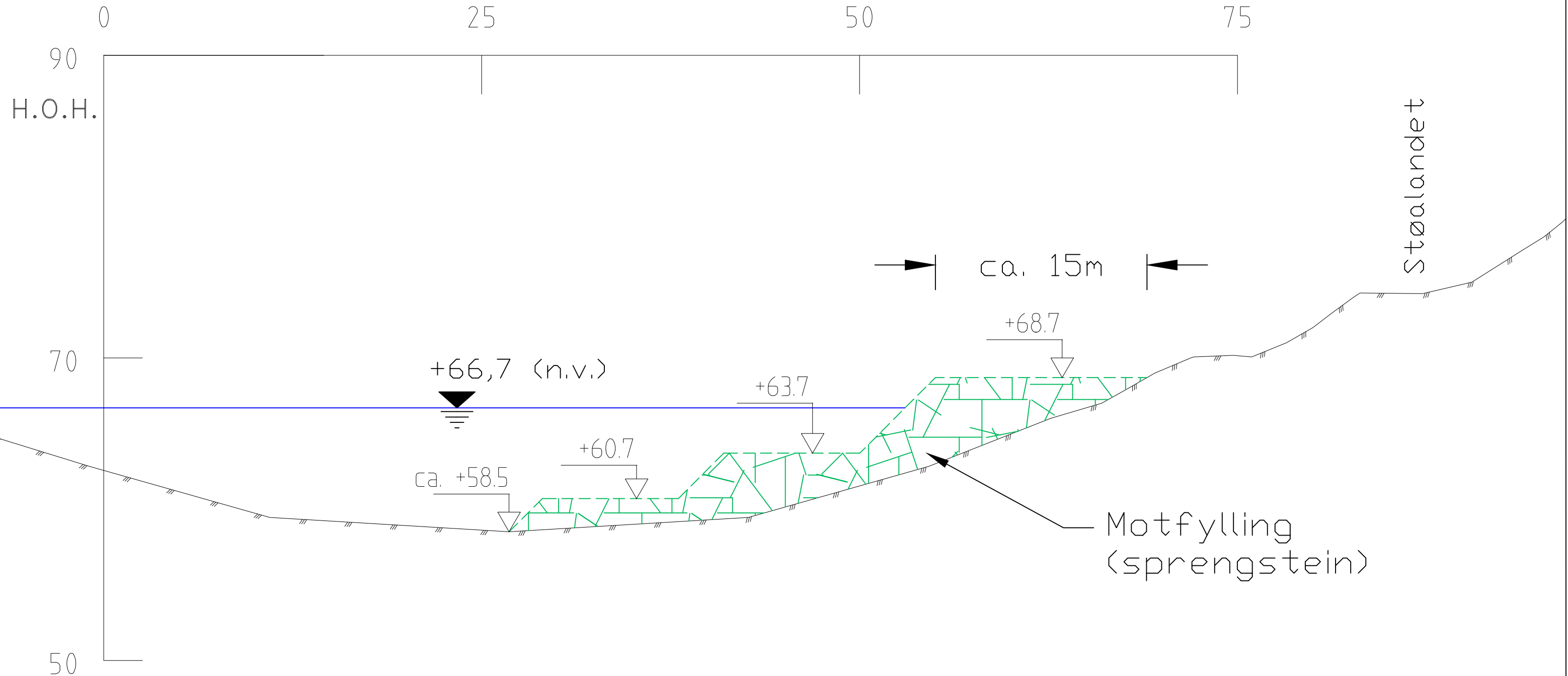
SUM (vekttall, score)= 14 dvs.
skredutbredelse maks $L=8,3 \times H$ (ca. 150m)

NB! Mektighet kvikkkleire ift. kritisk glideflate 25 til 30%, dvs. retrogresivt skredutvikling usannsynlig. Flakskred usannsynlig pga. at kvikkkleirelag ikke parallelt med terreng.

Snitt 5-5

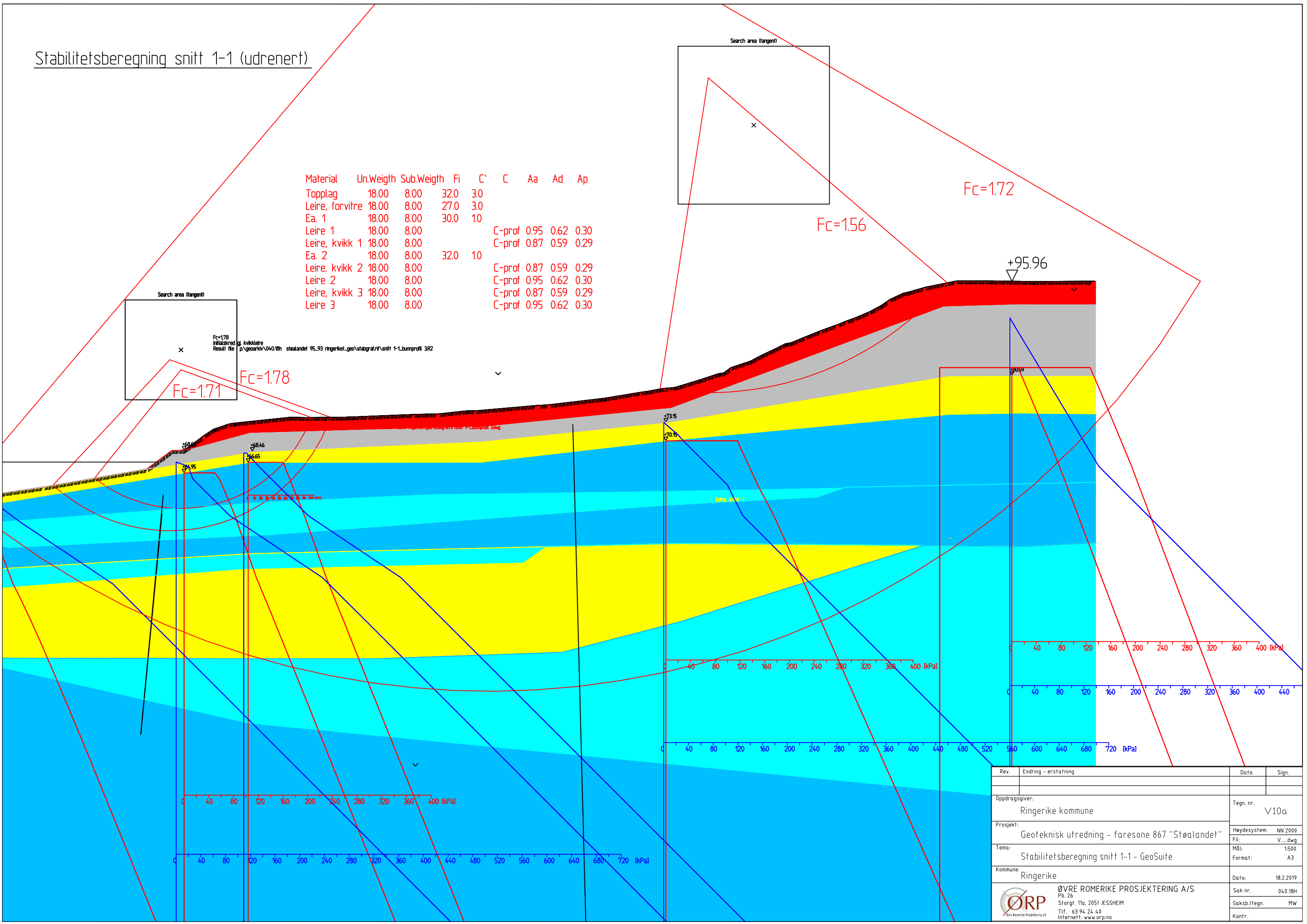
Rev.	Endring - erstatning	Date	Sign.
Oppdragsgiver:			Tegn. nr. V07b
Ringerike kommune			
Prosjekt:			Geoteknisk utredning - faresone 867 "Støalandet"
Tema:			Mål: 1:700 Format: A3
Kommune:			Dato: 18.2.2019
ØVRE ROMERIKE PROSJEKTERING A/S			
Sak nr.: 040.18H			
Saksb/tregn. MW			
Tlf. 63 94 24 40 Internett: www.orp.no			Kontr.





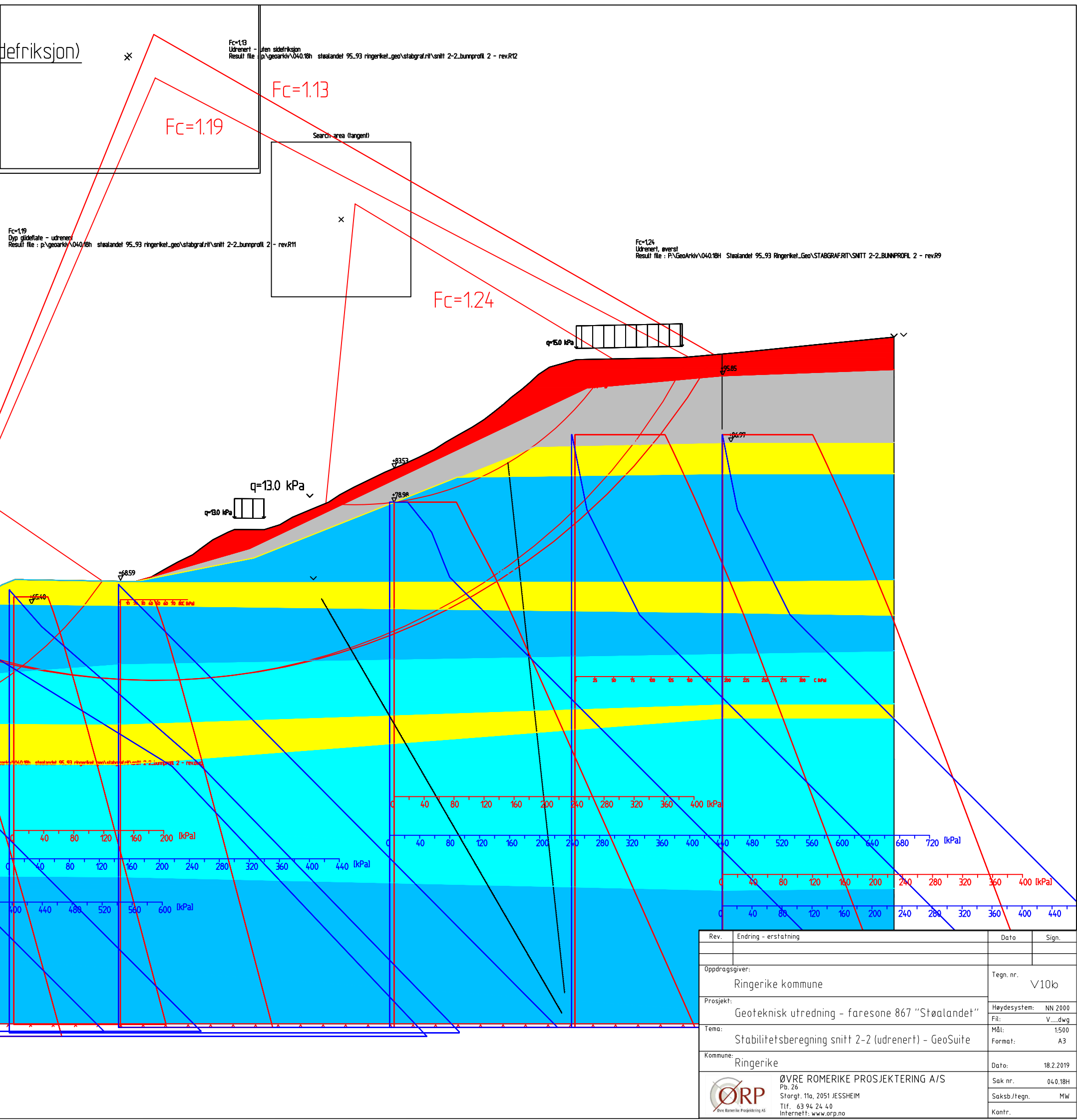
Rev.	Endring - erstatning	Date	Sign.
Oppdragsgiver:	Ringerike kommune	Tegn. nr.	V09
Prosjekt:	Geoteknisk utredning - faresone 867 "Støalandet"	Høydesystem:	NN 2000
Tema:	Snitt forslag motfylling	Filt:	V....dwg
Kommune:	Ringerike	Mål:	1:250
		Format:	A3
		Dato:	18.2.2019
ØVRE ROMERIKE PROSJEKTERING A/S		Sak nr.	040.18H
Storgt. 11a, 2051 JESSHEIM		Saksb./tegn.	MW
Tlf. 63 94 24 40		Internet:	www.orp.no
Øvre Romerike Prosjektering AS		Kontr.	

Stabilitetsberegning snitt 1-1 (udrenert)



Stabilitetsberegning snitt 2-2 (udrenert - med/uten sidefriksjon)

Material	Un.Weight	Sub.Weigth	Fi	C'	C	Aa	Ad	Ap
Topplag	21.00	11.00	32.0	3.0				
Forvitlingslag	20.00	10.00	28.0	5.0				
Ea. 1	19.00	9.00	30.0	1.0				
Leire 1	19.50	9.50			C-prof 0.95	0.62	0.30	
Ea. 2	19.00	9.00	32.0	1.0				
Leire 2	20.00	10.00			C-prof 0.95	0.62	0.30	
Leire, kvikk 1	19.00	9.00			C-prof 0.87	0.59	0.29	
Ea. 3	19.00	9.00	34.0	1.0				
Leire, kvikk 2	19.00	9.00			C-prof 0.87	0.59	0.29	
Leire 3	20.00	10.00			C-prof 0.95	0.62	0.30	



Fc $\varphi=1.08$
Drenert - uten sidefriksjon
Result file : P:\GeoArkiv\040.18H\Stølandet 95_93 Ringerike_Geo\STABGRAFRIT\SNITT 2-2_BUNNPROFIL 2 - rev - drenertR13

Fc $\varphi=1.12$
drenert dyp glideflate
Result file : P:\GeoArkiv\040.18H\Stølandet 95_93 Ringerike_Geo\STABGRAFRIT\SNITT 2-2_BUNNPROFIL 2 - revR7

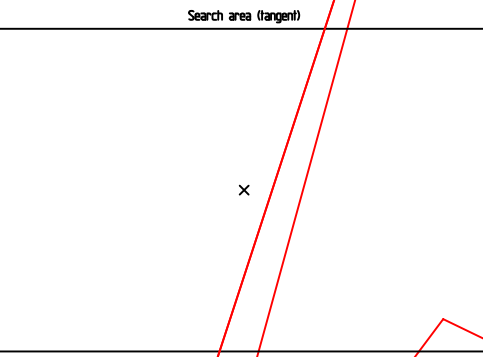
Stabilitetsberegning snitt 2-2 (drenert - med/uten sidefriksjon)

Material	Un.Weight	Sub.Weight	Fi	C'	C	Aa	Ad	Ap
Topplag	21.00	11.00	32.0	3.0				
Forvittringslag	20.00	10.00	28.0	5.0				
Ea. 1	19.00	9.00	30.0	1.0				
Leire 1	19.50	9.50	27.0	4.0				
Ea. 2	19.00	9.00	32.0	1.0				
Leire 2	20.00	10.00	28.0	5.0				
Leire, kvikk 1	19.00	9.00	27.0	4.0				
Ea. 3	19.00	9.00	34.0	1.0				
Leire, kvikk 2	19.00	9.00	27.0	4.0				
Leire 3	20.00	10.00	27.0	4.0				

Fc $\varphi=1.08$

Fc $\varphi=1.12$

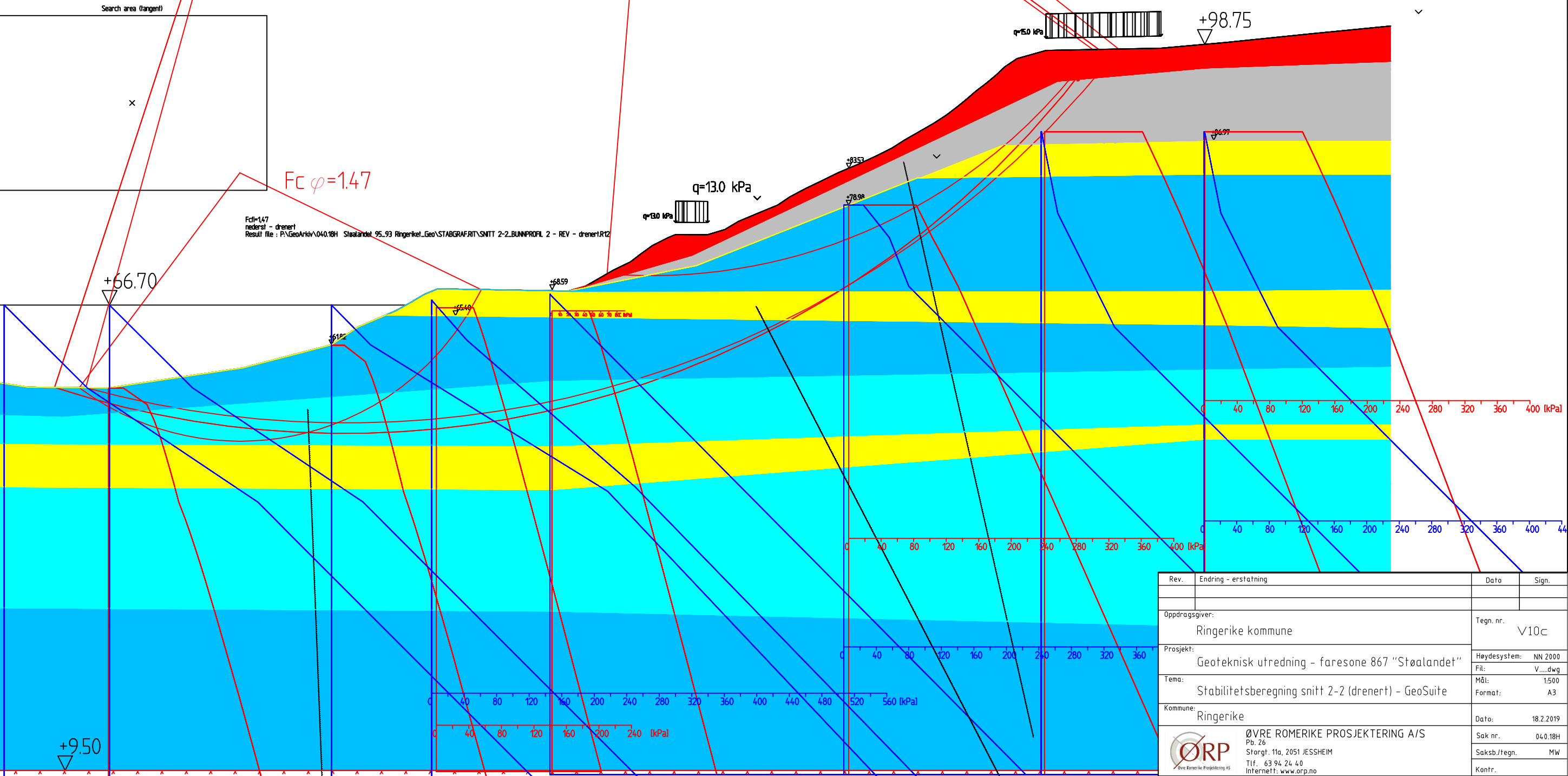
Fc $\varphi=1.07$
Drenert, øverst
Result file : P:\GeoArkiv\040.18H\Stølandet 95_93 Ringerike_Geo\STABGRAFRIT\SNITT 2-2_BUNNPROFIL 2 - revR8



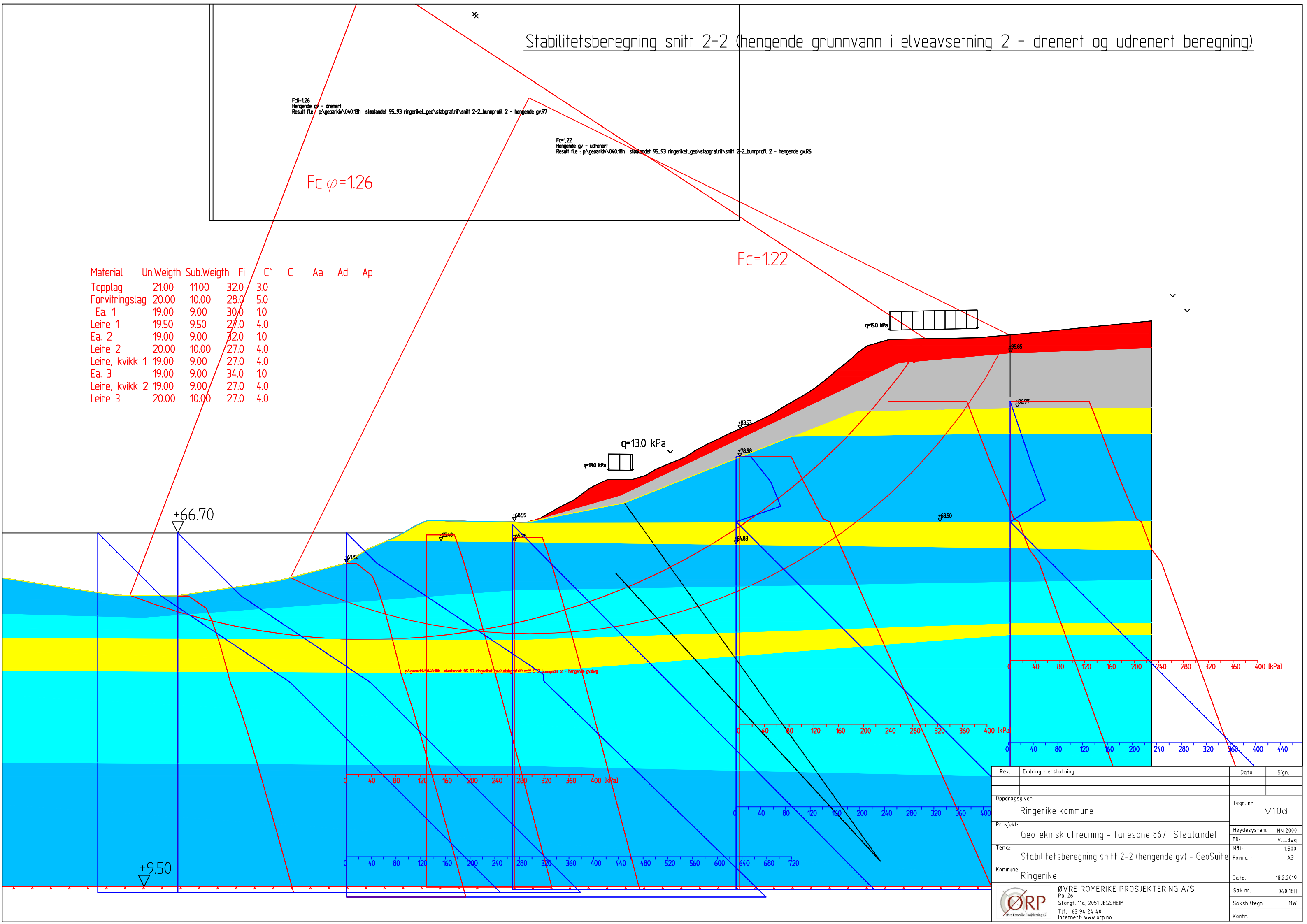
Fc $\varphi=1.07$

Fc $\varphi=1.47$

Fc $\varphi=1.47$
nederst - drenert
Result file : P:\GeoArkiv\040.18H\Stølandet 95_93 Ringerike_Geo\STABGRAFRIT\SNITT 2-2_BUNNPROFIL 2 - REV - drenertR12



Stabilitetsberegning snitt 2-2 (hengende grunnvann i elveavsetning 2 - drenert og udrenert beregning)



~~Stabilitetsberegning snitt 2-2 (motfylling/stabilitetsforbedring - drenert og udrenert beregning - med sidefriksjon)~~

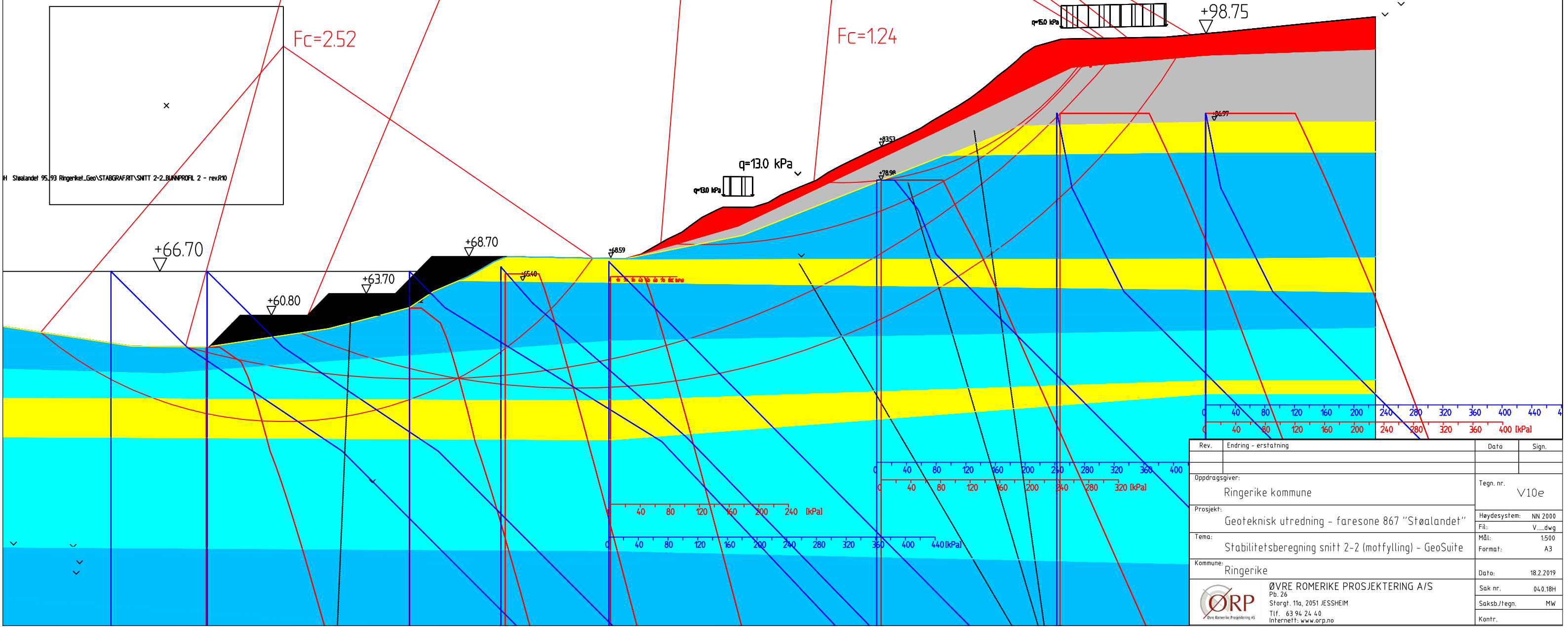
Fcf1=1,12
drenert dyp glideflate
Filenavn: P:\GeoArkiv\040.18H_Straalandet_95_93_Ringenkjet_Geo\STABGRAFRIT\SNITT 2-2_BUNNPROFIL 2 - rev

~~18
Fc:118
Udrenert beregning
Result file : P:\GeoArkv\040.10H Stølandef 95_93 Ringerikef_Geo\STABGRAFRIT\SNITT 2-2_BUNNPROFIL 2 -~~

Fcf=1,07
Drentel, overst
Result file - P:\GenArkiv\0401RH_Stealandet_95_93_Rinnerket_Gen\STARGRAF.RIT\SNITT_2-2_BUNNPROfil_2 - revRPT

$$Fc \varphi = 1.07$$

| Fc=1.24

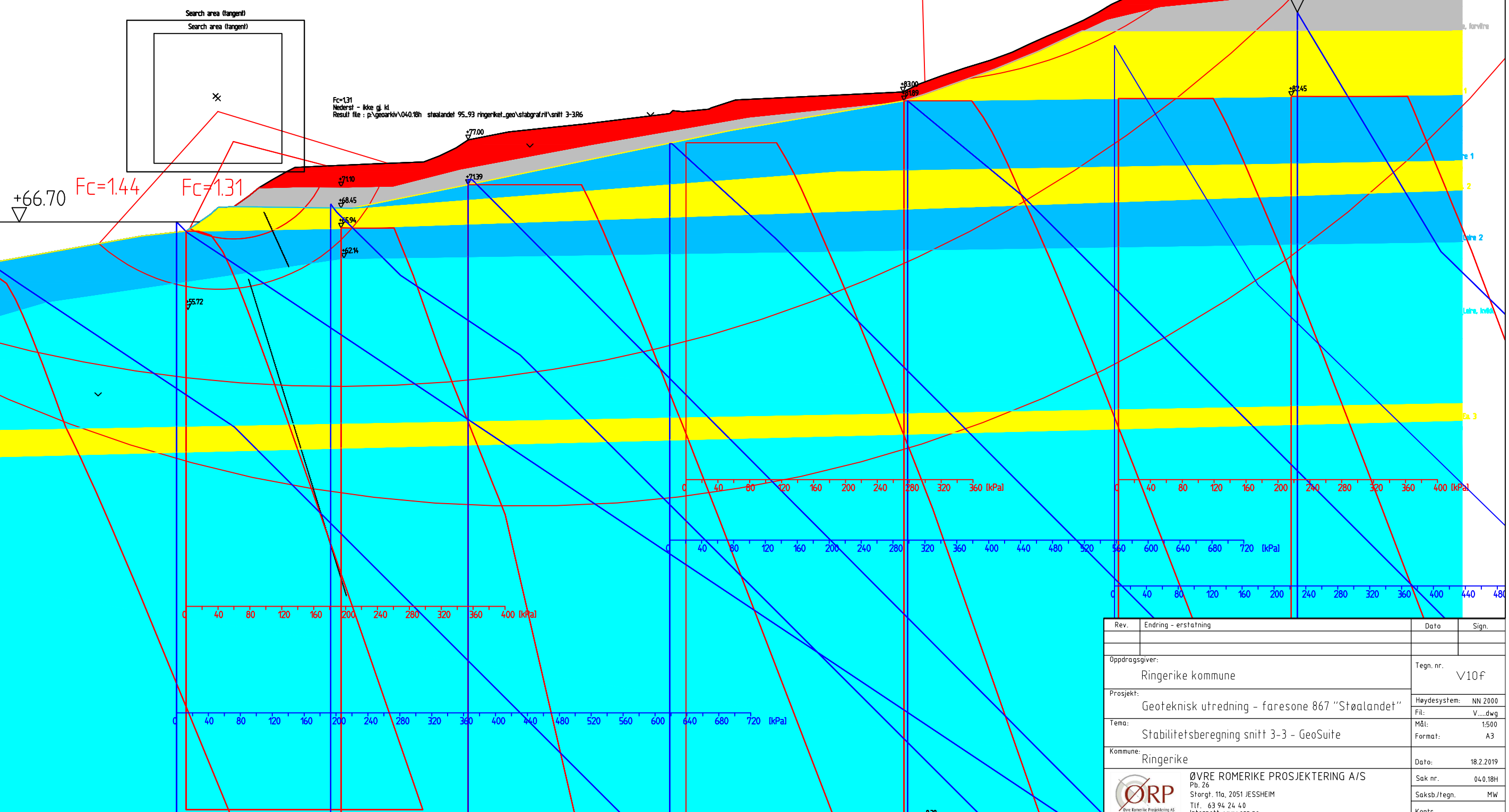


Stabilitetsberegning snitt 3-3 (drenert/udrenert)

$$F_c = 1.48$$

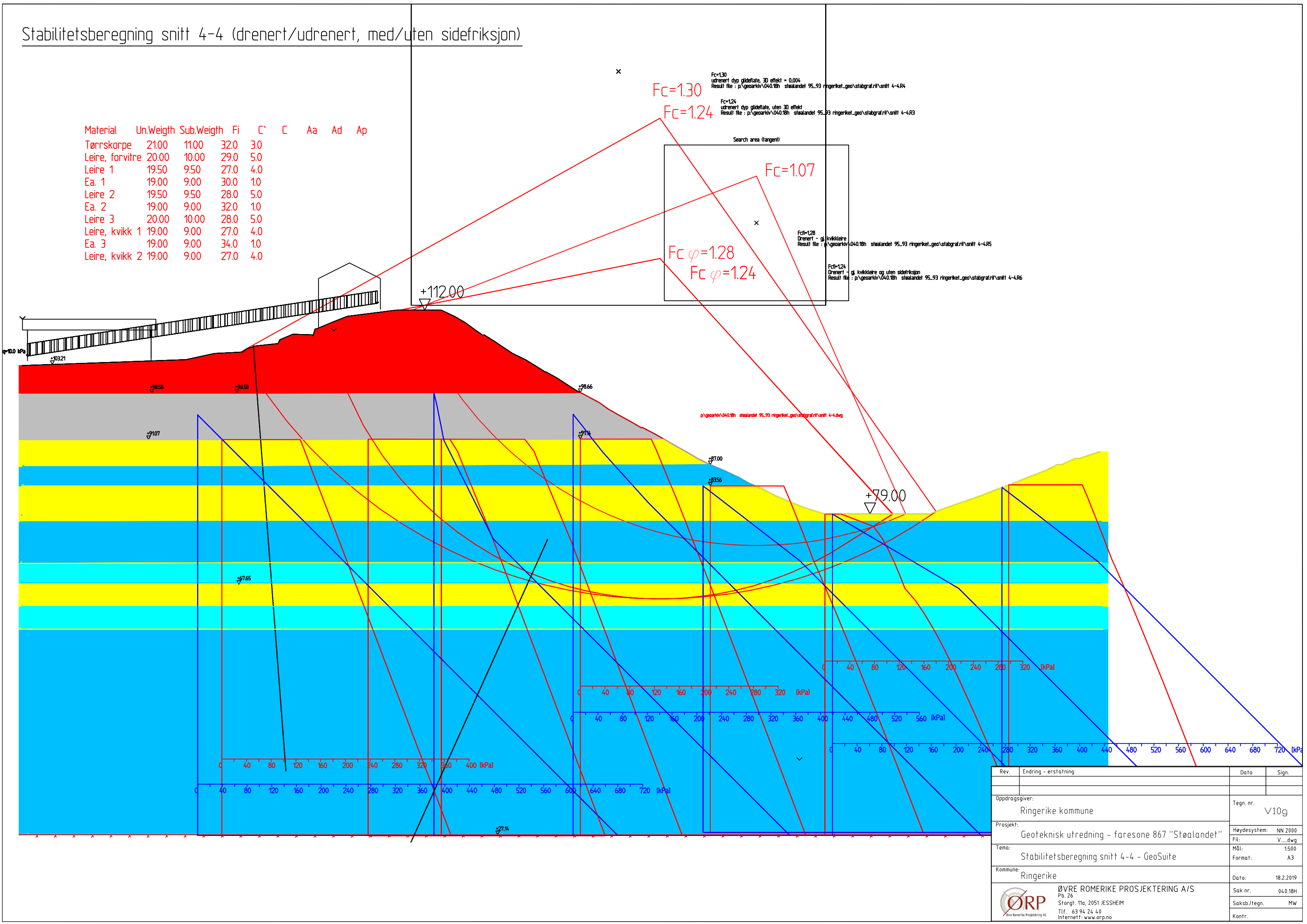
Result file : p:\geoarkiv\040.18h_stoalandet_95_93_ringerike_geo\stabgraf.nl\snitt 3

Material	Un.Weight	Sub.Weight	Fi	C'	C	Aa	Ad	A
Tørrskorpe	21.00	11.00	32.0	3.0				
Leire, forvitre	20.00	10.00	28.0	5.0				
Ea. 1	19.00	9.00	30.0	1.0				
Leire 1	19.50	9.50			C-prof	0.95	0.62	0
Ea. 2	19.00	9.00	32.0	1.0				
Leire 2	20.00	10.00			C-prof	0.95	0.62	0
Leire, kvikk	19.00	9.00			C-prof	0.87	0.59	0
Ea. 3	19.00	9.00	34.0	1.0				
Leire, kvikk 2	19.00	9.00			C-prof	0.87	0.59	0

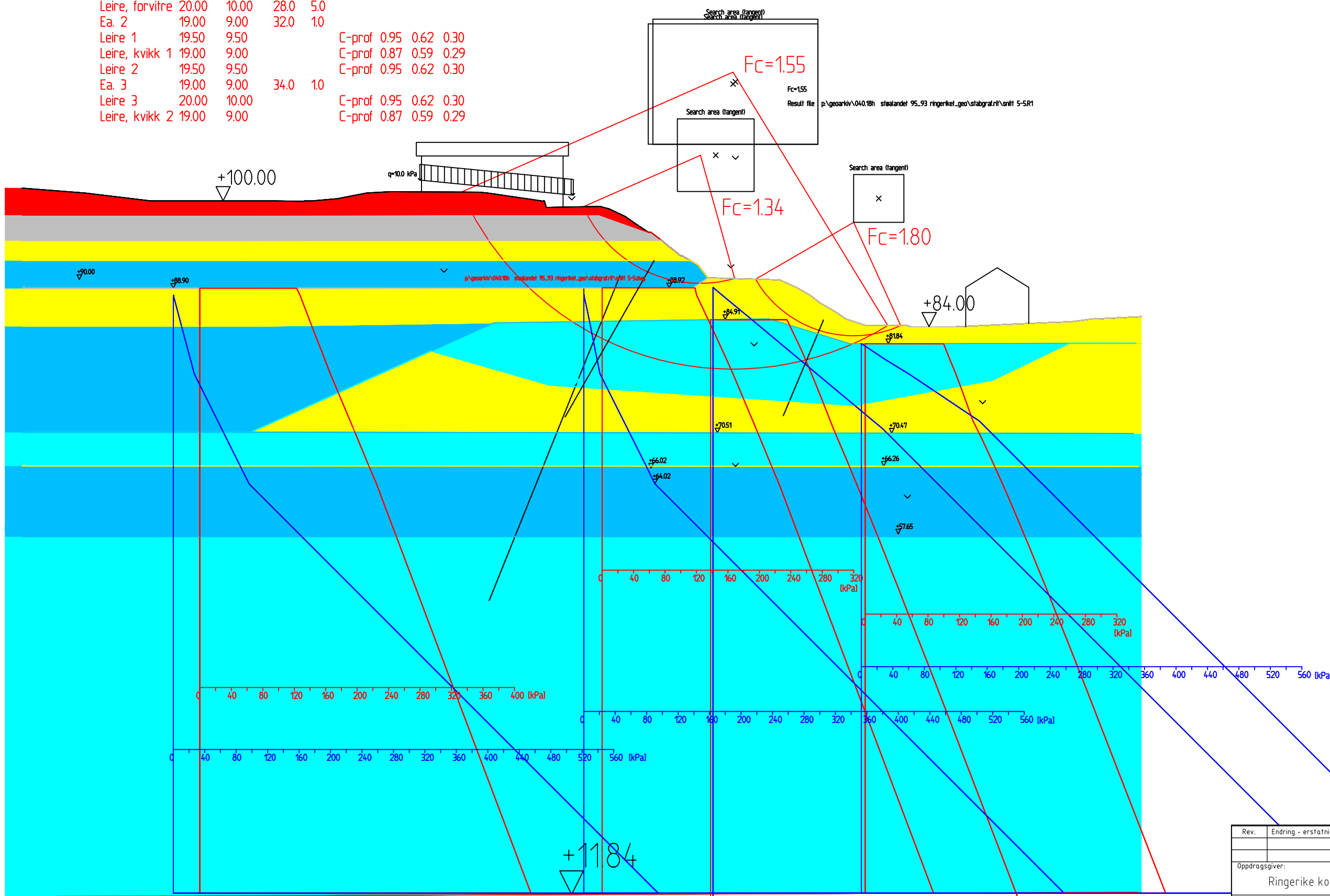


Stabilitetsberegning snitt 4-4 (drenert/udrenert, med/uten sidefriksjon)

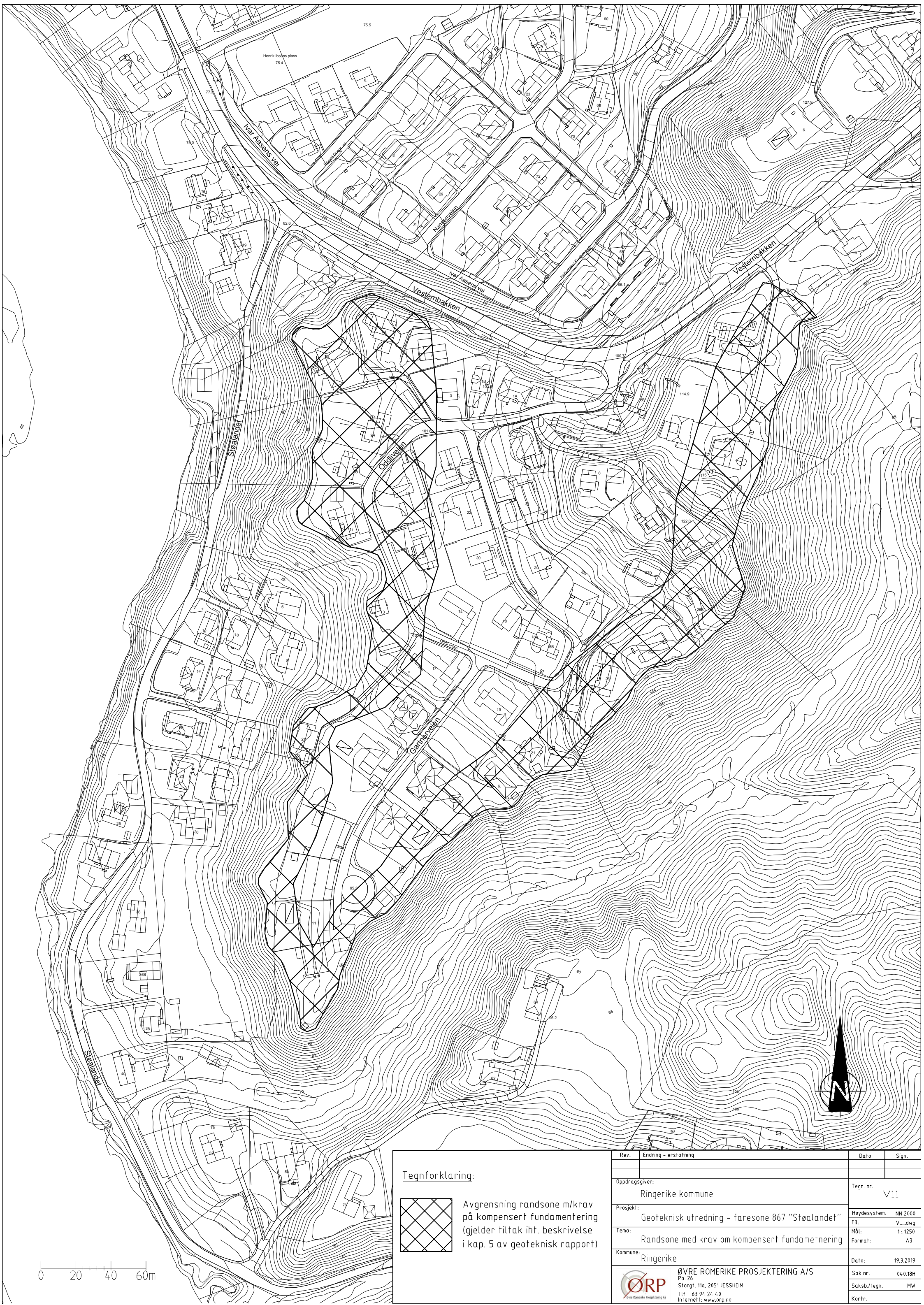
Material	Un.Weigth	Sub.Weigth	Fi	C'	C	Aa	Ad	Ap
Tørskorpe	21.00	11.00	32.0	3.0				
Leire, forvitre	20.00	10.00	29.0	5.0				
Leire 1	19.50	9.50	27.0	4.0				
Ea. 1	19.00	9.00	30.0	1.0				
Leire 2	19.50	9.50	28.0	5.0				
Ea. 2	19.00	9.00	32.0	1.0				
Leire 3	20.00	10.00	28.0	5.0				
Leire, kvikk 1	19.00	9.00	27.0	4.0				
Ea. 3	19.00	9.00	34.0	1.0				
Leire, kvikk 2	19.00	9.00	27.0	4.0				



Material	Un.Weight	Sub.Weight	Fi	C'	C	Aa	Ad	Ap
Tørskorpe	21.00	11.00	32.0	3.0				
Leire, forvitre	20.00	10.00	28.0	5.0				
Ea. 1	19.00	9.00	30.0	1.0				
Leire, forvitre	20.00	10.00	28.0	5.0				
Ea. 2	19.00	9.00	32.0	1.0				
Leire 1	19.50	9.50	C-prof 0.95	0.62	0.30			
Leire, kvikk 1	19.00	9.00	C-prof 0.87	0.59	0.29			
Leire 2	19.50	9.50	C-prof 0.95	0.62	0.30			
Ea. 3	19.00	9.00	34.0	1.0				
Leire 3	20.00	10.00	C-prof 0.95	0.62	0.30			
Leire, kvikk 2	19.00	9.00	C-prof 0.87	0.59	0.29			

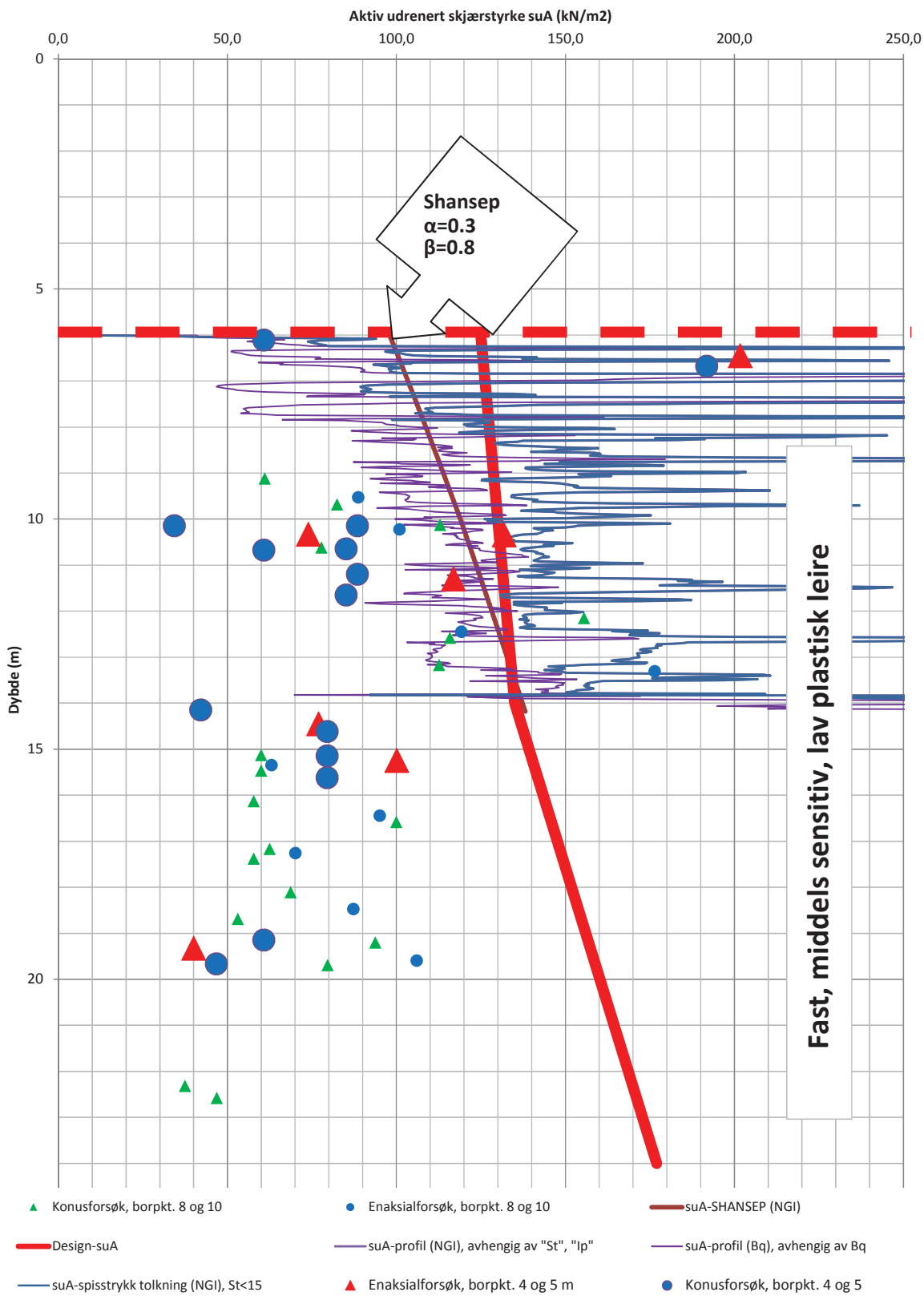


Stabilitetsberegning snitt 5-5 (udrenert)



Vedlegg 1

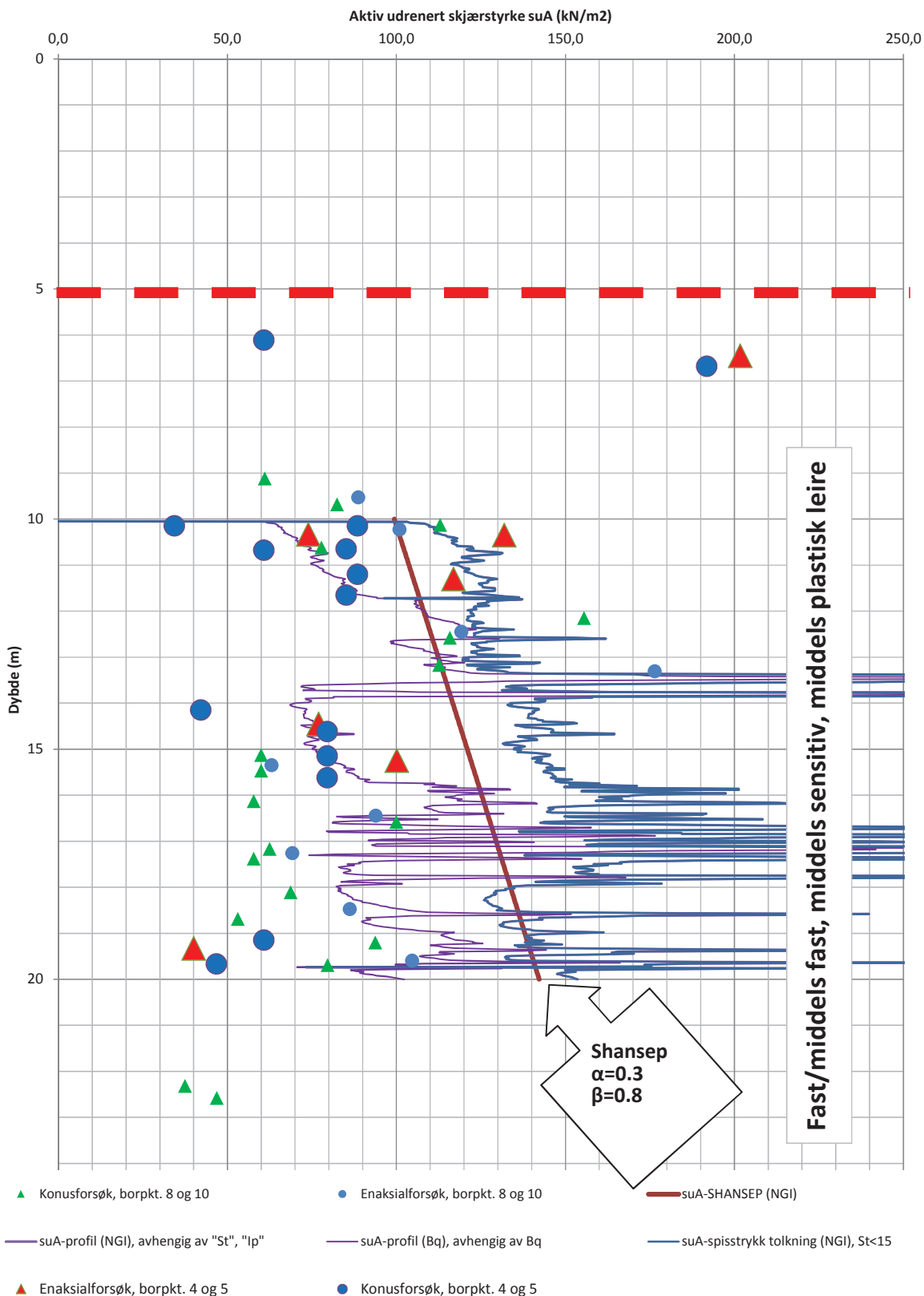
Utredning kl-sone 867 "Støalandet", CPTU borhull 4_U



Prosjekt:	Støalandet		Sted:	kl-sone "Støalandet"	
Oppdragsnr.:	040,.18H	Dato sondering:	12.12.2018	Kommune:	Ringerike
CPTU-/hull nr.:	4	Sonde nr.:	4712	Borfirma:	RGB
Tegnet:	MW	Dato:	23.jan.19	Temperatur:	
Kontrollert:		Bilgagsnr.:		Kote:	105,00
Versjon:		Titel:	Tolkning aktiv udrernt skjærstyrke		
Revisjon:	0	Filpllassering:			

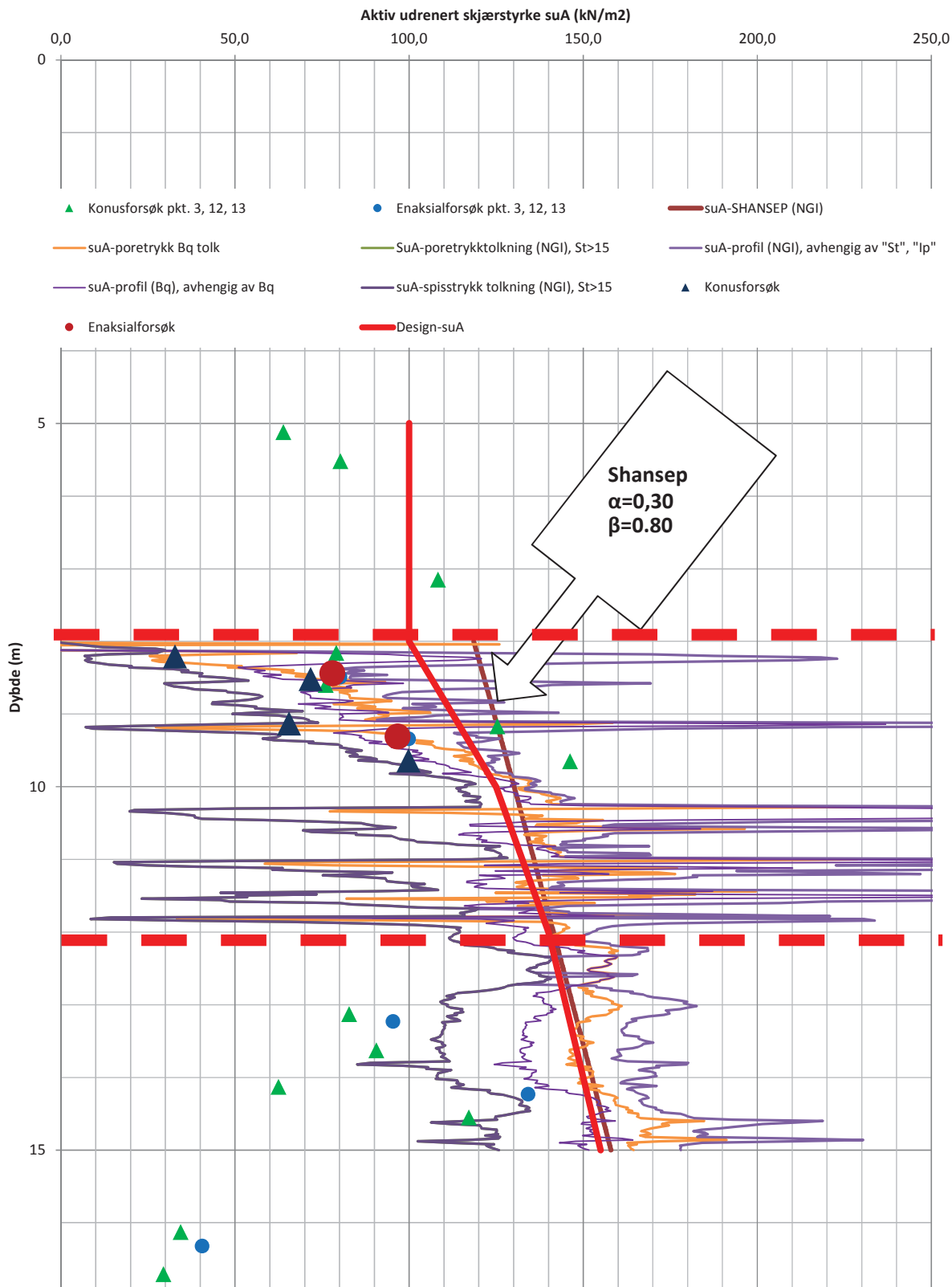
ØRP
Øvre Romerike Prosjektering AS

Utredning kl-sone 867 "Støalandet", CPTU borhull 5_U



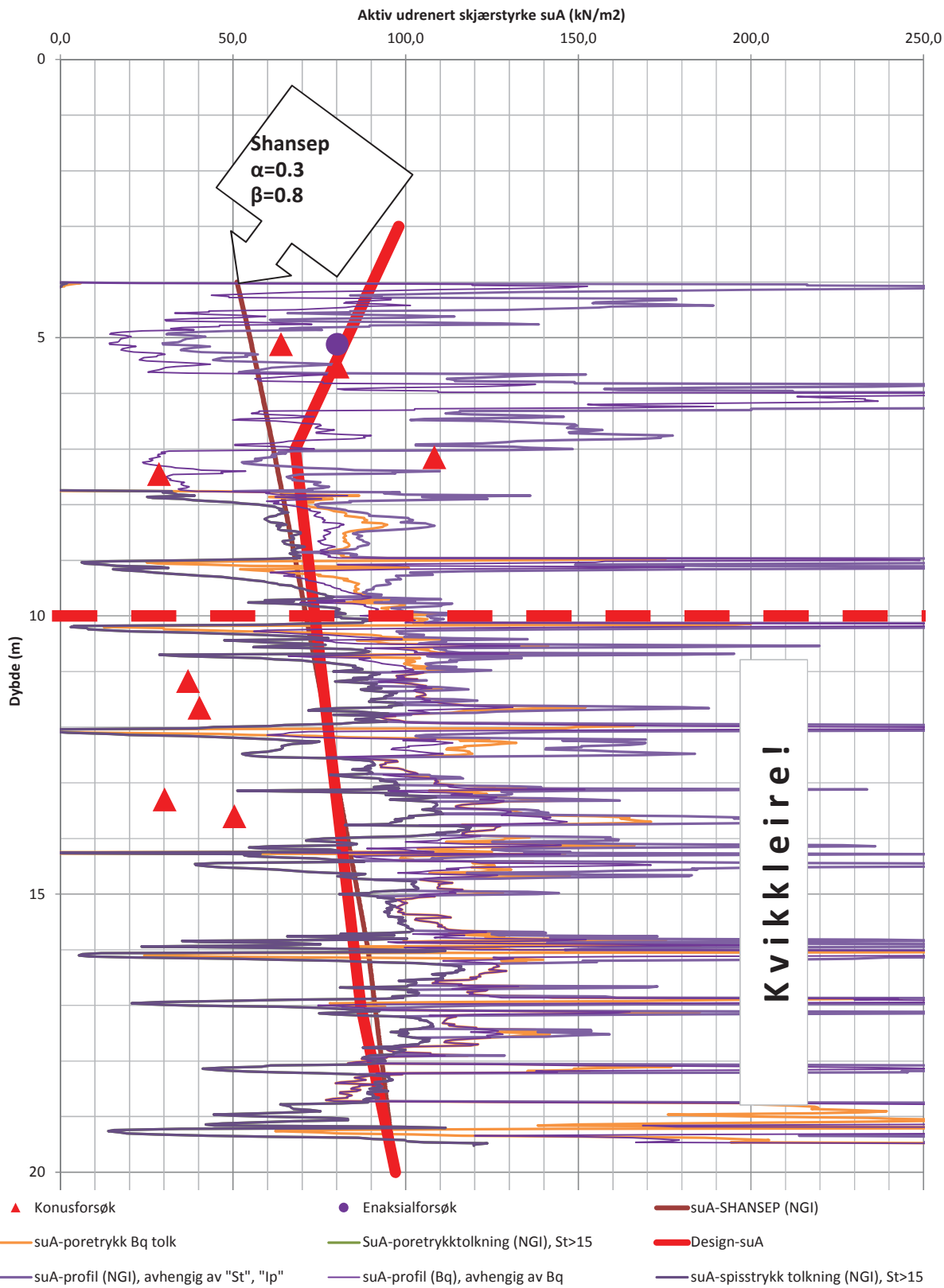
Prosjekt: Støalandet		Sted: kl-sone "Støalandet"	 ØRP <small>Ovre Romerike Prosjektering AS</small>
Oppdragsnr.: 040.18H	Dato sondering: 13.12.2018	Kommune: Ringerike	
CPTU-/hull nr.: 5	Sonde nr.: 4712	Borfirma: RGB	
Tegnet: MW	Dato: 23.jan.19	Oppdragsgiver: Ringerike kommune	
Kontrollert:	Bilgagsnr.:	Temperatur:	
Versjon:	Titel: Tolkning aktiv udrenert skjærstyrke	Kote:	118,70
Revisjon:	Filpllassering:		

Utredning kl-sone 867 "Støalandet", CPTU borhull 11_U



Prosjekt: Støalandet		Sted: kl-sone 867 "Støalandet"	Ringerike RGB AS Ringerike kommune	 Øvre Romerike Prosjektering AS
Oppdragsnr.: 040.18h	Dato sondering: 11.12.2018	Kommune: Ringerike		
CPTU-/hull nr.: 11	Sonde nr.: 4712	Bor firma: RGB AS		
Tegnet: MW	Dato: 23.jan.19	Oppdragsgiver: Ringerike kommune		
Kontrollert:	Bilgagsnr.:	Temperatur:		
Versjon:	Titel: Tolkning aktiv udrenert skjærstyrke	Kote:	78,40	
Revisjon:	0 Filplassering:			

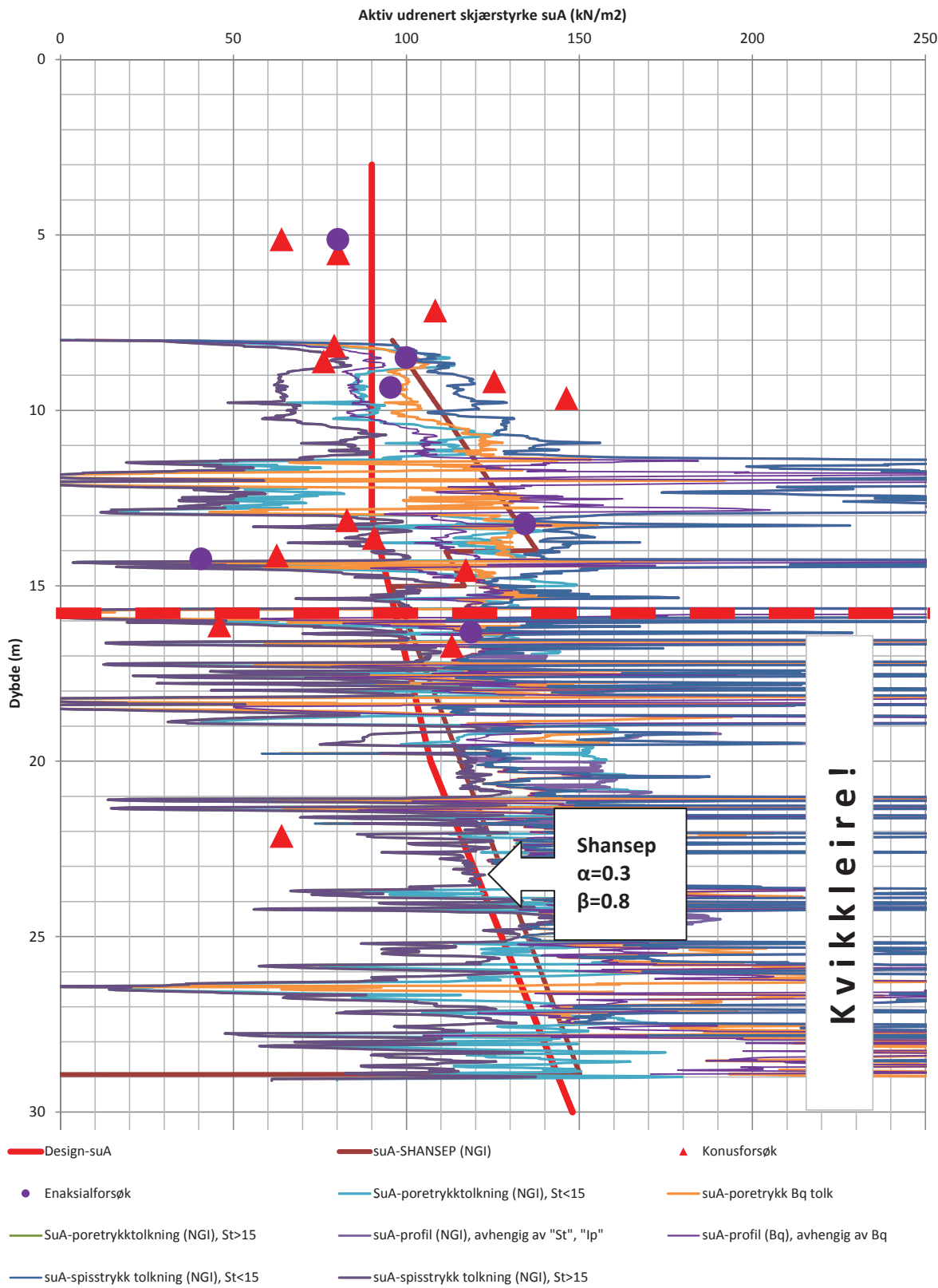
Utredning kl-sone 867 "Støalandet", CPTU borhull 12_U



Prosjekt:	Støalandet		Sted:	kl-sone 867 "Støalandet"		
Oppdragsnr.:	040.18H		Kommune:	Ringerike		
CPTU-/hull nr.:	12		Borfirma:	RGB AS		
Tegnet:	MW	Dato:	10.12.2018	Oppdragsgiver:	Ringerike kommune	
Kontrollert:		Bilgagsnr.:	4712	Temperatur:		
Versjon:		Titel:	Tolkning aktiv udrenert skjærstyrke	Kote:	68,55	
Revisjon:		Filpllassering:				

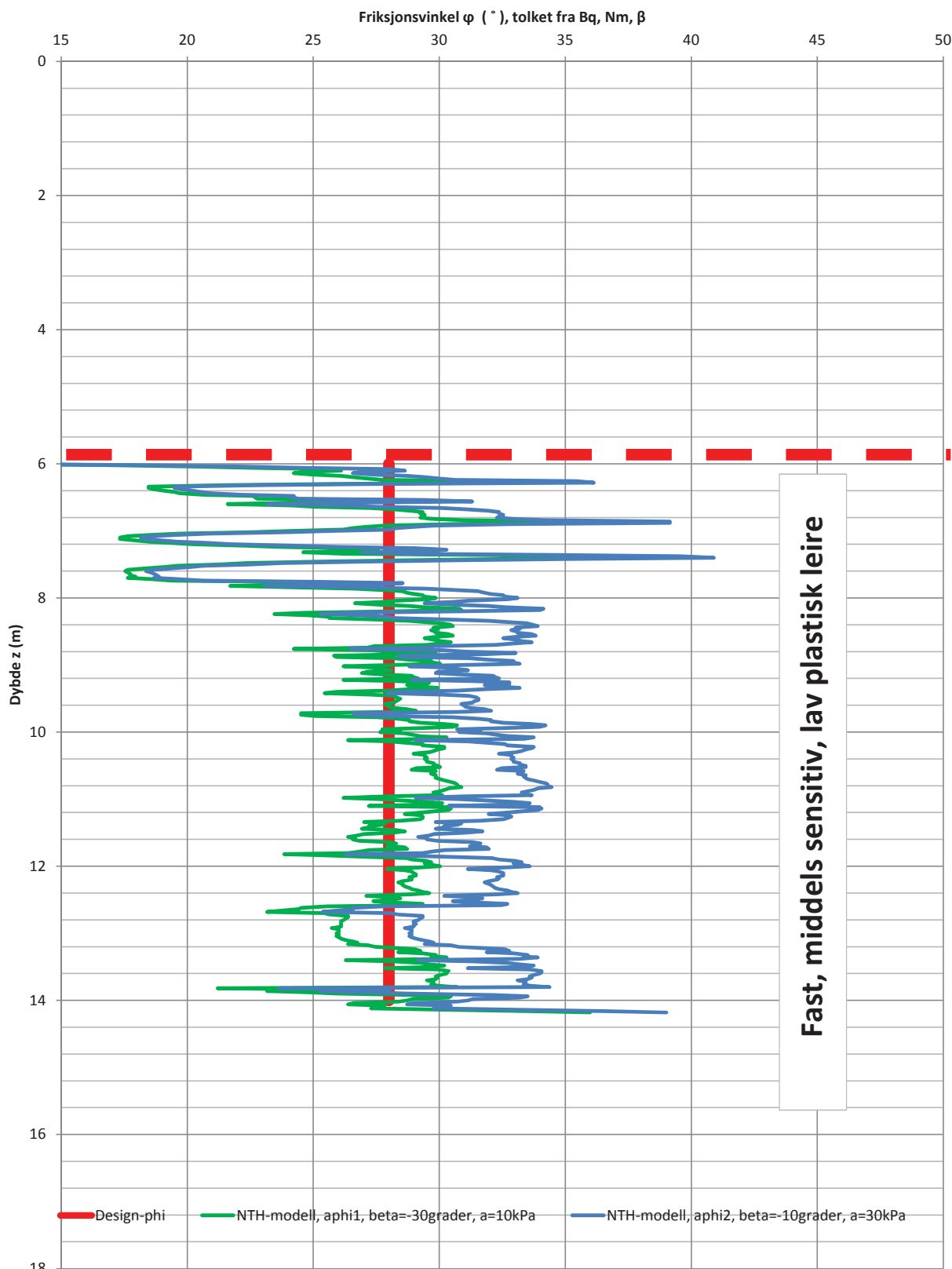
Øvre Romerike Prosjektering AS

Utredning kl-sone 867 "Støalandet", CPTU borhull 13_U



Prosjekt: Støalandet		Sted: kl-sone "Støalandet"			
Oppdragsnr.: 040.18H	Dato sondering: 11.12.2018	Kommune: Ringerike	Borfirma: RGB	Oppdragsgiver: Ringerike kommune	
CPTU-/hull nr.: 13_U	Sonde nr.: 4712				
Tegnet:	MW	Dato: 23.jan.19	Temperatur:		
Kontrollert:		Bilgagsnr.:	Kote:	74,80	
Versjon:		Titel: Tolkning aktiv udrenert skjærstyrke			
Revisjon:	0	Filplassering:			

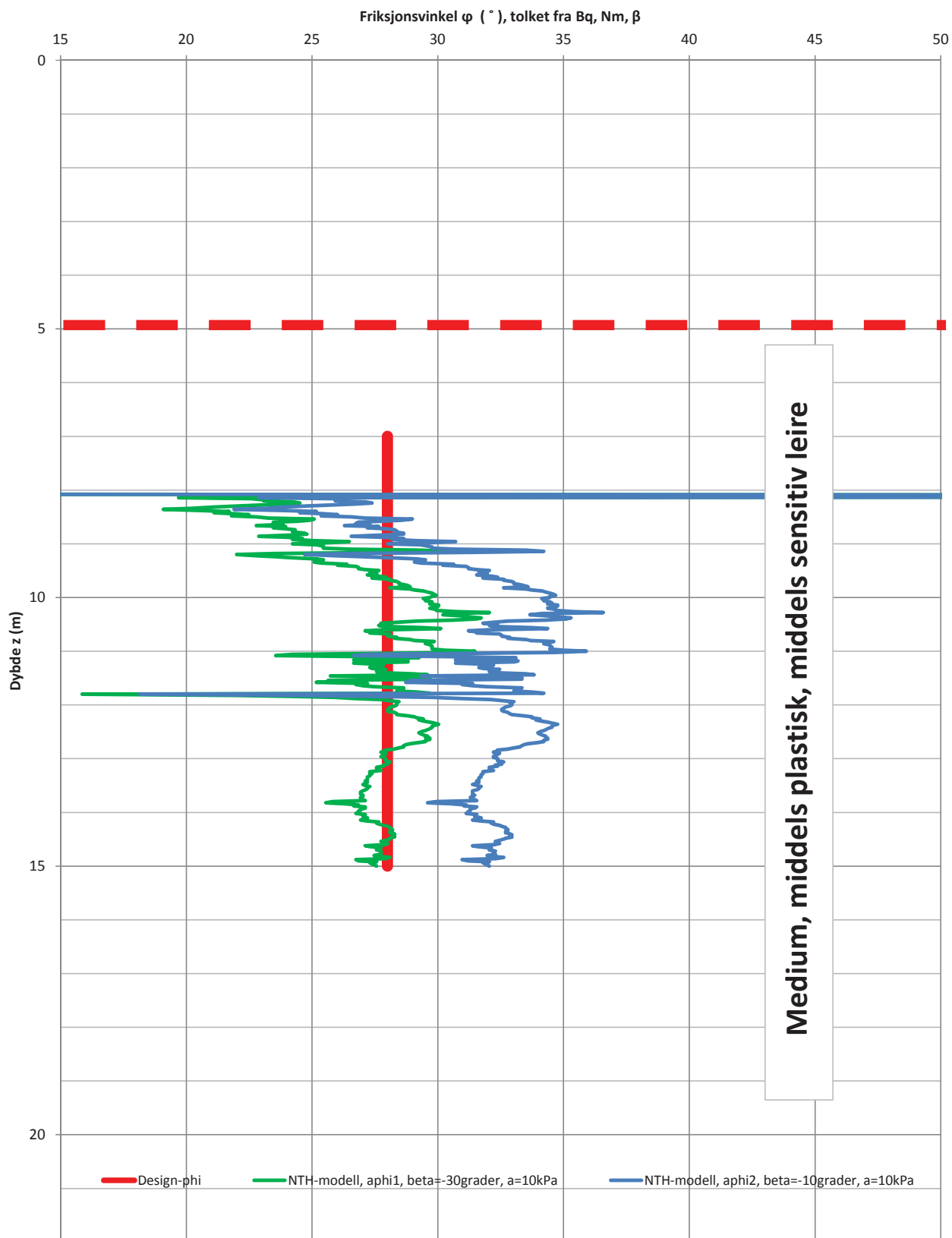
Utredning kl-sone 867 "Støalandet", CPTU borpunkt 4_U



Prosjekt:	Støalandet		Sted:	kl-sone 867 "Støalandet"	
Oppdragsnr.:	040..18H	Dato sondering:	12.12.2018	Kommune:	Ringerike
CPTU-/hull nr.:	4	Sonde nr.:	4712	Borfirma:	Romerike Grunnboring AS
Tegnet:	Marco Wendt	Dato:		Oppdragsgiver:	Ringerike kommune
Kontrollert:		Bilgagsnr.:		Temperatur:	
Versjon:		Titel:	Tolkning friksjonsvinkel	Kote:	105,00
Revisjon:		Filpllassering:			

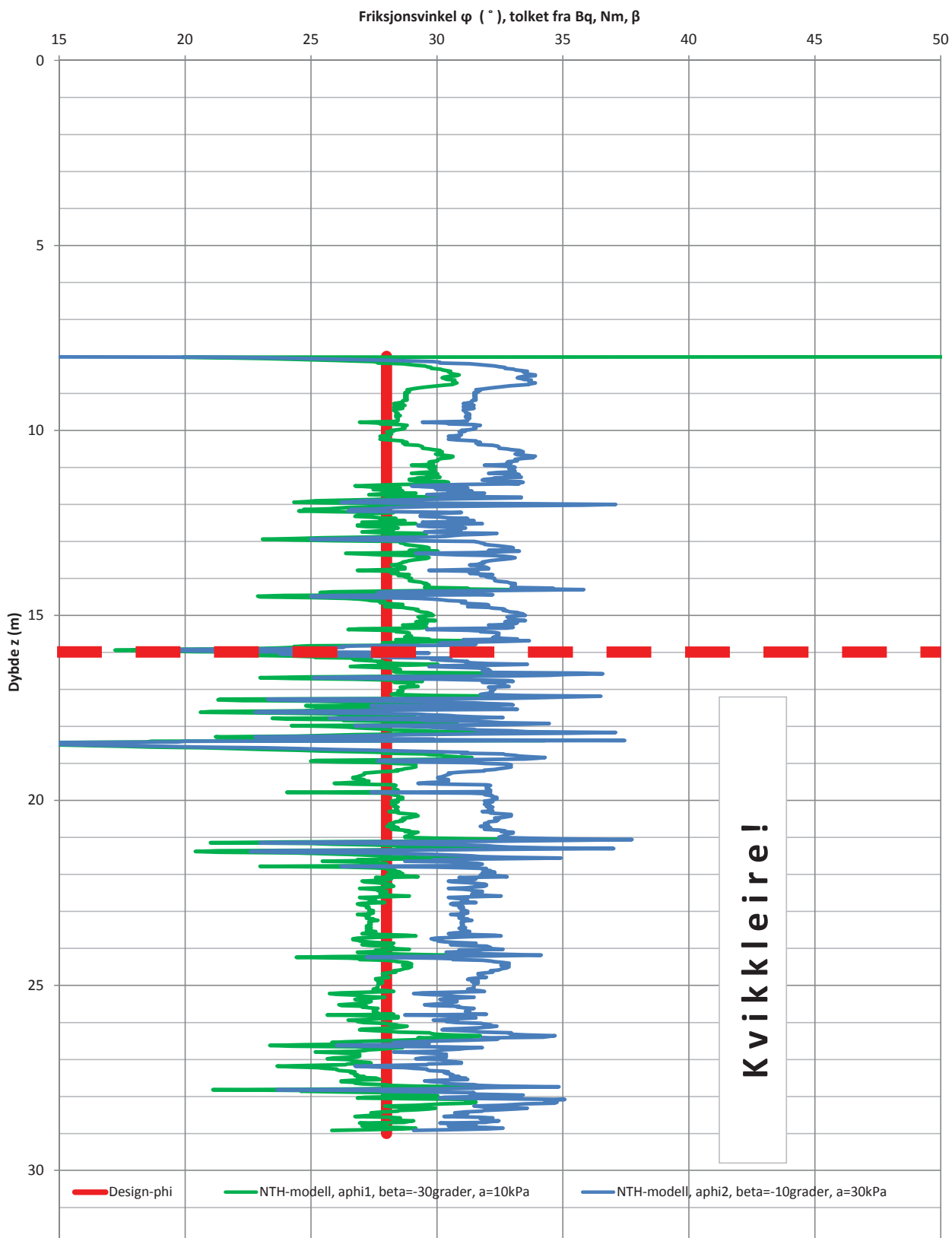


Utredning kl-sone 867 "Støalandet", CPTU borpunkt 11_U



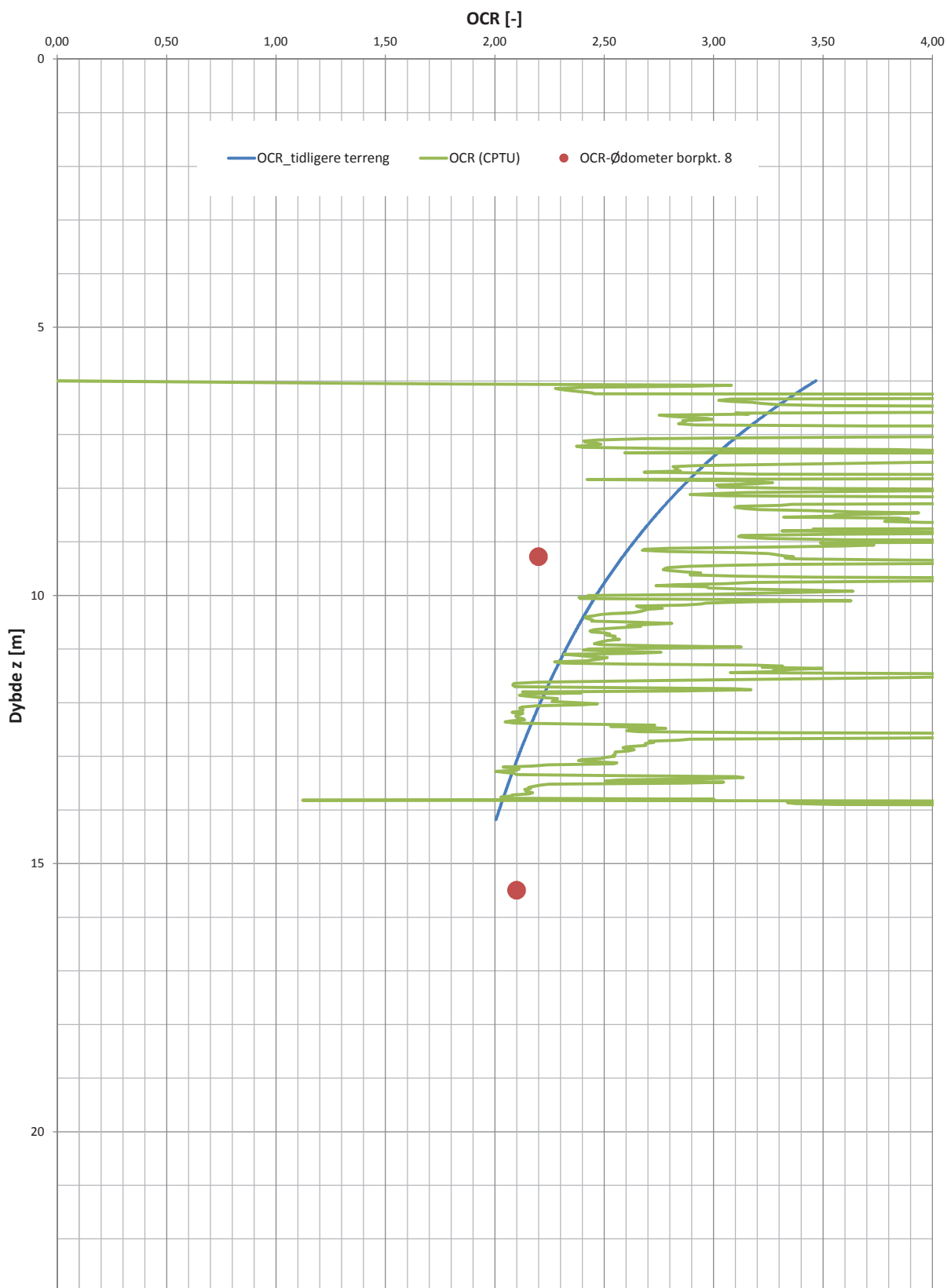
Prosjekt:	Støalandet		Sted:	kl-sone 867 "Støalandet"	 Øvre Romerike Prosjektering AS
Oppdragsnr.: 040.18h	Dato sondering: 11.12.2018		Kommune:	Ringerike	
CPTU-/hull nr.: 11	Sonde nr.: 4712		Borfirmål:	Romerike Grunnboring AS	
Tegnet: Marco Wendt	Dato:		Oppdragsgiver:	Ringerike kommune	
Kontrollert:					
Versjon:					
Revisjon:					

Utredning kl-sone 867 "Støalandet", CPTU borpunkt 13_U



Prosjekt:	Støalandet		Sted: Kommune: Borfirmål:	kl-sone 867 "Støalandet" Ringerike Romerike Grunnboring AS	 ORP Øvre Romerike Prosjektering AS
Oppdragsnr.: 040.18H CPTU-/hull nr.: 13_U	Dato sondering: 11.12.2018 Sonde nr.: 4712		Kunde: Oppdragsgiver:	Ringerike kommune	
Tegnet: Marco Wendt Kontrollert: Versjon: Revisjon:	Dato: Bilgagsnr.: Titel: Filpllassering:		Temperatur: Kote:	74,80	

Utredning kl-sone 867 "Støalandet", CPTU borhull 4_U

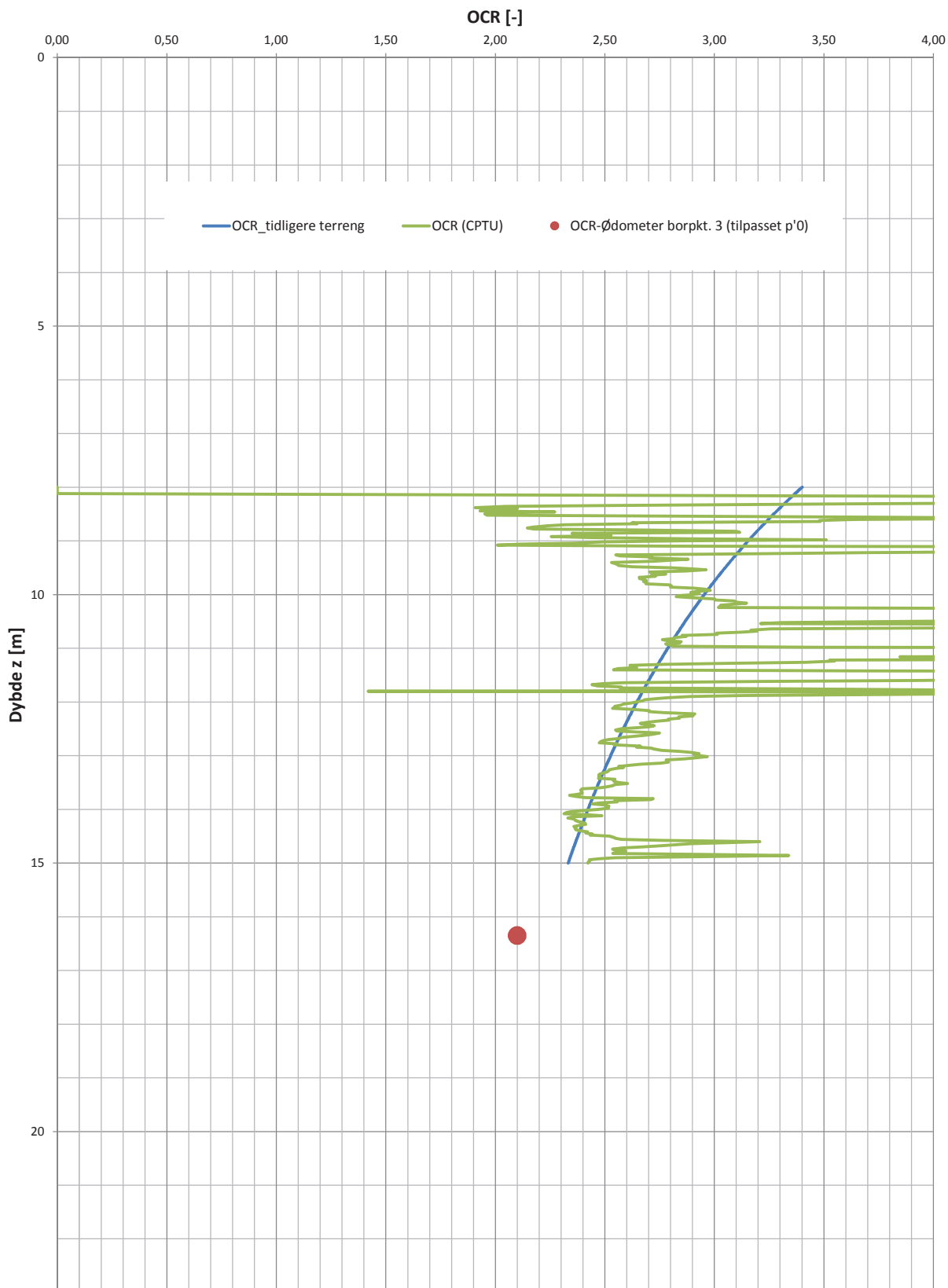


Prosjekt:		Støalandet		Sted:	kl-sone "Støalandet"
Oppdragsnr.:	040.,18H	Dato sondering:	12.12.2019	Kommune:	Ringerike
CPTU-/hull nr.:	4	Sonde nr.:	4712	Borfirma:	RGB
Tegnet:	Marco Wendt	Dato:	13.feb.19	Oppdragsgiver:	Ringerike kommune
Kontrollert:		Bilgagsnr.:		Kommentar:	
Versjon:		Titel:	Tolkning OCR		
Revisjon:		Filpllassering:			



Øvre Romerike Prosjektering AS

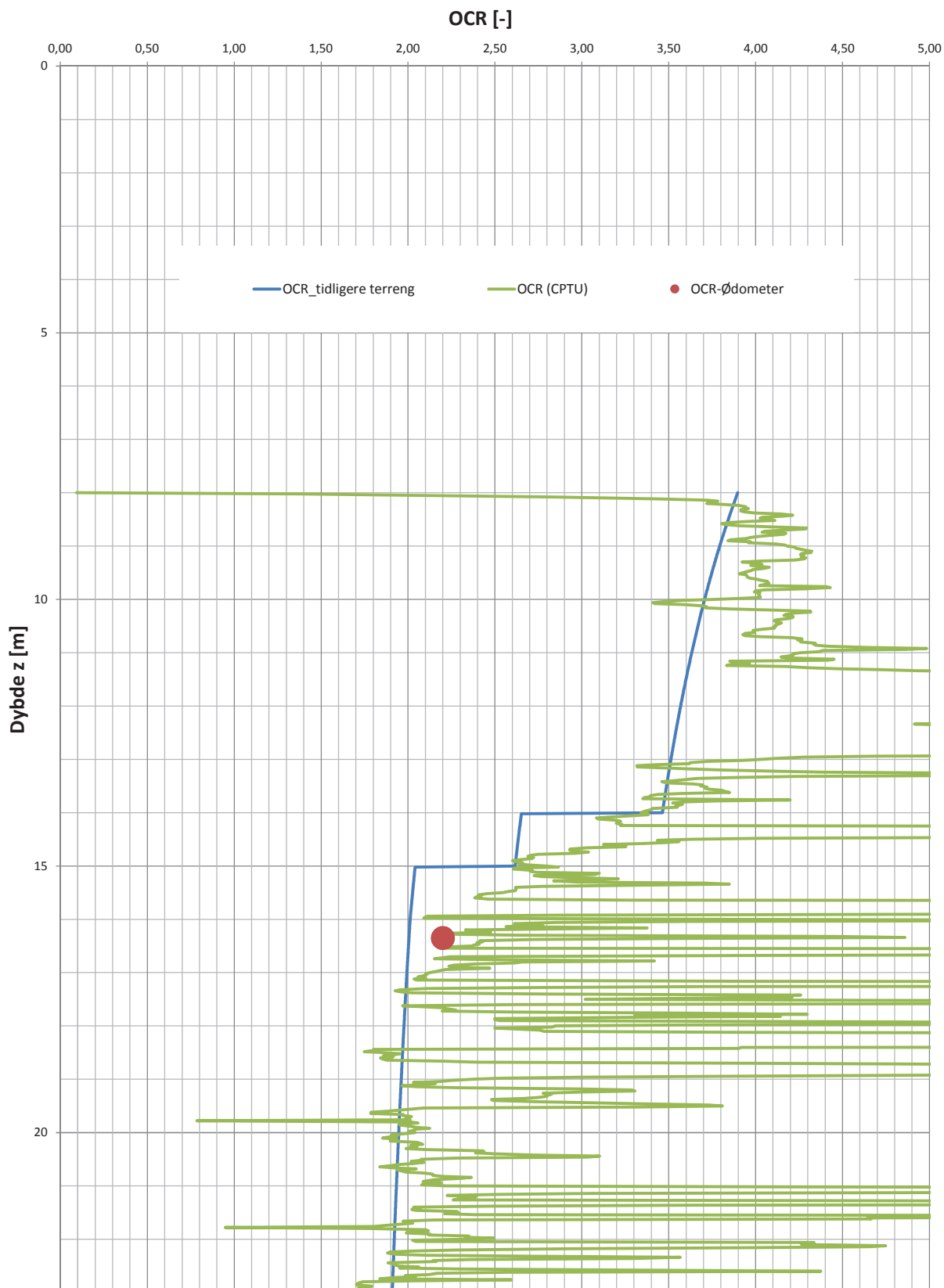
Utredning kl-sone 867 "Støalandet", CPTU borhull 11_U



Prosjekt:	Støalandet		Sted:	kl-sone 867 "Støalandet"
Oppdragsnr.:	040.18h	Dato sondering:	Kommune:	Ringerike
CPTU-/hull nr.:	11	Sonde nr.:	Borfirma:	RGB
Tegnet:	Marco Wendt	Dato:	Oppdragsgiver:	Ringerike kommune
Kontrollert:		13.feb.19		
Versjon:		Bilagsnr.:		
Revisjon:		Titel:		
		Tolkning OCR		
		Filpllassering:		

ØRP
Øvre Romerike Prosjektering AS

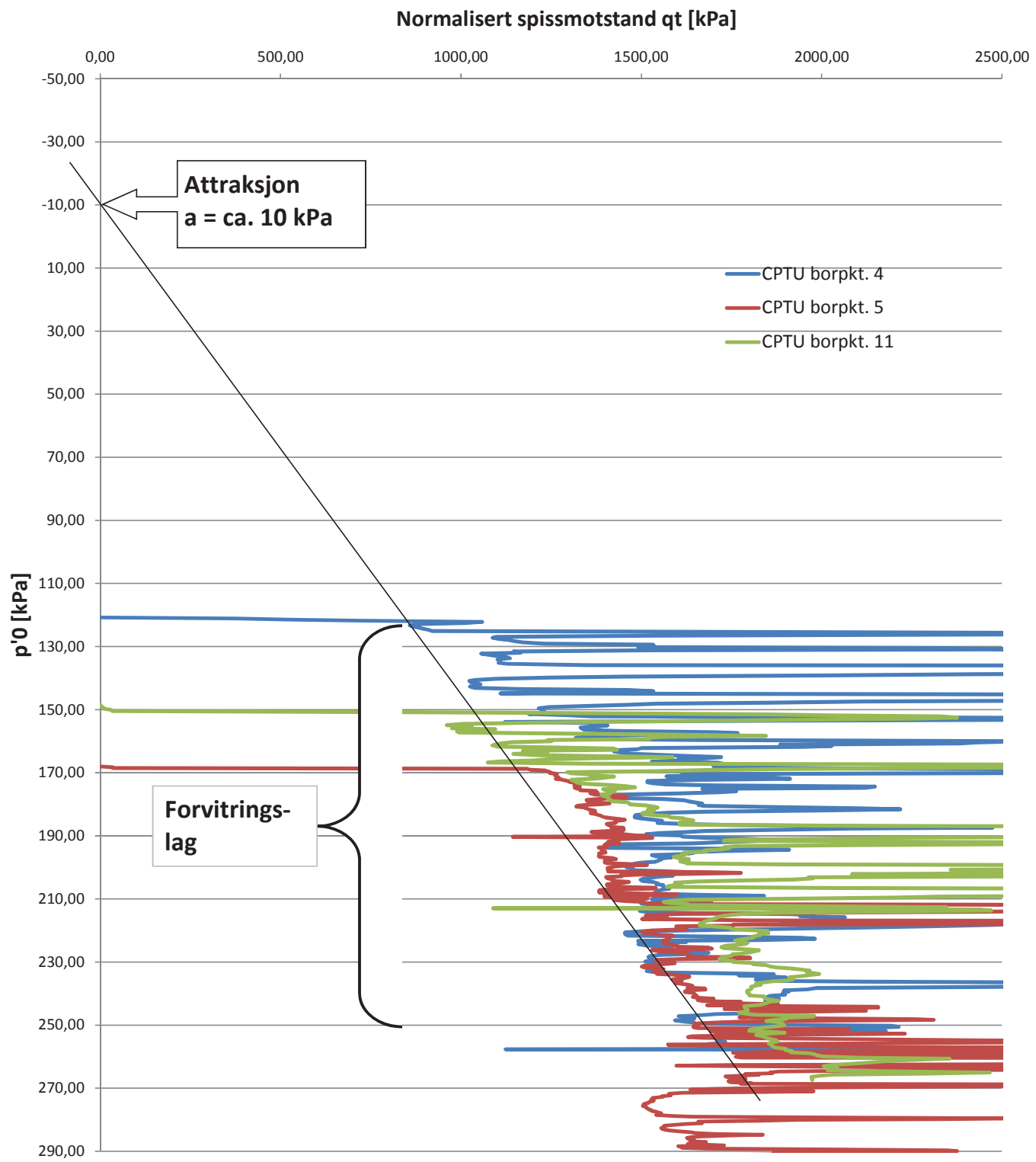
Utredning kl-sone 867 "Støalandet", CPTU borhull 13_U



Prosjekt:	Støalandet		Sted:	kl-sone "Støalandet"
Oppdragsnr.:	040.18H	Dato sondering:	11.12.2018	Kommune: Ringerike
CPTU-/hull nr.:	13_U	Sonde nr.:	4712	Borfirma: RGB
Tegnet:	Marco Wendt	Dato:	13.feb.19	Oppdragsgiver: Ringerike kommune
Kontrollert:		Bilagsnr.:		
Versjon:		Titel:	Tolkning OCR	Kommentar:
Revisjon:		0	Filpllassering:	

ØRP
Øvre Romerike Prosjektering AS

Utredning kl-sone 867 "Støalandet"
Tolkning av attraksjon fra CPTU data borpkt. 4, 5, 11

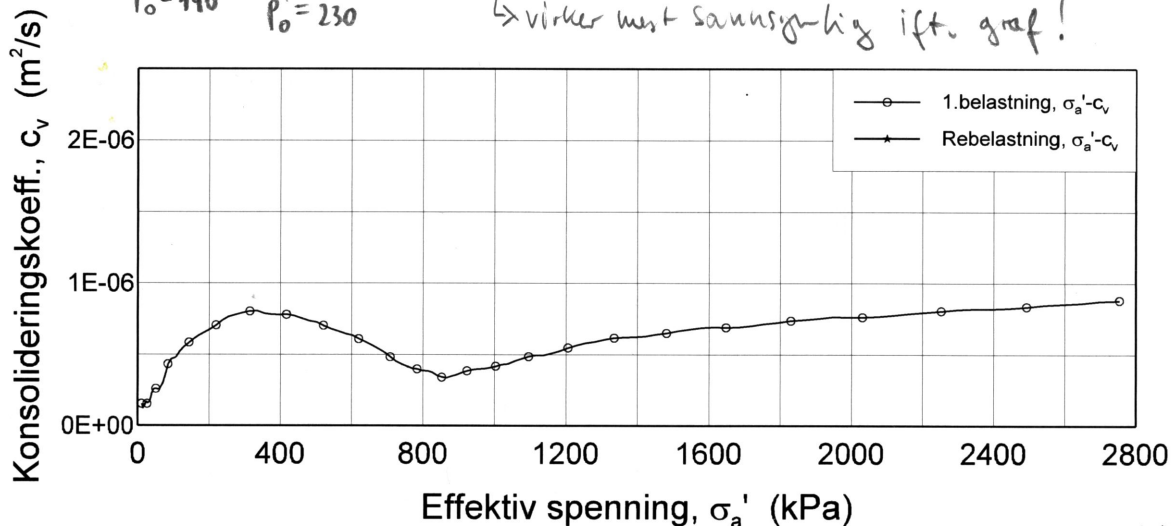
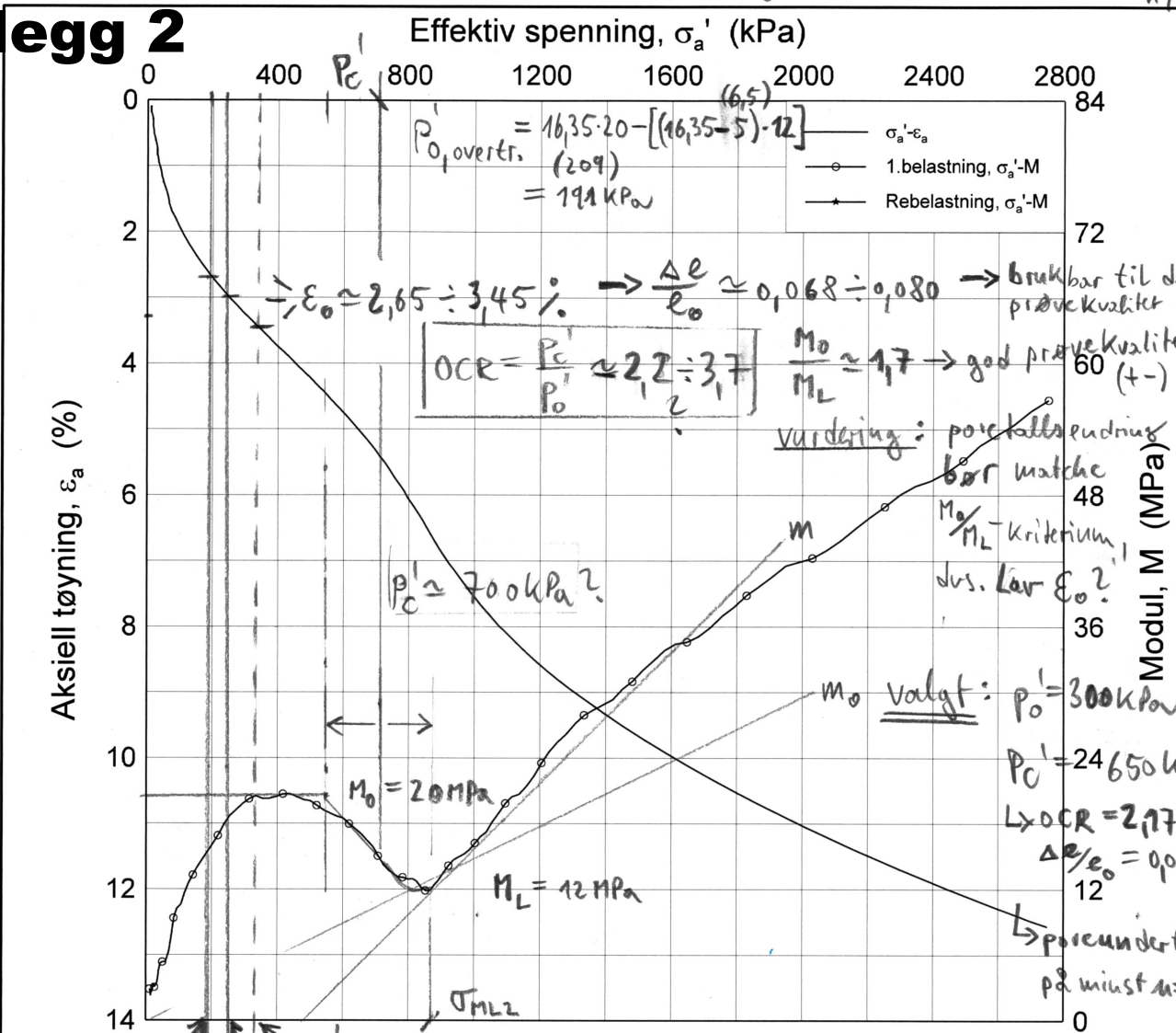


Prosjekt:	Støalandet		Sted: Kommune: Borfirmá: Oppdragsgiver:	kl-sone 867 "Støalandet" Ringerike Romerike Grunnboring AS Ringerike kommune	 ØRP <small>Øvre Romerike Prosjektering AS</small>
Oppdragsnr.: CPTU-/hull nr.:	040.18H 4, 5, 11		Dato sondering: Sonde nr.:	01.12.2018 4712	
Tegnet: Kontrollert: Versjon: Revisjon:	Marco Wendt		Dato: Bilgagsnr.: Titel:	Temperatur: Kote:	
			Tolkning attraksjon Filplassering:		

Terrenghøye + 73,46

$$\text{Antall: } qv \sim 5 \text{ m u.t.} \quad \left\{ \begin{array}{l} (6,5 \text{ m}) \\ \rightarrow p_0' = 16,35 \cdot 20 - [(16,35 - 5) \cdot 10] = 214 \text{ kPa} \end{array} \right. \quad (229)$$

Vedlegg 2



Støalandet

Dokument nr.
20180098-18-01-R

Ødometer test (CRSC)

Figur nr.
xx.xx

Borhull: 3

Sylinder: 4

Dybde = 16.35 m

Del: A

$p_0' = 163.0$ kPa

Test: 2

$w_i = 24.9$ %

$\gamma_i = 20.40$ kN/m³

γ_i

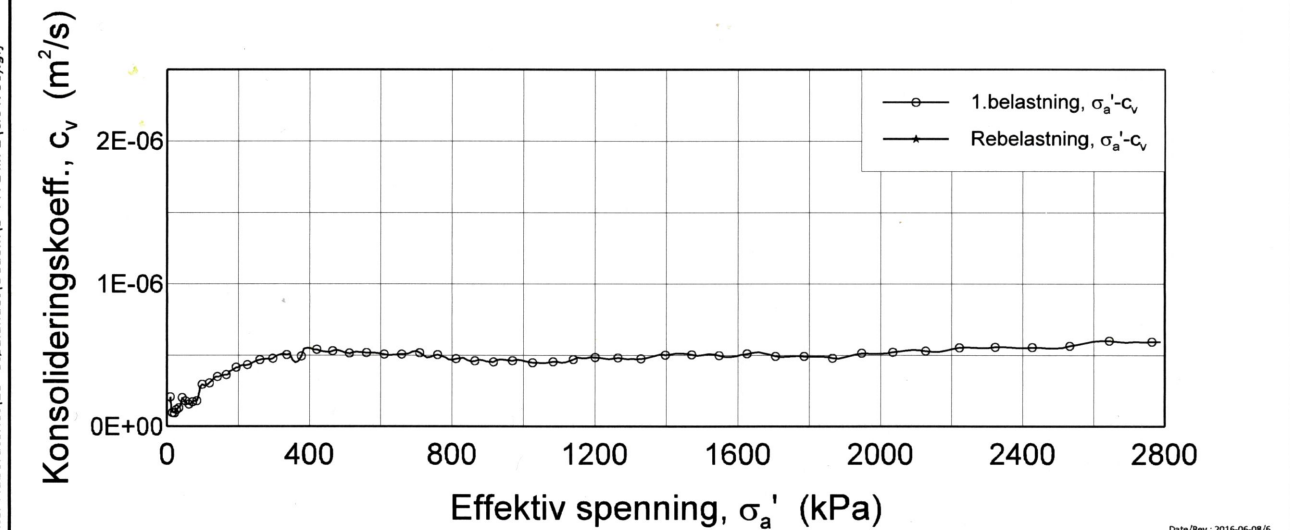
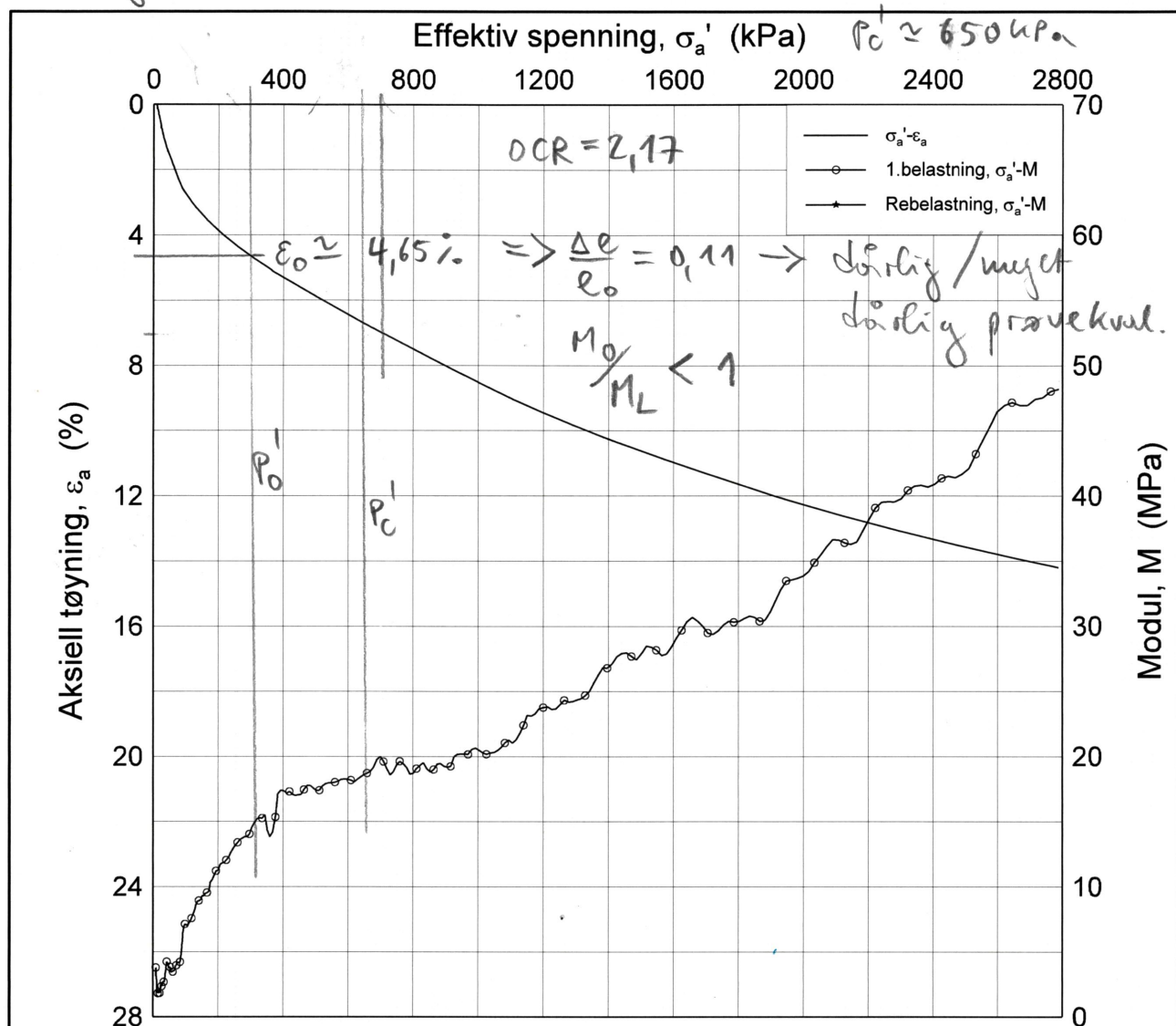
Dato
2019-02-13 Tegnet av / Kontr.
JRB / GS



Terrenghøye +73,46

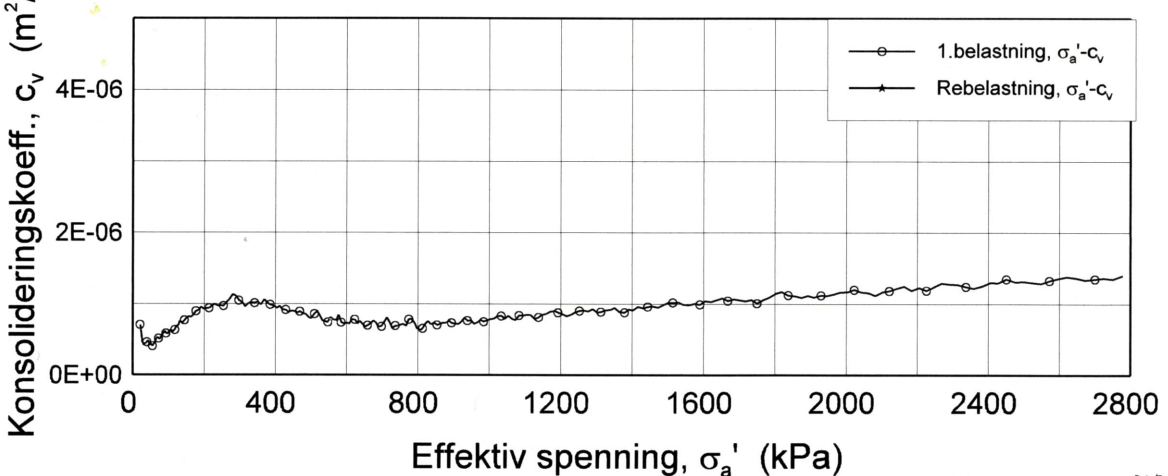
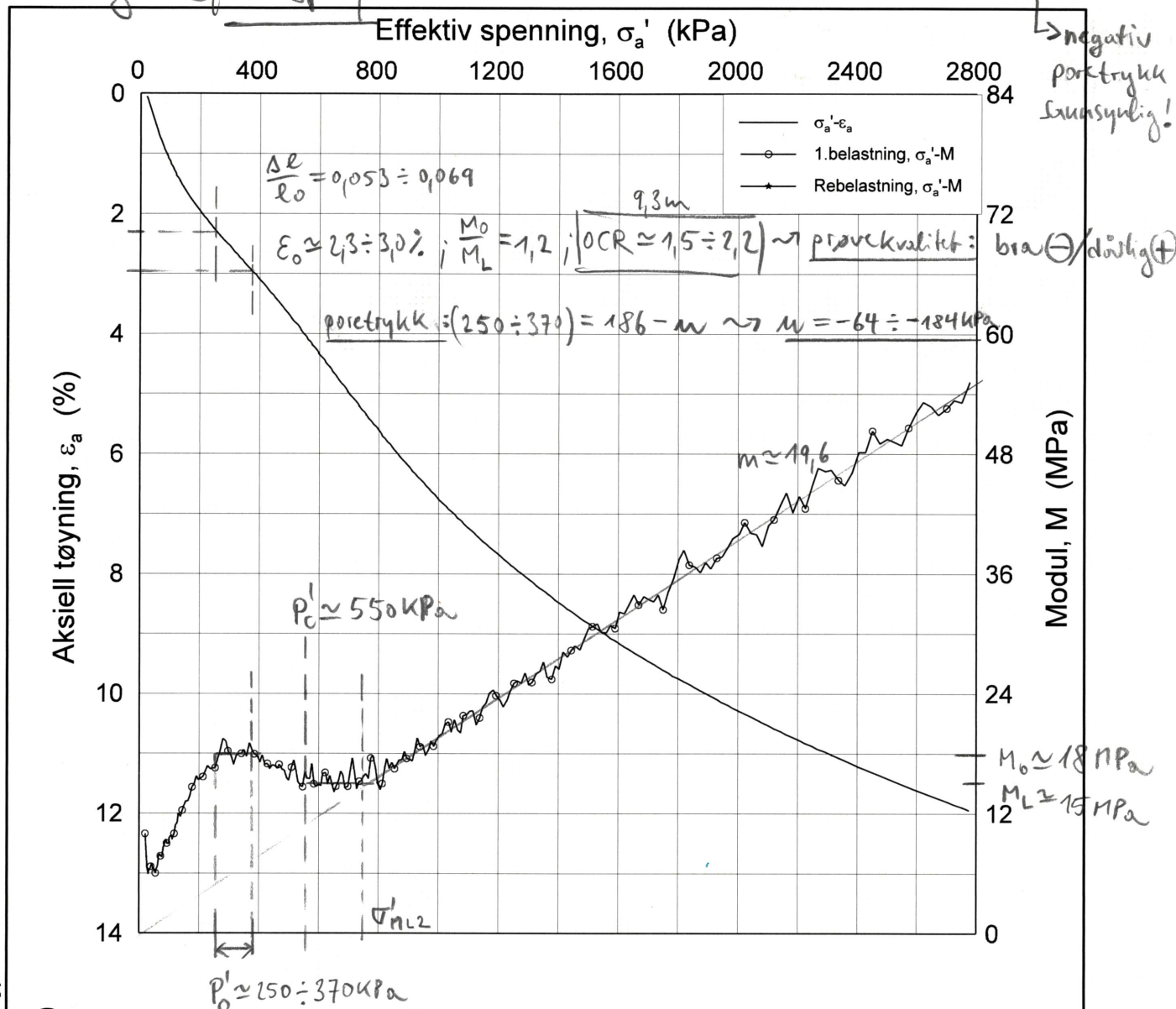
Antatt fra test 2: $p'_0 \approx 300 \text{ kPa}$

3-U



Støalandet	Dokument nr. 20180098-18
Ødometer test (CRSC)	Figur nr. XX.XX
Borhull: 3	Dato 2019-02-14
Sylinder: 4	Tegnet av / Kontr. FP/GS
Del: A	
Test: 1	
	Dybde = 16.27 m
	$p'_0 = 162.0 \text{ kPa}$
	$w_i = 28.9 \%$
	$\gamma_i = 20.71 \text{ kN/m}^3$

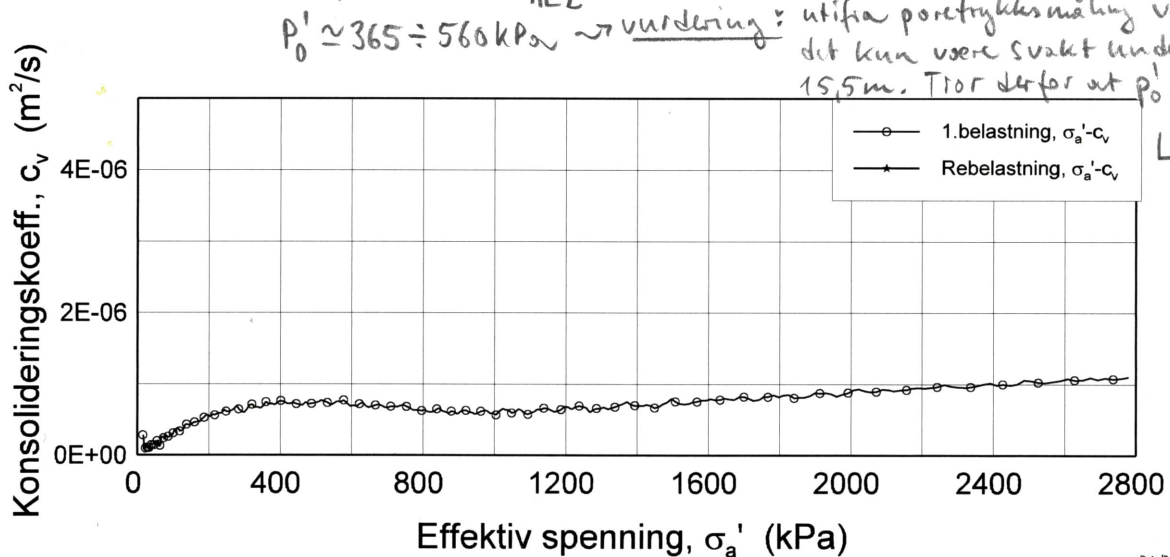
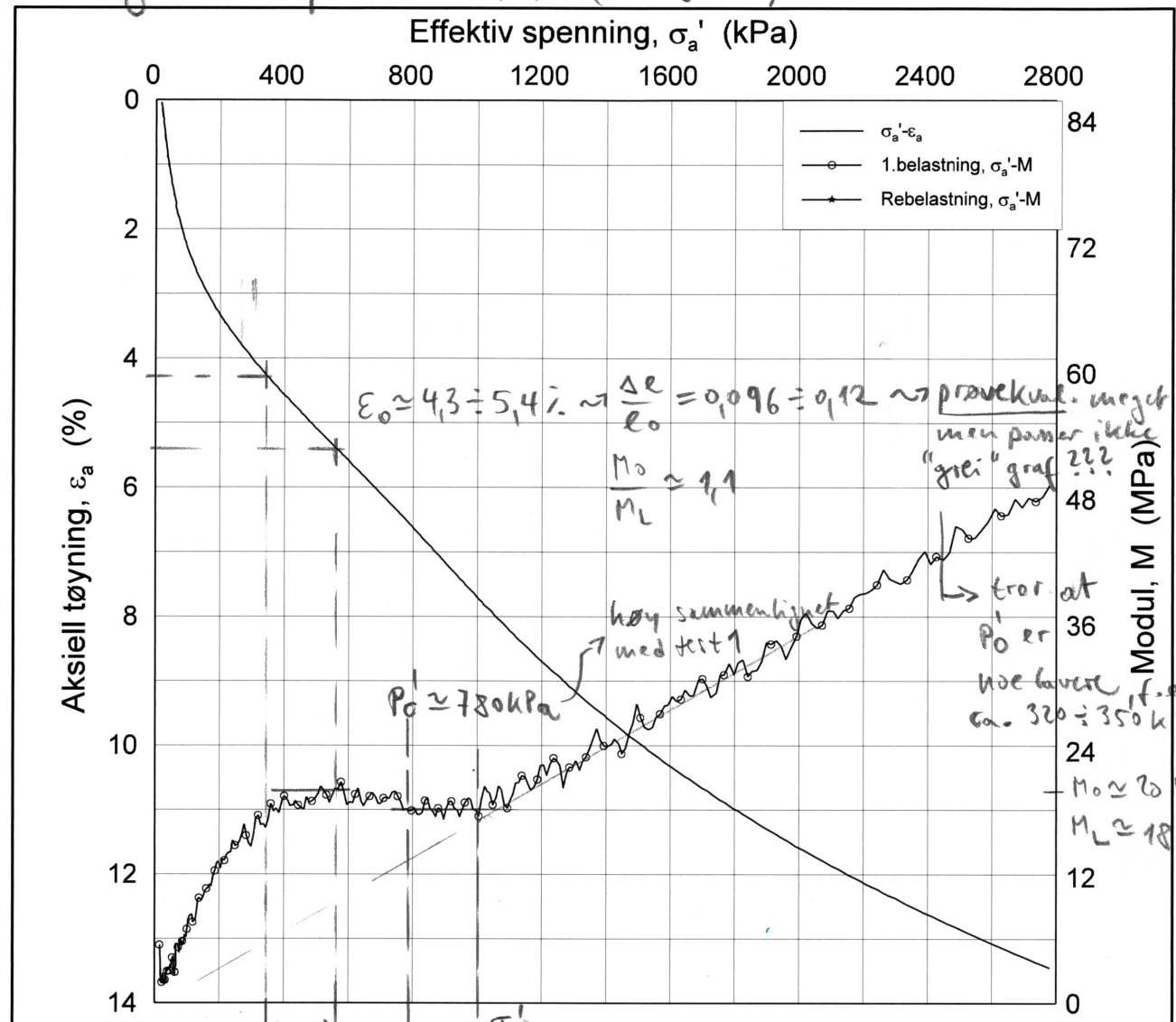
Terrengkote $+98,3$ $P_{0,93m}^l$ (kun egenvekt) maks $= 9,3m \times 20 \frac{kN}{m^3} = 186 kPa < P_{0,93m}$



Støalandet		Dokument nr. 20180098-18
Ødometer test (CRSC)		Figur nr. XX.XX
Borhull: 8	Sylinder: 1 Del: A Test: 1	Dato 2019-01-22 Tegnet av / Kontr. FP/GS

Terrengkote +98,3

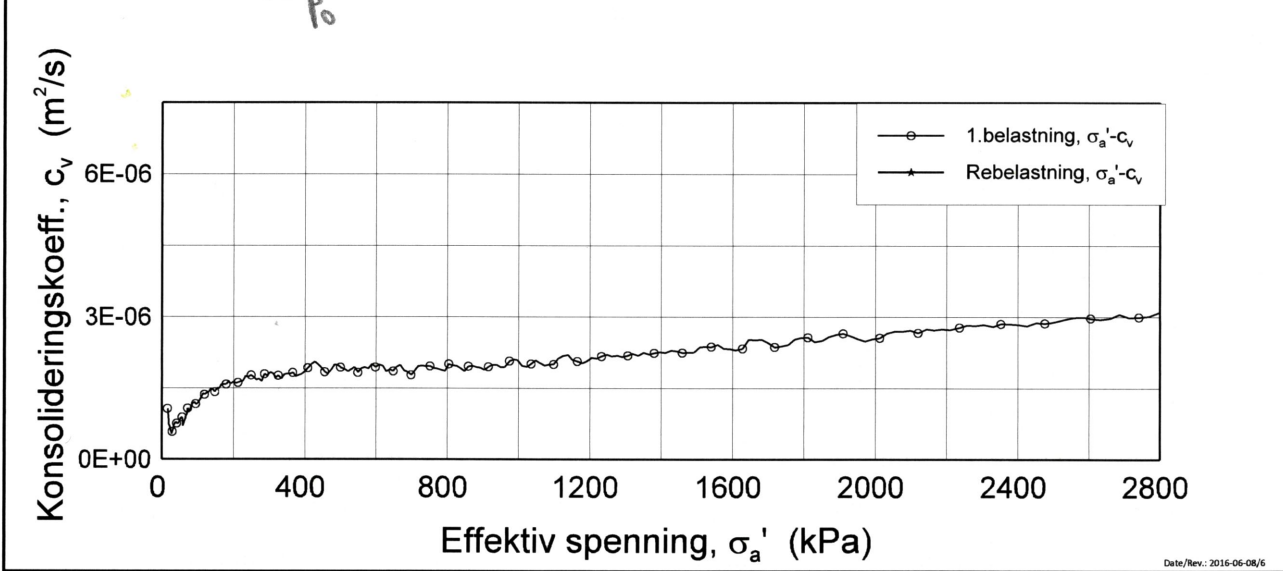
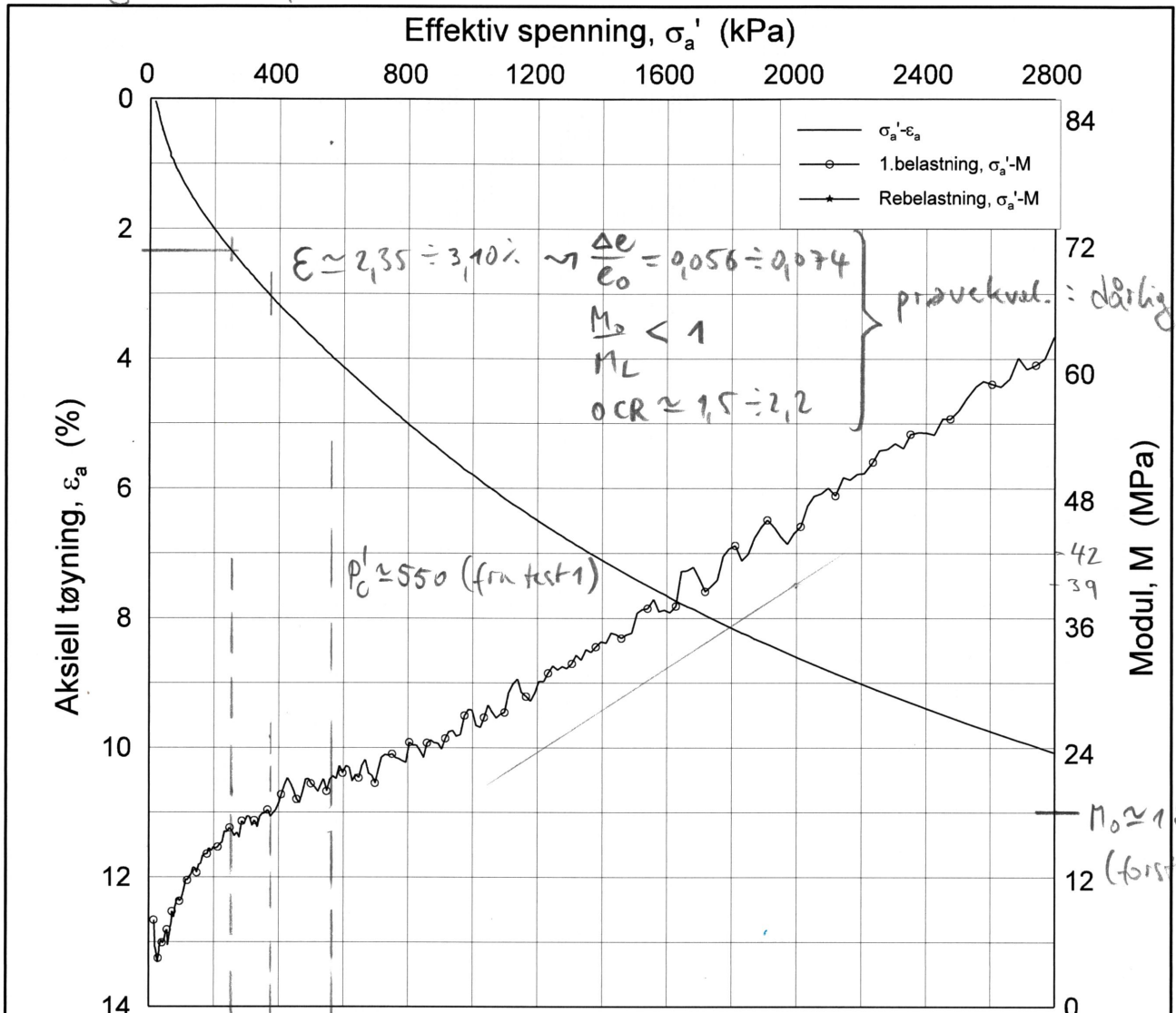
$$P_0^1, 15,5 \text{ m} \left(\text{kun egenvekt} \right)^{\text{maks}} = 15,5 \text{ m} \times 20 \frac{\text{kN}}{\text{m}^3} = 310 \text{ kPa}$$



Støalandet		Dokument nr. 20180098-18
Ødometer test (CRSC)		Figur nr. xx.xx
Borhull: 8	Sylinder: 3 Del: A Test: 1	Dato 2019-01-22 Tegnet av / Kontr. JRB / GS
Dybde = 15,5 m $p_0^1 = 155,0 \text{ kPa}$ $w_i = 30,3 \%$ $\gamma_i = 19,58 \text{ kN/m}^3$		NGI

Terrängkote +98,3

fra test 1: $P_0' \approx 250 \div 370 \text{ kPa}$



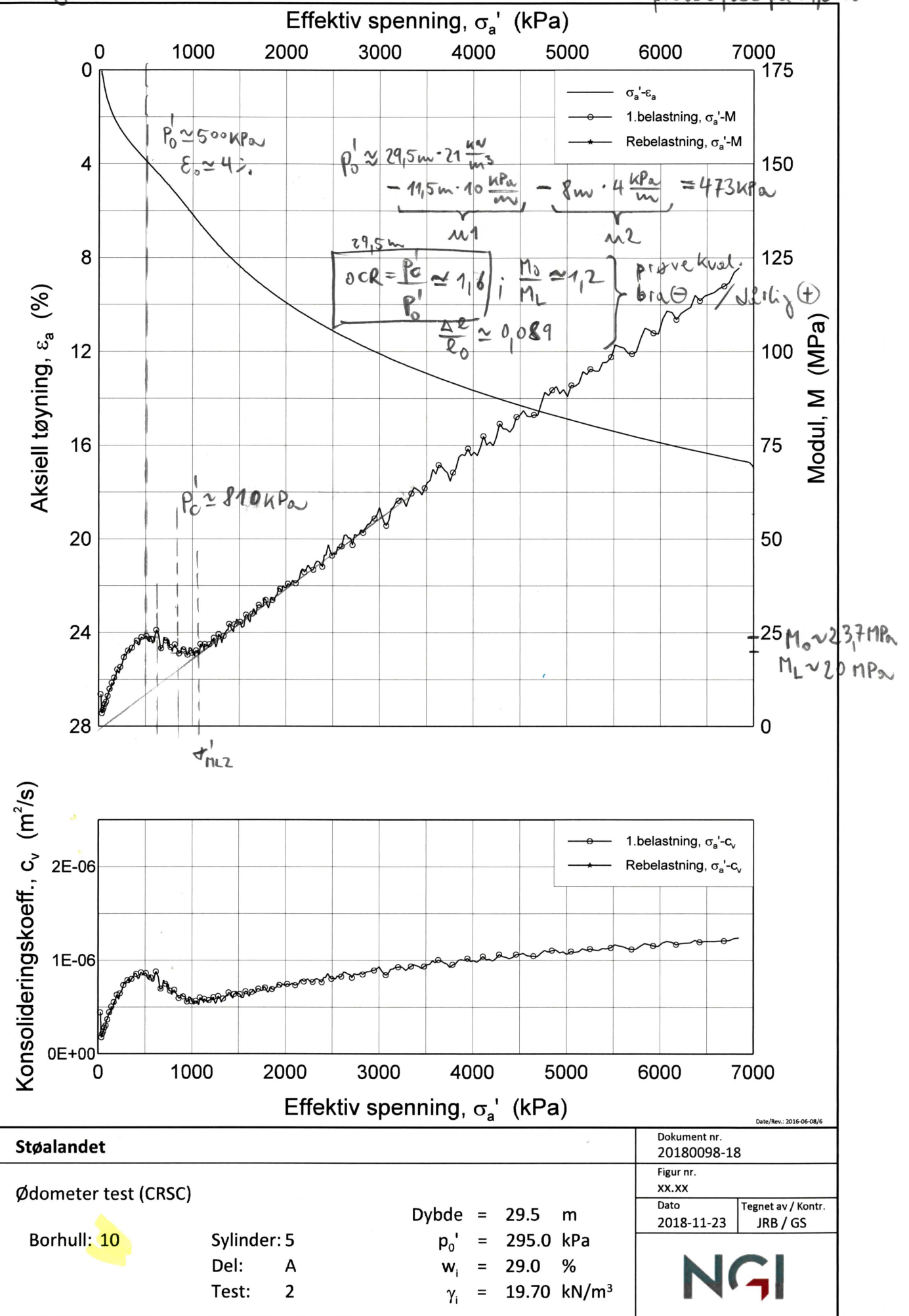
Støalandet		Dokument nr. 20180098-18-01R
Ødometer test (CRSC)		Figur nr. xx.xx
Borhull: 8	Sylinder: 1	Dato 2019-01-22 Tegnet av / Kontr. FP/GS
Del: A	Dybde = 9,5 m	
Test: 2	$p_0' = 95,0 \text{ kPa}$	
	$w_i = 26,5 \%$	
	$\gamma_i = 19,98 \text{ kN/m}^3$	

Antatt: gr1 hydr. m. 4m og 15,5m (sandlag) \rightarrow NGI måling

gr2 ca. ved 21,5m (sandlag) \rightarrow poretrykk $\approx 4\text{ kPa/m}$ til prøveydelse på 29,5m

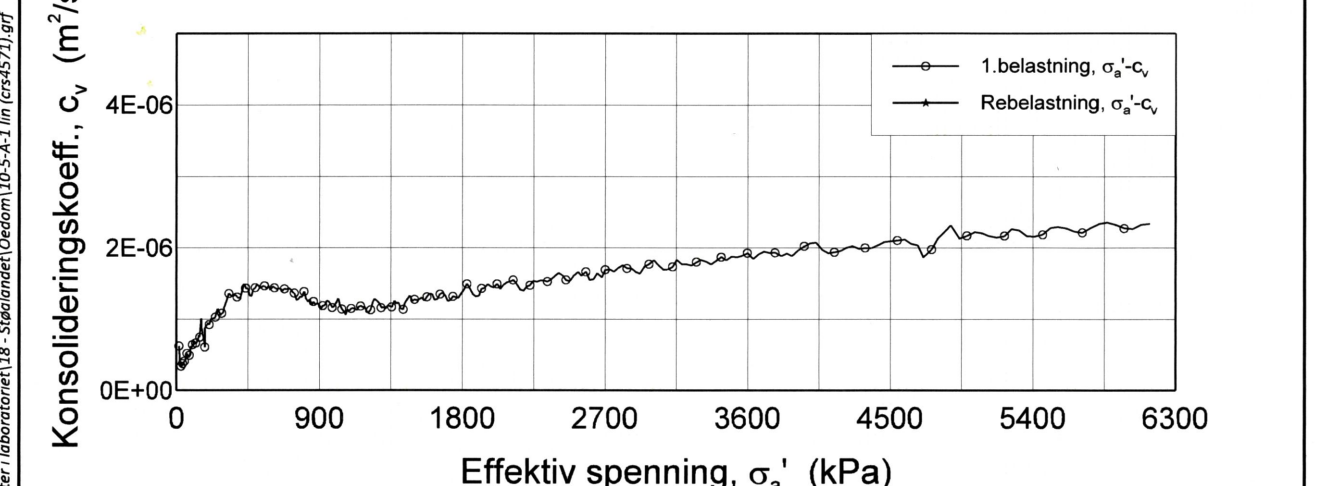
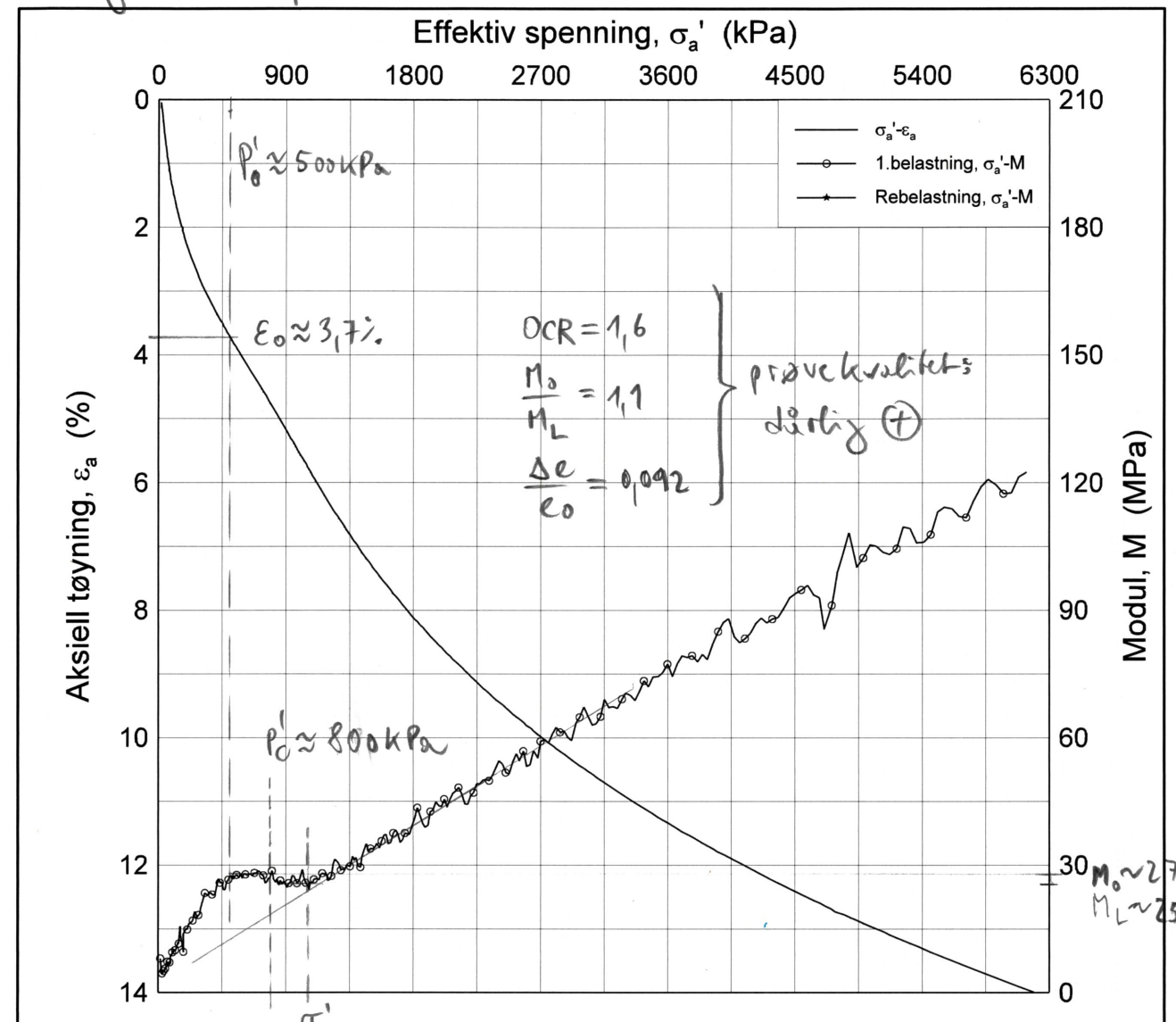
Terranghøyde +95,8

10-U



Terrengkote +95,8

ifr. test 2 : $p'_0 \approx 500 \text{ kPa}$



Støalandet

Ødometer test (CRSC)

Borhull: 10

Sylinder: 5

Del: A

Test: 1

Dybde = 29.5 m

$p'_0 = 295.0 \text{ kPa}$

$w_i = 25.0 \%$

$\gamma_i = 20.31 \text{ kN/m}^3$

Dokument nr.
20180098-18-01-R

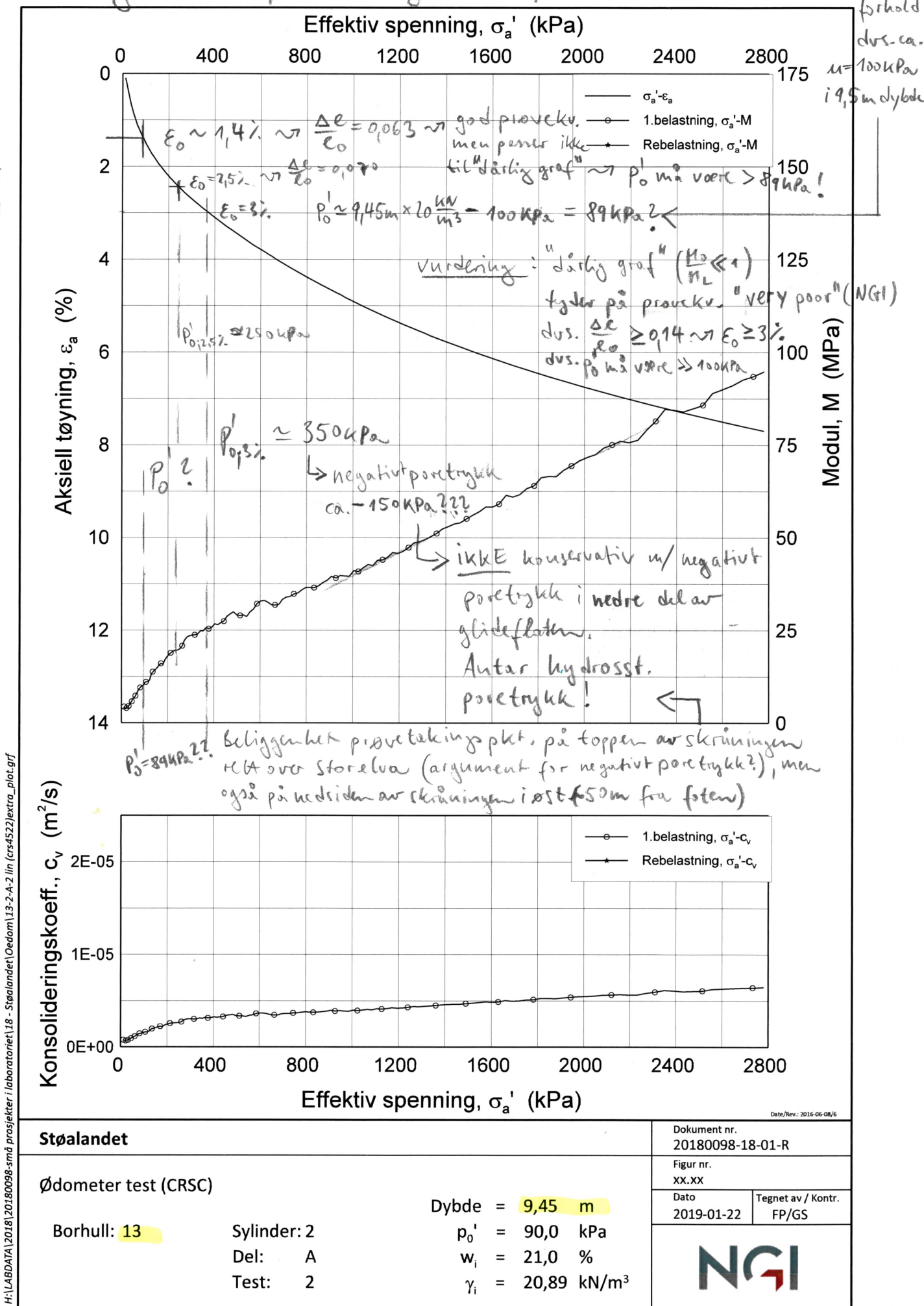
Figur nr.
xx.xx

Dato 2018-11-23	Tegnet av / Kontr. FP/GS
--------------------	-----------------------------



Terrengkote +74,8

Terrengkote og stratigrafi fra totalsondering
veldig litet borpt. 3 manlett ca. like poretrykks-
forhold dvs. ca.



Vedlegg 3

Utredning kl-sone 867 "Støalandet" - Vurdering av poretrykkforholdene fra poretrykksmåling, CPTU sondering, ødometerforsøk, stratigrafiske og topografiske betraktninger.

Pkt. nr.	Profil	Kote	Posisjon i skråning	Topografi vest - øst	Jordmasser, stratigrafi	Ødometer/rutine styrke	CPTU	Målinger	Samlet vurdering poretrykk
3_U	"Støalandet"	+73,46	Topp skråning 0/1 terrasse 1 --	1:2 øvre 10m, 1:7 nedre 5m (under vann), 60m fra skråningsfot 2/1. Rett på kanten. --	Elveterrasser 0 til 6m, 27 til 31m. Leire med tynne silt- og sandlag. KL 16 til 24m, 38 til 52m (tynnere lag 1-2m). oo	Pore- undertrykk i prøven fra 16,3m. Grei prøvekvalitet. $p'_c=650\text{kPa}$. --	/	/	Gv på 5m, hydrostatisk til 15m (bunn Storelva). Poreovertrykk 15kPa/m ml. 15 og 25m (veldig konservativ antakelse, argumentene for undertrykk overveier). Hydrostatisk videre nedover.
11_U		+78,39	Bunn skråning 2/1 terrasse 1 ++	1:3 rett i bakkant, 20m høy, terreng foran ca. 1:15, 60m til kant skråning 0/1. ++	Elveterrasser 0 til 12m, 16 til 21m, 33 til 37m. Leire med tynne silt- og sandlag. KL 16 til 19m, 41 til 45m (lag 2-4m). oo	Rutine styrke mye lavere enn CPTU styrke (tyder på in-situ undertrykk/høyere in-situ p'_0 /styrke)	8 til 15m. Dren lag 10 til 12m. God respons. OCR tolkn. m/pore- undertr. = 3kPa/m gir $p'_{c,terreg} = 370\text{kPa}$ (passer med ødom. pkt. 8, 10). --	2,9kPa/m undertr. fra 9 til 14m. 2 målere. --	Gv på 5m, hydrostatisk til 12m (vannspeil Storelva, uk- elveavsetning). 12 til 16m (ok-elveavsetning): poreundertrykk 5kPa/m. Hydrostatisk videre nedover.
10_U		+95,83	Topp skråning 2/1 terrasse 2 ----	1:3, 20m høy, 10m fra kanten. --	Elveterrasser 0 til 9m, 14 til 25m, 33 til 43m. Leire med tynne silt- og sandlag. KL 43 til >80m (tykt lag m/2 terrasser). oo	Poreundertr. i prøven fra 29,5m. Undertrykk ca. 4kPa/m. Grei prøvekvalitet. $p'_c=300\text{kPa}$. ----	/	Hydr. trykk ml. 8 og 12m. Gv på ca. 4m (NGI 2009 måling, ca. 15 m i bakkant) oo	Gv på 6m, poreundertrykk 6kPa/m til 30m (vannspeil Storelva, ok-elveavsetning). Hydrostatisk videre nedover.

12_U		+68,55	Bunn skråning 2/1 /topp skråning 0/1 terrasse 1 000	1:2 øvre 7m, 1:5 nedre 5m (under vann), skråning 2/1 rett i bakkant 1:2, 30m høy. 15m fra kanten. ++	Elveterrasser 0 til 4m, 19 til 25m, 39 til 41m. Siltig leire med tynne silt- og sandlag. KL 11 til 19m, 25 til 39m (tykke lag m/tynne silt- og sandlag).	/	4 til 19,5m. Sug (neg. poretrykk) ml. 4 og 7,8m. God respons. OCR tolkn. m/ poreundertrykk= 9kPa/m gir $p'_{c,terring}=220\text{kPa}$	Hydrost. trykk ml. 7 og 17m, 9,2kPa/m. 3 målere. Gv ca. 1m u.t. o	Gv på 1m, hydr. til 12m (bunn Storelva). Poreovertrykk 15kPa/m til 25m (som borpunkt 3, konservativ antakelse). Hydrostatisk videre nedover.
8_U	2	+98,27	Topp skråning 2/1 terrasse 2	1:2, 30m høy. 20m fra kanten. --	Elveterrasser 5 til 40m, nesten gjennomgående, tynnere leirelag i mellom. Indikasjon KL 40 til 70m, tynnere silt-/sandlag imellom. Utydelig lagdeling. oo	Neg. poretrykk i prøvene 9,3m, 9,5m, 15,5m ved p'_0 (konsistent). Grei prøve-kvalitet. ---	/	Måler på 10m tørr. 8,5kPa trykk på 18m. -	Gv ved 10m, poreundertrykk 2kPa/m til 20m (konservativt, egentlig neg. trykk over). Poreundertrykk 5kPa/m ned til 35m. Hydrostatisk videre nedover (som borpunkt 10).
13_U	3	+74,77	Topp skråning 0/1 terrasse 1	1:1,5 øvre 10m, 1:7 nedre 5m (under vann), terrenget i bakkant mot skråning 2/1 stigende 1:10 på 70m. 6m fra kanten.	Elveterrasser 0 til 8m, forholdsvis ren leire derunder (til 30m). KL 12 til >30m (tykt lag). -	Antydning til poreundertr. i prøven fra 9,45m ved p'_0 . Men: dårlig til veldig dårlig prøvekval. - Rutine styrke målinger noe høyere enn CPTU styrke. +	8 til 29m. Mange drenerende lag (poretrykk nesten 0 ml. 12 og 18m). God respons. OCR tolkn. m/hydr. poretrykk gir $p'_{c,terring}=140\text{kPa}$ (passer ikke med ødom. pkt. 3). o	/	Gv ved 6m, hydr. til 15m (bunn Storelva). Poreovertrykk 15kPa/m til 25m (som borpunkt 3, konservativ antakelse). Hydrostatisk videre nedover.
9_U		+101,35	Topp skråning 2/1 terrasse 2	1:2 øvre 15m, 1:10 nedre 5m. 15m fra kanten.	Elveterrasser 0 til 4m, 10 til 18m, 25 til 34m, 42 til 50m, 57 til 59m. Forh.vis rene leirelag imellom. KL 36 til >80m (tykt lag m/tynnere silt-/sandlag).	/	/	/	Gv på 8m, undertrykk 6kPa/m til 35m (vannspeil Storelva). Hydrostatisk videre nedover. (som borpkt. 10).

4_U	4	+105,06	Topp skråning 3	1:2 på hele 30m høy skråning. 35m fra kanten.	Elveterrasser 18 til 22m, 27 til 34m, 42 til 45m. Forh.vis rene leirelag imellom. Kl 38 til >60m (tykt lag m/ tynnere silt-/sandlag).	Rutine styrke mye lavere enn CPTU styrke (tyder på in-situ undertrykk/ høyere in-situ p'0/styrke)	6 til 14m. Dren. lag ned til 8,5m, delvis sug. God respons. OCR tolkn. m/pore-undertrykk= 2kPa/m gir p'_c , terregn= 340kPa (passer med ødom. pkt. 8 og 10).	/	Som borpkt. 8.
-----	---	---------	-----------------	---	---	---	--	---	----------------

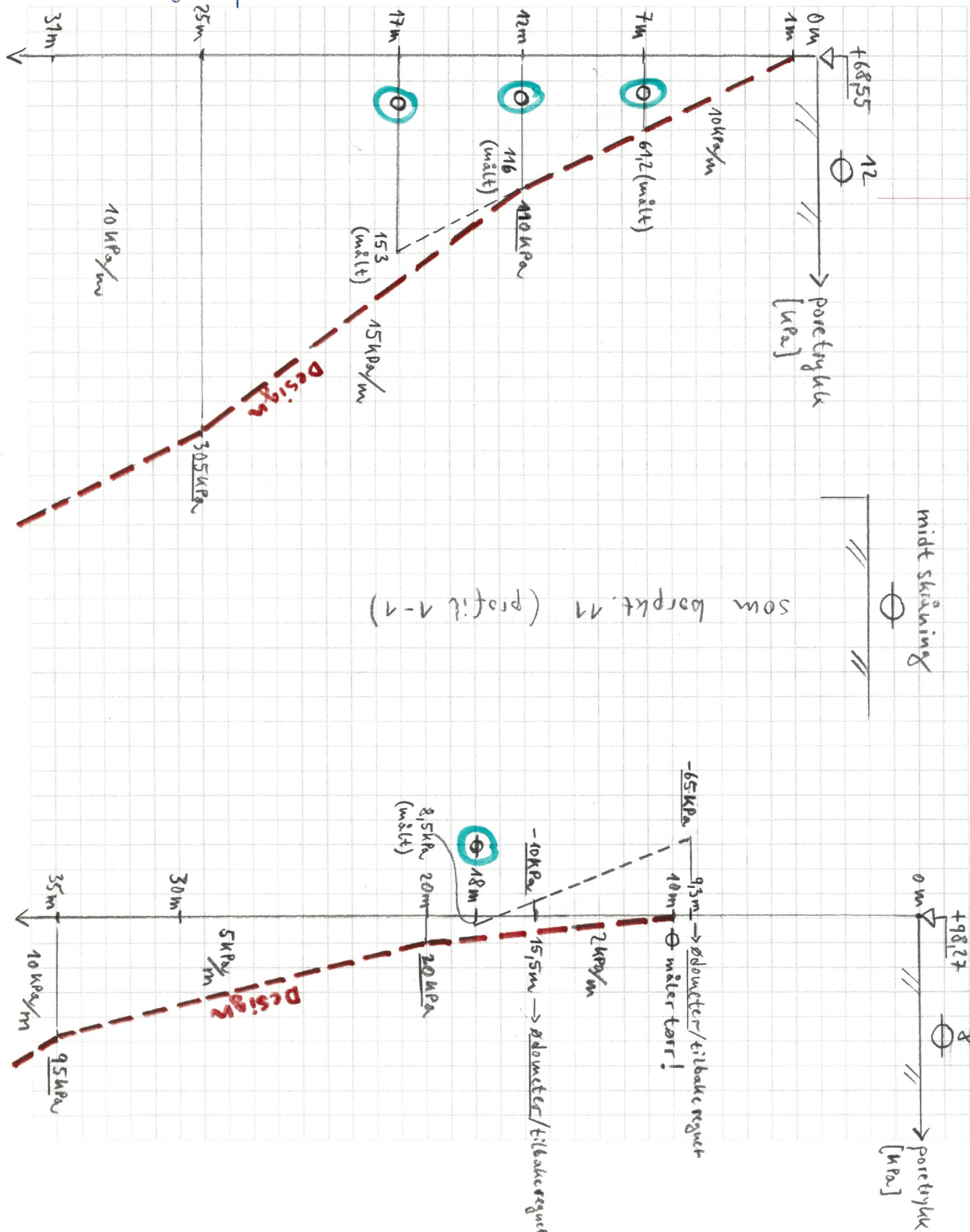
- impliserer vanligvis undertrykk

+ impliserer vanligvis overtrykk

o impliserer vanligvis hydrostatisk trykk

Vedlegg 4

Oppdrag:	Utdredning kl-sone 867 "Støalandet"	Oppdr.nr.:	
Emne:	Poretrykksprofiler 2-2	Kontrollert:	IA



Oppdrag:	Oppdr.nr.:	Side:
Emne: Utredning kl-sone 867 "Støalandet"	Utført: MW	Dato: 15.1.19
Porefr.profiler suitt 1-1	Kontrollert: IA	Dato:



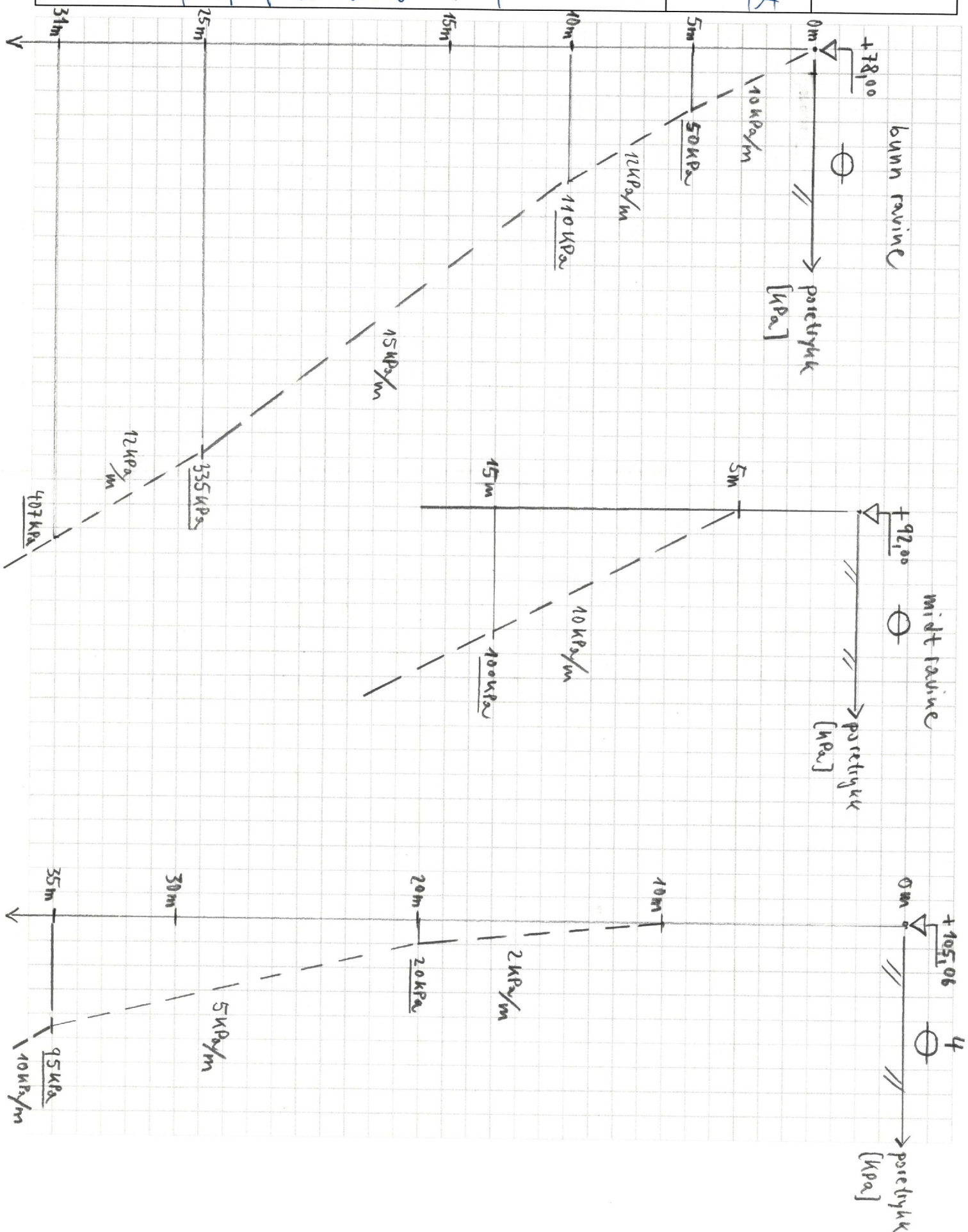
Oppdrag: Utredning til -sone 867 "Støalandet"
Emne: Poretrykksprofiler snitt 4-4

Utført: MW

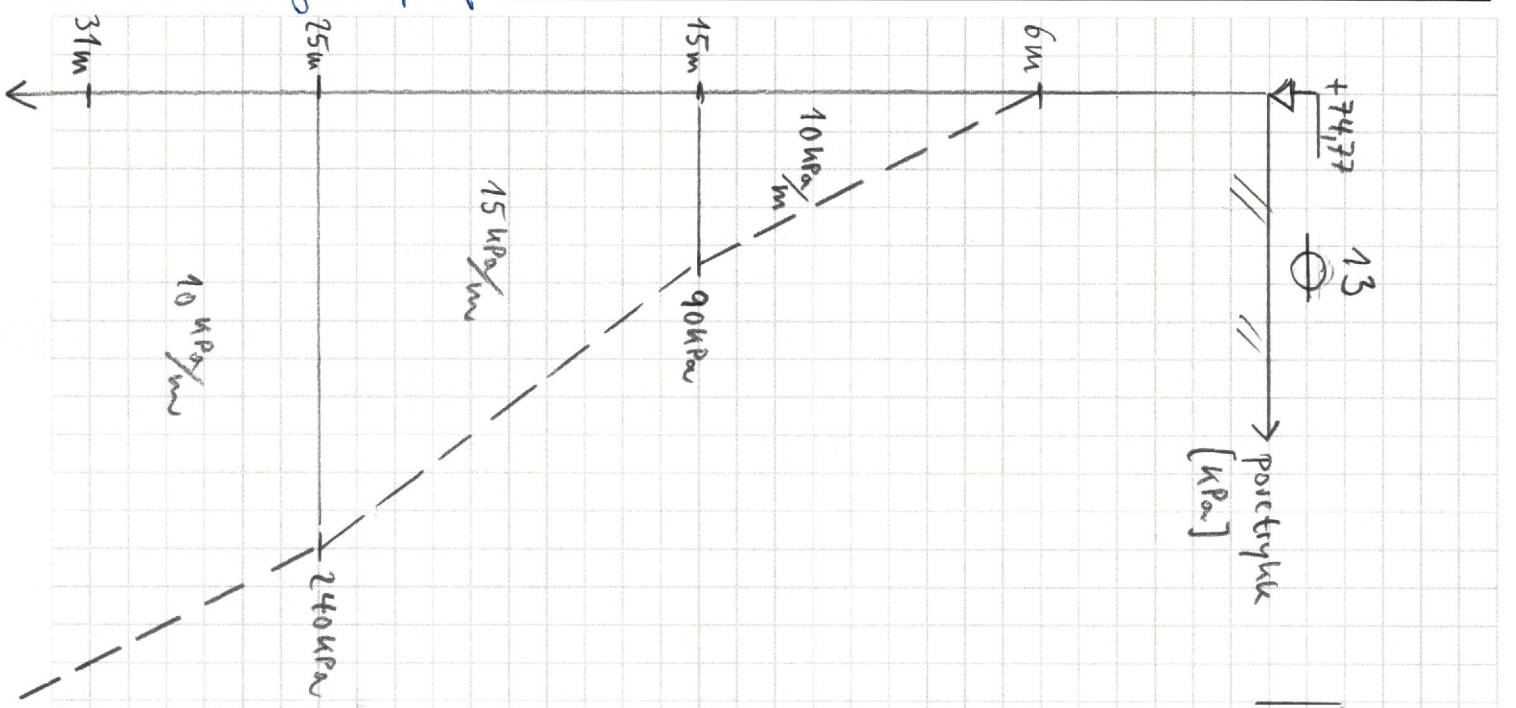
Dato: 15.1.19

Kontrollert: IA

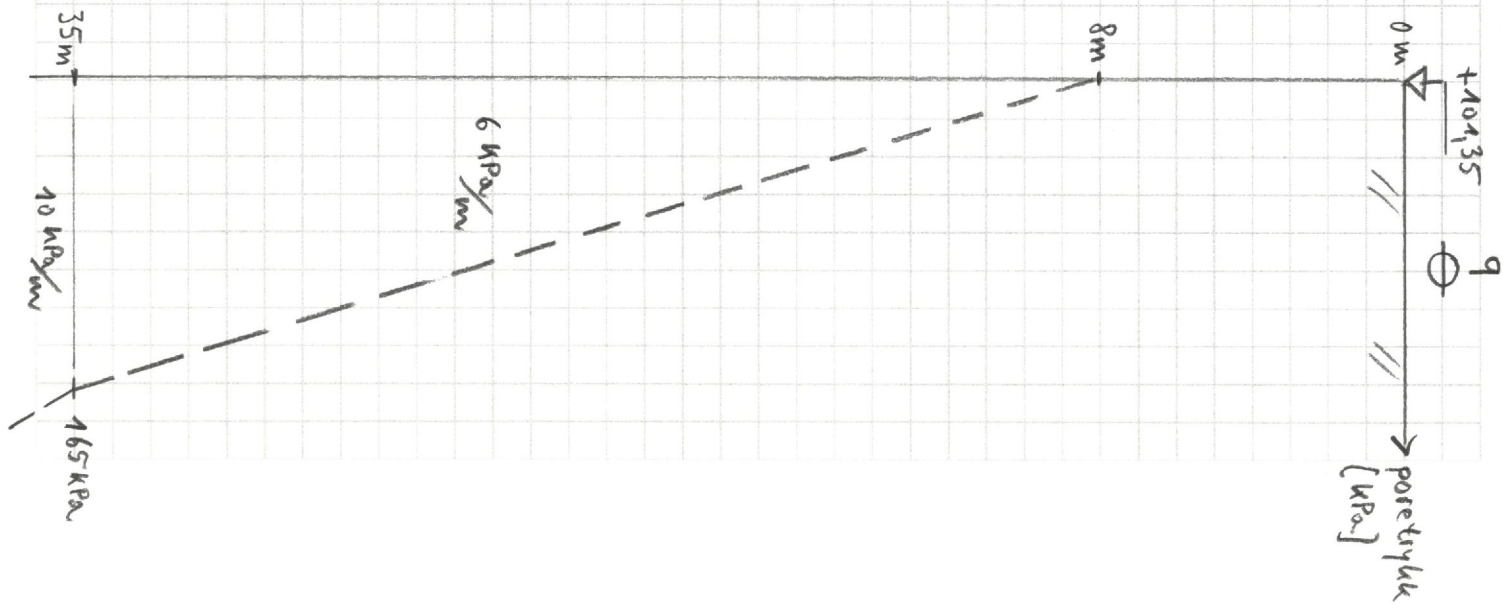
Dato:



Oppdrag: Utredning kl-sone 867 "Støalandet"	Oppdr.nr.: 040.18H	Side:
Emne: Poetrykles profiler snitt 3-3	Utført: MW	Dato: 14.1.19
	Kontrollert: IA	Dato:



sow bør prof. 11 (profil 1-1)



Vedlegg 5

Prosjekt: 040.18H
 Sted Kvikkleiresone 867 "Støalandet"
 Profil: 5-5, borpunkt 8 - negativt poretrykk øverst
 Kommune Ringerike

SHANSEP

γ 19,50 kN/m³

Antatt kote tild. havbunn: 118,00 m.o.h.
 Antatt tild. GV kote: 106,00 m.o.h.
 Poretrykk/m 6,00 kPa/m

Erfaringsverdier til orientering:

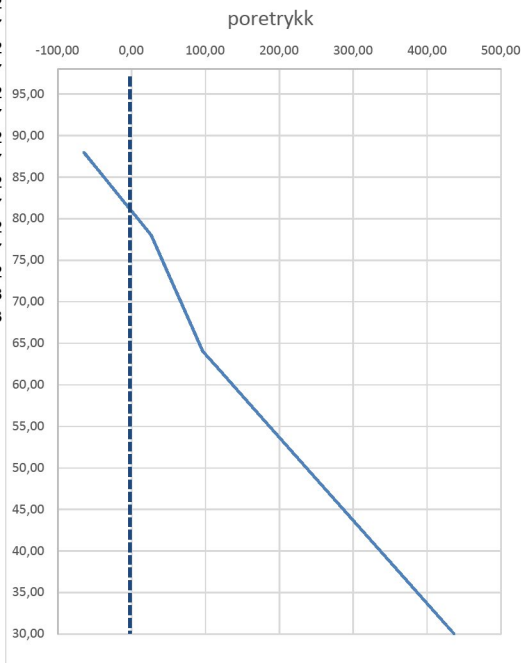
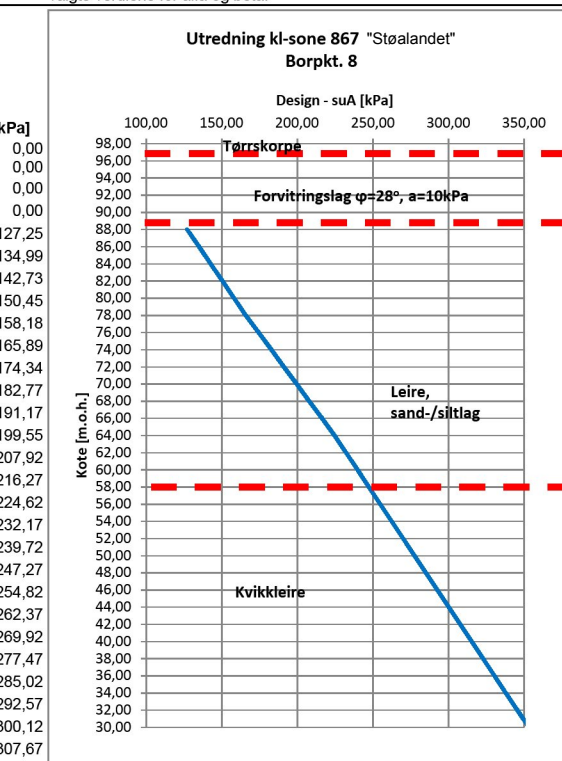
Ladd-SHANSEP (OBS! SuD-tolkning!)		
Jordart	s	m
Sensitive marine OC-leire (Ip<30%, IL>1,5)	0,20	1,00
Silt, leirig silt, siltig/ leirig finsand	0,25	0,80
NGI-SHANSEP (OBS! SuA-tolkning!)		
Jordart	α	β
Sensitive OC/ NC-leire	0,28	0,60
Middels/ lav sensitive OC/ NC-leire	0,32	0,90
Norske leire	0,30	0,85

Kote topp skråning: 98,27 m.o.h.
 GV kote: 88,27 m.o.h.
 Poretrykk 1: 9,17 kPa/m
 Poretrykk 2: 5,00 kPa/m
 Poretrykk 3: 10,00 kPa/m
 Forkonsolidering terrenge: 338,36 kPa
 β 0,80
 α 0,30

CPTU/lab suA,etter [kPa] p0'etter [kPa]

Kote	u [kPa]	p0'for [kPa]	suA,etter [kPa]	p0'etter [kPa]	OCR	SHANSEP suA,etter [kPa]
96,00	0,00	369,00		44,265	8,34	0,00
94,00	0,00	396,00		83,265	4,76	0,00
92,00	0,00	423,00		122,265	3,46	0,00
90,00	0,00	450,00		161,265	2,79	0,00
88,00	-65,00	477,00		265,265	1,80	127,25
86,00	-46,66	504,00		285,925	1,76	134,99
84,00	-28,32	531,00		306,585	1,73	142,73
82,00	-9,98	558,00	100,00	327,245	1,71	150,45
80,00	8,36	585,00		347,905	1,68	158,18
78,00	26,70	612,00		368,565	1,66	165,89
76,00	36,70	639,00		397,565	1,61	174,34
74,00	46,70	666,00		426,565	1,56	182,77
72,00	56,70	693,00		455,565	1,52	191,17
70,00	66,70	720,00		484,565	1,49	199,55
68,00	76,70	747,00		513,565	1,45	207,92
66,00	86,70	774,00		542,565	1,43	216,27
64,00	96,70	801,00		571,565	1,40	224,62
62,00	116,70	828,00		590,565	1,40	232,17
60,00	136,70	855,00		609,565	1,40	239,72
58,00	156,70	882,00		628,565	1,40	247,27
56,00	176,70	909,00		647,565	1,40	254,82
54,00	196,70	936,00		666,565	1,40	262,37
52,00	216,70	963,00		685,565	1,40	269,92
50,00	236,70	990,00		704,565	1,41	277,47
48,00	256,70	1017,00		723,565	1,41	285,02
46,00	276,70	1044,00		742,565	1,41	292,57
44,00	296,70	1071,00		761,565	1,41	300,12
42,00	316,70	1098,00		780,565	1,41	307,67
40,00	336,70	1125,00		799,565	1,41	315,22
38,00	356,70	1152,00		818,565	1,41	322,77
36,00	376,70	1179,00		837,565	1,41	330,32
34,00	396,70	1206,00		856,565	1,41	337,87
32,00	416,70	1233,00		875,565	1,41	345,42
30,00	436,70	1260,00		894,565	1,41	352,97
28,00	456,70	1287,00		913,565	1,41	360,52
26,00	476,70	1314,00		932,565	1,41	368,07
24,00	496,70	1341,00		951,565	1,41	375,62
22,00	516,70	1368,00		970,565	1,41	383,17
20,00	536,70	1395,00		989,565	1,41	390,72
18,00	556,70	1422,00		1008,565	1,41	398,27
16,00	576,70	1449,00		1027,565	1,41	405,82
14,00	596,70	1476,00		1046,565	1,41	413,37
12,00	616,70	1503,00		1065,565	1,41	420,92
10,00	636,70	1530,00		1084,565	1,41	428,48
8,00	656,70	1557,00		1103,565	1,41	436,03

OBS! Hvis det foreligger suA-verdier fra f.eks. CPTU data kan disse manuelt skrives inn i kolonne "D". Ellers beregnes suA automatisk ut fra valgte verdiene for alfa og beta.



Prosjekt: 040.18H
 Sted Kvikkleiresone 867 "Støalandet"
 Profil: 5-5, borpunkt 8 - neg. poretrykk, hengende gv
 Kommune Ringerike

SHANSEP

γ 19,50 kN/m³

Antatt kote tidl. havbunn: 118,00 m.o.h.
 Antatt tidl. GV kote: 106,00 m.o.h.
 Poretrykk/m 6,00 kPa/m

Erfaringsverdier til orientering:

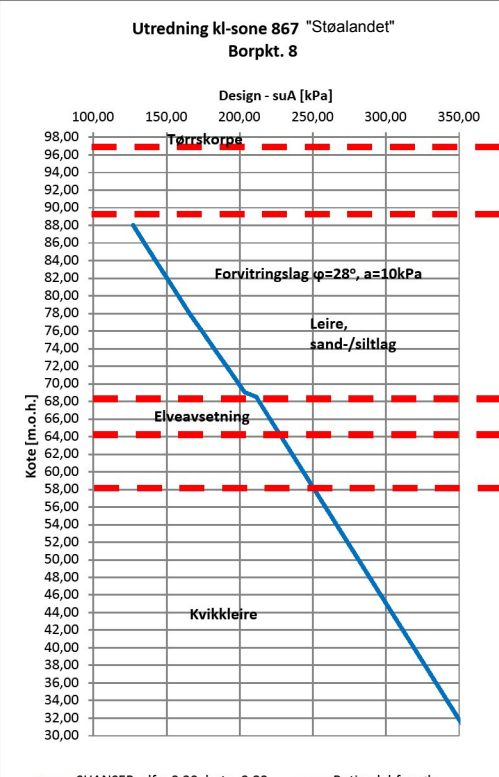
Ladd-SHANSEP (OBS! SuD-tolkning!)		
Jordart	s	m
Sensitive marine OC-leire (Ip<30%, IL>1,5) Silt, leirig silt, siltig/ leirig finsand	0,20 0,25	1,00 0,80
NGI-SHANSEP (OBS! SuA-tolkning!)		
Jordart	α	β
Sensitive OC/ NC-leire Middels/ lav sensitive OC/ NC-leire Norske leire	0,28 0,32 0,30	0,60 0,90 0,85

Kote topp skråning: 98,27 m.o.h.
 GV kote: 88,27 m.o.h.
 Poretrykk 1: 9,17 kPa/m
 Poretrykk 2: 5,00 kPa/m
 Poretrykk 3: 10,00 kPa/m
 Forkonsolidering terregn: 338,36 kPa
 β 0,80
 α 0,30

ned til kote +78,0
mellan kote +78,0 og +69,0,
fra kote +69,0 og videre nedover

Kote	CPTU/lab					SHANSEP suA,etter [kPa]
	u [kPa]	p'₀,ter [kPa]	suA,etter [kPa]	p'₀,etter [kPa]	OCR	
96,00	0,00	369,00		44,265	8,34	0,00
94,00	0,00	396,00		83,265	4,76	0,00
92,00	0,00	423,00		122,265	3,46	0,00
90,00	0,00	450,00		161,265	2,79	0,00
88,00	-65,00	477,00		265,265	1,80	127,25
86,00	-46,66	504,00		285,925	1,76	134,99
84,00	-28,32	531,00		306,585	1,73	142,73
82,00	-9,98	558,00	100,00	327,245	1,71	150,45
80,00	8,36	585,00		347,905	1,68	158,18
78,00	26,70	612,00	106,00	368,565	1,66	165,89
76,00	36,70	639,00		397,565	1,61	174,34
74,00	46,70	666,00		426,565	1,56	182,77
72,00	56,70	693,00		455,565	1,52	191,17
70,00	66,70	720,00		484,565	1,49	199,55
69,00	71,70	733,50		499,065	1,47	203,74
68,50	0,00	740,25		580,515	1,28	211,54
68,00	5,00	747,00		585,265	1,28	213,43
66,00	25,00	774,00		604,265	1,28	220,98
64,00	45,00	801,00		623,265	1,29	228,54
62,00	65,00	828,00		642,265	1,29	236,10
60,00	85,00	855,00		661,265	1,29	243,65
58,00	105,00	882,00		680,265	1,30	251,21
56,00	125,00	909,00		699,265	1,30	258,76
54,00	145,00	936,00		718,265	1,30	266,32
52,00	165,00	963,00		737,265	1,31	273,87
50,00	185,00	990,00		756,265	1,31	281,43
48,00	205,00	1017,00		775,265	1,31	288,98
46,00	225,00	1044,00		794,265	1,31	296,53
44,00	245,00	1071,00		813,265	1,32	304,09
42,00	265,00	1098,00		832,265	1,32	311,64
40,00	285,00	1125,00		851,265	1,32	319,20
38,00	305,00	1152,00		870,265	1,32	326,75
36,00	325,00	1179,00		889,265	1,33	334,30
34,00	345,00	1206,00		908,265	1,33	341,85
32,00	365,00	1233,00		927,265	1,33	349,41
30,00	385,00	1260,00		946,265	1,33	356,96
28,00	405,00	1287,00		965,265	1,33	364,51
26,00	425,00	1314,00		984,265	1,34	372,07
24,00	445,00	1341,00		1003,265	1,34	379,62
22,00	465,00	1368,00		1022,265	1,34	387,17
20,00	485,00	1395,00		1041,265	1,34	394,72
18,00	505,00	1422,00		1060,265	1,34	402,28
16,00	525,00	1449,00		1079,265	1,34	409,83
14,00	545,00	1476,00		1098,265	1,34	417,38
12,00	565,00	1503,00		1117,265	1,35	424,93
10,00	585,00	1530,00		1136,265	1,35	432,48
8,00	605,00	1557,00		1155,265	1,35	440,04

OBS! Hvis det foreligger suA-verdier fra f.eks. CPTU data kan disse manuelt skrives inn i kolonne "D". Ellers beregnes suA automatisk ut i fra valgte verdiene for alfa og beta.



Prosjekt: 040.18H
 Sted Kvikkleiresone 867 "Støalandet"
 Profil: 2-2, midt- skråning
 Kommune Ringerike

SHANSEP

γ 19,50 kN/m³

Antatt kote tidl. havbunn: 100,00 m.o.h.
 Antatt tidl. GV kote: 94,00 m.o.h.
 Poretrykk/m 3,00 kPa/m

Erfaringsverdier til orientering:

Ladd-SHANSEP (OBS! SuD-tolkning!)		
Jordart	s	m
Sensitive marine OC-leire (Ip<30%, IL>1,5) Silt, leirig silt, sitlig/ leirig finsand	0,20 0,25	1,00 0,80
NGI-SHANSEP (OBS! SuA-tolkning!)		
Jordart	α	β
Sensitive OC/ NC-leire Middels/ lav sensitive OC/ NC-leire Norske leire	0,28 0,32 0,30	0,60 0,90 0,85

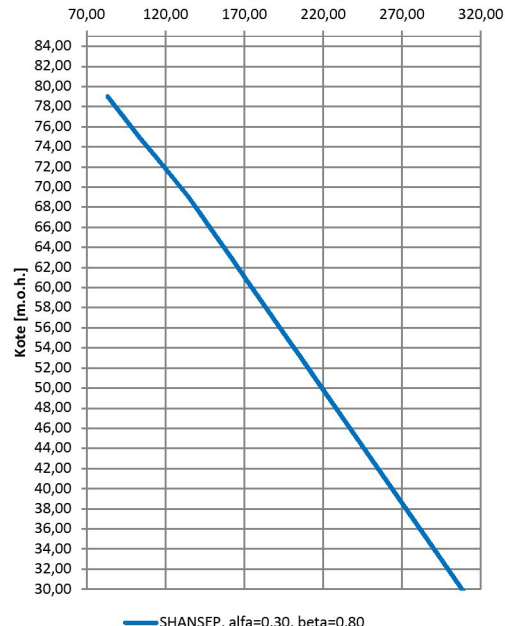
Kote borpkt.: 85,00 m.o.h.
 GV kote: 80,00 m.o.h.
 Poretrykk 1: 8,00 kPa/m
 Poretrykk 2: 4,00 kPa/m
 Poretrykk 3: 10,00 kPa/m
 Forkonsolidering terrenget: 265,50 kPa
 β 0,80
 α 0,30

*til kote +73,0
ml. kote +73,0 og +69,0
fra kote +69,0
p'c, terregn*

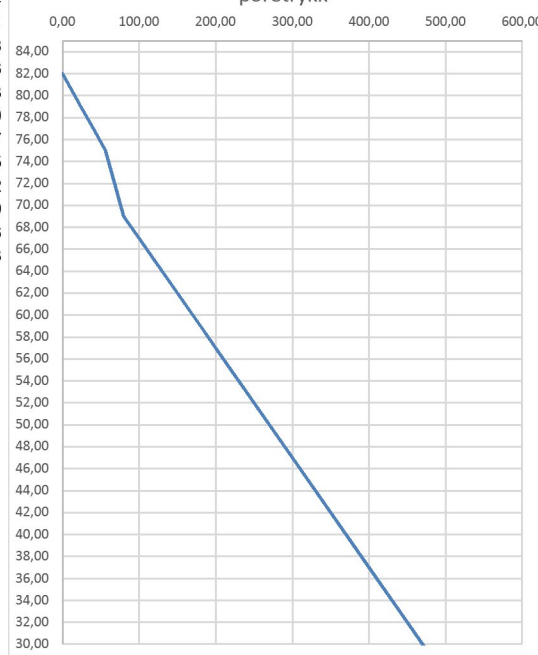
OBS! Hvis det foreligger suA-verdier fra f.eks. CPTU data kan disse manuelt skrives inn i kolonne "D". Ellers beregnes suA automatisk ut i fra valgte verdiene for alfa og beta.

Utredning kl-sone 867 "Støalandet" snitt 2-2, midt-skråning

Design - suA [kPa]



poretrykk



CPTU/lab				
Kote	u [kPa]	p0'far [kPa]	suA,etter [kPa]	p0'etter [kPa]
82,00	0,00	315,00	58,5	5,38
80,00	16,00	348,00	81,5	4,27
79,00	24,00	364,50	93	3,92
77,00	40,00	397,50	116	3,43
75,00	56,00	430,50	139	3,10
73,00	64,00	463,50	170	2,73
71,00	72,00	496,50	201	2,47
69,00	80,00	529,50	232	2,28
67,00	100,00	562,50	251	2,24
65,00	120,00	595,50	270	2,21
63,00	140,00	628,50	289	2,17
61,00	160,00	661,50	308	2,15
59,00	180,00	694,50	327	2,12
57,00	200,00	727,50	346	2,10
55,00	220,00	760,50	365	2,08
53,00	240,00	793,50	384	2,07
51,00	260,00	826,50	403	2,05
49,00	280,00	859,50	422	2,04
47,00	300,00	892,50	441	2,02
45,00	320,00	925,50	460	2,01
43,00	340,00	958,50	479	2,00
41,00	360,00	991,50	498	1,99
39,00	380,00	1024,50	517	1,98
37,00	400,00	1057,50	536	1,97
35,00	420,00	1090,50	555	1,96
33,00	440,00	1123,50	574	1,96
31,00	460,00	1156,50	593	1,95
29,00	480,00	1189,50	612	1,94
27,00	500,00	1222,50	631	1,94
25,00	520,00	1255,50	650	1,93
23,00	540,00	1288,50	669	1,93
21,00	560,00	1321,50	688	1,92
19,00	580,00	1354,50	707	1,92
17,00	600,00	1387,50	726	1,91
15,00	620,00	1420,50	745	1,91
13,00	640,00	1453,50	764	1,90
11,00	660,00	1486,50	783	1,90
9,00	680,00	1519,50	802	1,89
7,00	700,00	1552,50	821	1,89

Prosjekt: 040.18H
 Sted Kvikkleiresone 867 "Støalandet"
 Profil: 2-2, midt- skråning, hengende gv
 Kommune Ringerike

SHANSEP

γ 19,50 kN/m³

Antatt kote tidl. havbunn: 100,00 m.o.h.
 Antatt tidl. GV kote: 94,00 m.o.h.
 Poretrykk/m 3,00 kPa/m

Erfaringsverdier til orientering:

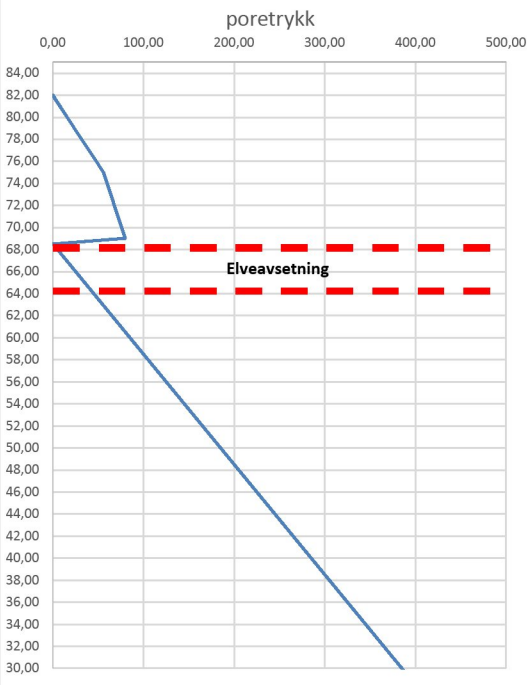
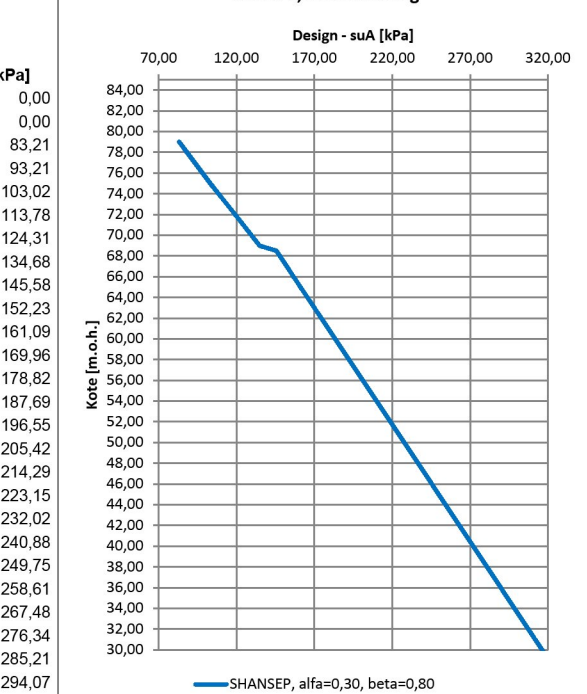
Ladd-SHANSEP (OBS! SuD-tolkning!)		
Jordart	s	m
Sensitive marine OC-leire (Ip<30%, IL>1,5) Silt, leirig silt, sitlig/ leirig finsand	0,20 0,25	1,00 0,80
NGI-SHANSEP (OBS! SuA-tolkning!)		
Jordart	α	β
Sensitive OC/ NC-leire Middels/ lav sensitive OC/ NC-leire Norske leire	0,28 0,32 0,30	0,60 0,90 0,85

Kote borpkt.: 85,00 m.o.h.
 GV kote: 80,00 m.o.h.
 Poretrykk 1: 8,00 kPa/m
 Poretrykk 2: 4,00 kPa/m
 Poretrykk 3: 10,00 kPa/m
 Forkonsolidering terrenget: 265,50 kPa
 β 0,80
 α 0,30

til kote +73,0
ml. kote +73,0 og +69,0
fra kote +69,0
p'c, terregng

OBS! Hvis det foreligger suA-verdier fra f.eks. CPTU data kan disse manuelt skrives inn i kolonne "D". Ellers beregnes suA automatisk ut i fra valgte verdiene for alfa og beta.

Kote	CPTU/lab				
	u [kPa]	p0'far [kPa]	suA,etter [kPa]	p0'etter [kPa]	OCR
82,00	0,00	315,00		58,5	5,38
80,00	16,00	348,00		81,5	4,27
79,00	24,00	364,50		93	3,92
77,00	40,00	397,50		116	3,43
75,00	56,00	430,50		139	3,10
73,00	64,00	463,50		170	2,73
71,00	72,00	496,50		201	2,47
69,00	80,00	529,50		232	2,28
68,50	0,00	537,75		321,75	1,67
67,00	15,00	562,50		336	1,67
65,00	35,00	595,50		355	1,68
63,00	55,00	628,50		374	1,68
61,00	75,00	661,50		393	1,68
59,00	95,00	694,50		412	1,69
57,00	115,00	727,50		431	1,69
55,00	135,00	760,50		450	1,69
53,00	155,00	793,50		469	1,69
51,00	175,00	826,50		488	1,69
49,00	195,00	859,50		507	1,70
47,00	215,00	892,50		526	1,70
45,00	235,00	925,50		545	1,70
43,00	255,00	958,50		564	1,70
41,00	275,00	991,50		583	1,70
39,00	295,00	1024,50		602	1,70
37,00	315,00	1057,50		621	1,70
35,00	335,00	1090,50		640	1,70
33,00	355,00	1123,50		659	1,70
31,00	375,00	1156,50		678	1,71
29,00	395,00	1189,50		697	1,71
27,00	415,00	1222,50		716	1,71
25,00	435,00	1255,50		735	1,71
23,00	455,00	1288,50		754	1,71
21,00	475,00	1321,50		773	1,71
19,00	495,00	1354,50		792	1,71
17,00	515,00	1387,50		811	1,71
15,00	535,00	1420,50		830	1,71
13,00	555,00	1453,50		849	1,71
11,00	575,00	1486,50		868	1,71
9,00	595,00	1519,50		887	1,71
7,00	615,00	1552,50		906	1,71



Prosjekt: 040.18H
 Sted Kvikkleiresone 867 "Støalandet"
 Profil: 2-2, borpunkt 12
 Kommune Ringerike

SHANSEP

γ 19,50 kN/m³

Antatt kote tidl. havbunn: 88,00 m.o.h.
 Antatt tidl. GV kote: 85,00 m.o.h.
 Poretrykk/m 11,00 kPa/m

Erfaringsverdier til orientering:

Ladd-SHANSEP (OBS! SuD-tolkning!)		
Jordart	s	m
Sensitive marine OC-leire (Ip<30%, IL>1,5) Silt, leirig silt, sitlig/ leirig finsand	0,20 0,25	1,00 0,80
NGI-SHANSEP (OBS! SuA-tolkning!)		
Jordart	α	β
Sensitive OC/ NC-leire Middels/ lav sensitive OC/ NC-leire Norske leire	0,28 0,32 0,30	0,60 0,90 0,85

Kote borpkt.: 68,55 m.o.h.
 GV kote: 67,55 m.o.h.
 Poretrykk 1: 10,00 kPa/m
 Poretrykk 2: 15,00 kPa/m
 Poretrykk 3: 10,00 kPa/m
 Forkonsolidering terregn: 198,33 kPa
 β 0,80
 α 0,30

*til kote +56,0
ml. kote +56,0 og +43,0
fra kote +43,0
p'c, terregn*

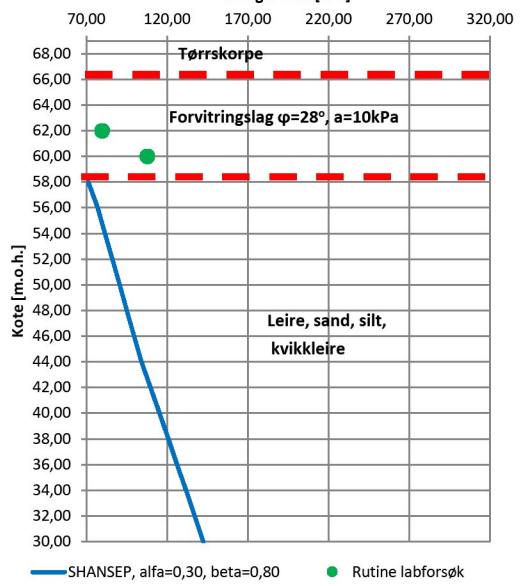
Kote	u [kPa]	p'0 _{for} [kPa]	CPTU/lab		SHANSEP suA,etter [kPa]	OCR
			suA,etter [kPa]	p'0 _{etter} [kPa]		
66,00	15,50	220,00		34,225	6,43	45,49
64,00	35,50	237,00		53,225	4,45	52,74
62,00	55,50	254,00	80,00	72,225	3,52	59,26
60,00	75,50	271,00	108,00	91,225	2,97	65,39
58,00	95,50	288,00		110,225	2,61	71,30
56,00	115,50	305,00		129,225	2,36	77,06
54,00	145,50	322,00		138,225	2,33	81,57
52,00	175,50	339,00		147,225	2,30	86,08
50,00	205,50	356,00		156,225	2,28	90,58
48,00	235,50	373,00		165,225	2,26	95,08
46,00	265,50	390,00		174,225	2,24	99,59
44,00	295,50	407,00		183,225	2,22	104,09
42,00	315,50	424,00		202,225	2,10	109,69
40,00	335,50	441,00		221,225	1,99	115,25
38,00	355,50	458,00		240,225	1,91	120,76
36,00	375,50	475,00		259,225	1,83	126,24
34,00	395,50	492,00		278,225	1,77	131,70
32,00	415,50	509,00		297,225	1,71	137,12
30,00	435,50	526,00		316,225	1,66	142,53
28,00	455,50	543,00		335,225	1,62	147,92
26,00	475,50	560,00		354,225	1,58	153,29
24,00	495,50	577,00		373,225	1,55	158,66
22,00	515,50	594,00		392,225	1,51	164,01
20,00	535,50	611,00		411,225	1,49	169,34
18,00	555,50	628,00		430,225	1,46	174,67
16,00	575,50	645,00		449,225	1,44	180,00
14,00	595,50	662,00		468,225	1,41	185,31
12,00	615,50	679,00		487,225	1,39	190,62
10,00	635,50	696,00		506,225	1,37	195,92
8,00	655,50	713,00		525,225	1,36	201,22

OBS! Hvis det foreligger suA-verdier fra f eks. CPTU data kan disse manuelt skrives inn i kolonne "D". Ellers beregnes suA automatisk ut fra valgte verdiene for alfa og beta.

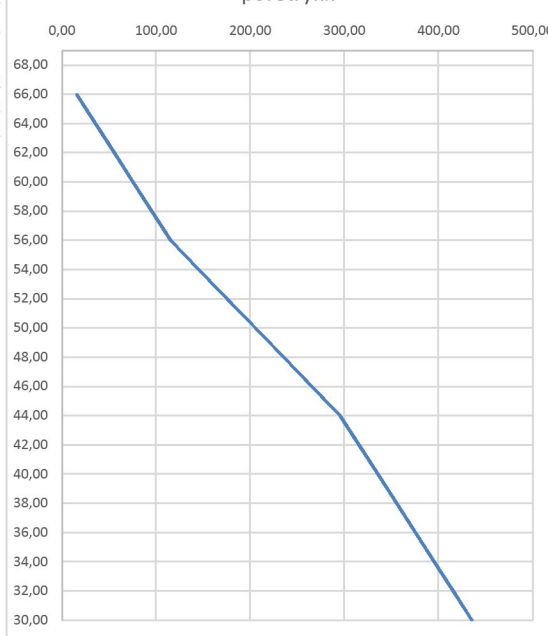
Utredning kl-sone 867 "Støalandet"

Borpkt. 12

Design - suA [kPa]



poretrykk



Prosjekt: 040.18H
 Sted Kvikkleiresone 867 "Støalandet"
 Profil: 2-2, borpunkt 12 - elvebunn
 Kommune Ringerike

SHANSEP

γ 19,50 kN/m³

Antatt kote tild. havbunn: 88,00 m.o.h.
 Antatt tild. GV kote: 85,00 m.o.h.
 Poretrykk/m 11,00 kPa/m

Erfaringsverdier til orientering:

Ladd-SHANSEP (OBS! SuD-tolkning!)		
Jordart	s	m
Sensitive marine OC-leire (Ip<30%, IL>1,5) Silt, leirig silt, sitlig/ leirig finsand	0,20 0,25	1,00 0,80
NGI-SHANSEP (OBS! SuA-tolkning!)		
Jordart	α	β
Sensitive OC/ NC-leire Middels/ lav sensitive OC/ NC-leire Norske leire	0,28 0,32 0,30	0,60 0,90 0,85

Kote borpkt.: 56,52 m.o.h.
 GV kote: 66,70 m.o.h.
 Poretrykk 1: 10,00 kPa/m
 Poretrykk 2: 15,00 kPa/m
 Poretrykk 3: 10,00 kPa/m
 Forkonsolidering terregn: 300,58 kPa
 β 0,80
 α 0,30

til kote +56,0
 ml. kote +56,0 og +43,0
 fra kote +43,0
 p/c, terregn

OBS! Hvis det foreligger suA-verdier fra f eks. CPTU data kan disse manuelt skrives inn i kolonne "D". Ellers beregnes suA automatisk ut i fra valgte verdiene for alfa og beta.

Kote	u [kPa]	p0' for [kPa]	CPTU/lab		OCR	SHANSEP suA,etter [kPa]
			suA,etter [kPa]	p0' etter [kPa]		
56,50	101,80	300,75	0,1	3007,50	18,18	
54,50	131,80	317,75	9,39	33,84	47,13	
52,50	161,80	334,75	80,00	18,39	56,21	
50,50	191,80	351,75	108,00	27,39	12,84	63,33
48,50	221,80	368,75		36,39	10,13	69,62
46,50	251,80	385,75		45,39	8,50	75,43
44,50	281,80	402,75		54,39	7,40	80,96
42,50	311,80	419,75		63,39	6,62	86,28
40,50	331,80	436,75		82,39	5,30	93,86
38,50	351,80	453,75		101,39	4,48	100,87
36,50	371,80	470,75		120,39	3,91	107,52
34,50	391,80	487,75		139,39	3,50	113,90
32,50	411,80	504,75		158,39	3,19	120,10
30,50	431,80	521,75		177,39	2,94	126,15
28,50	451,80	538,75		196,39	2,74	132,09
26,50	471,80	555,75		215,39	2,58	137,93
24,50	491,80	572,75		234,39	2,44	143,71
22,50	511,80	589,75		253,39	2,33	149,42
20,50	531,80	606,75		272,39	2,23	155,08
18,50	551,80	623,75		291,39	2,14	160,70
16,50	571,80	640,75		310,39	2,06	166,29
14,50	591,80	657,75		329,39	2,00	171,84
12,50	611,80	674,75		348,39	1,94	177,36
10,50	631,80	691,75		367,39	1,88	182,85
8,50	651,80	708,75		386,39	1,83	188,33
6,50	671,80	725,75		405,39	1,79	193,79

